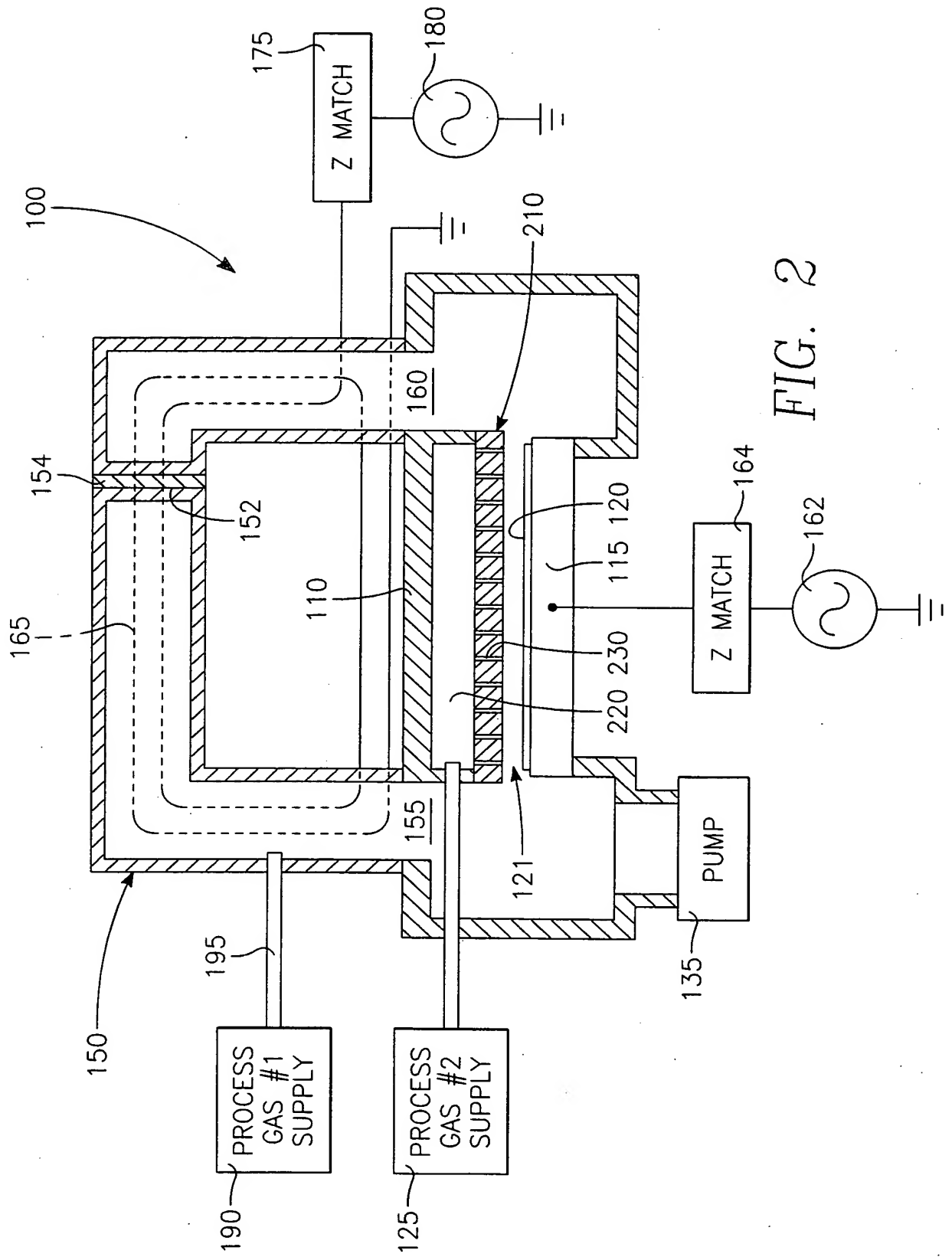
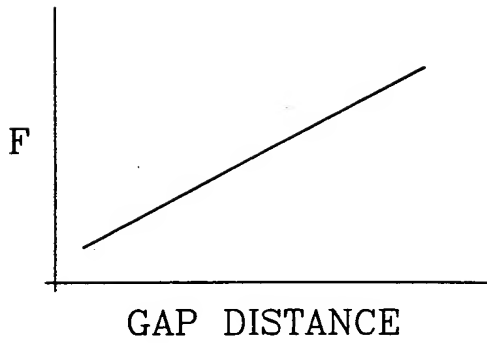


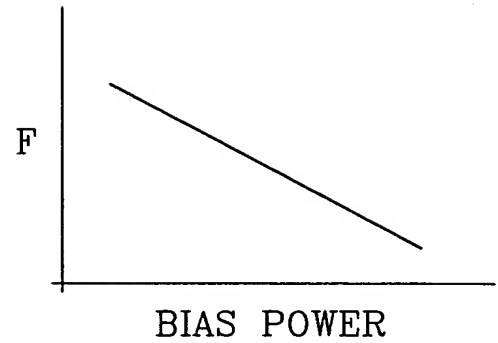
FIG. 1



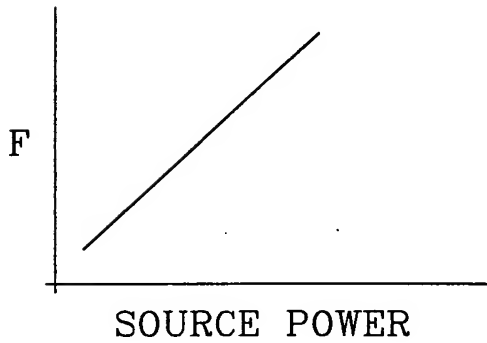
3/85



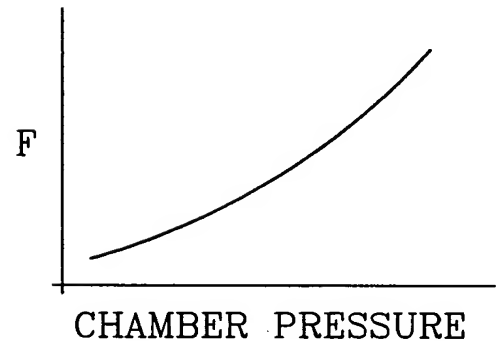
*FIG. 3*



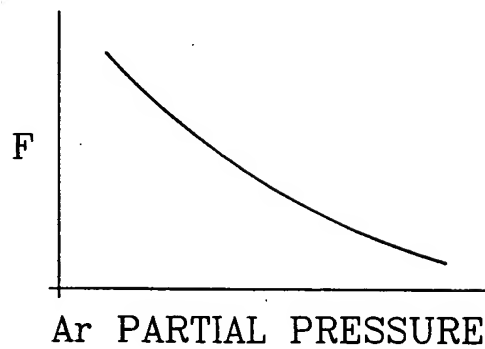
*FIG. 4*



*FIG. 5*



*FIG. 6*



*FIG. 7*

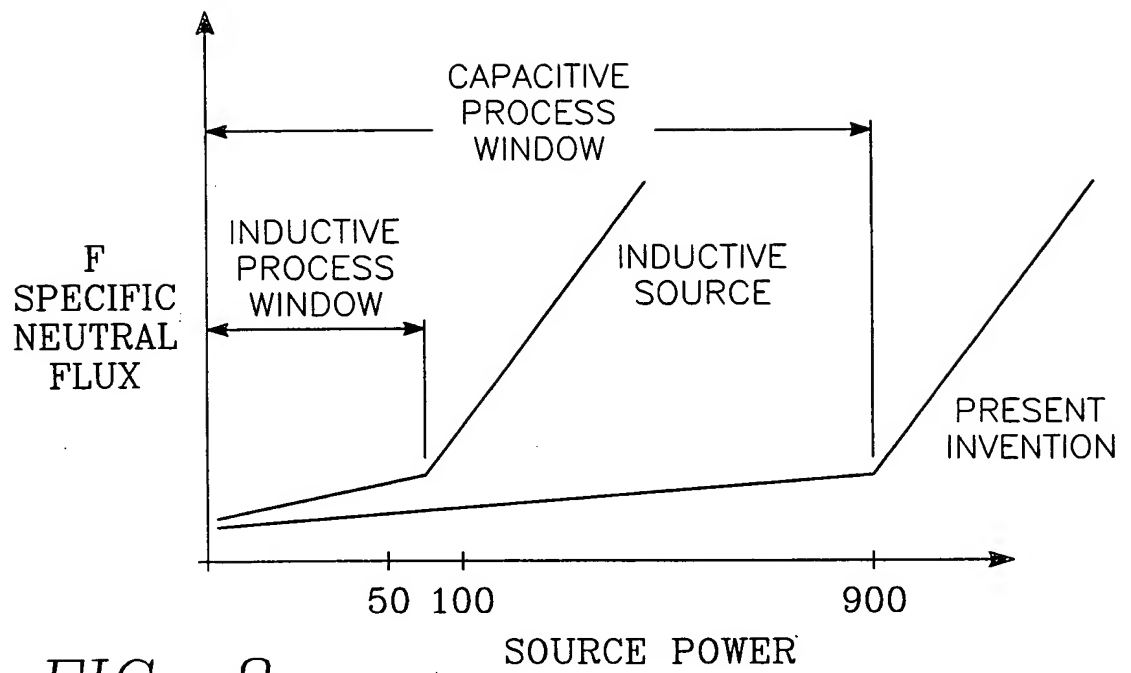


FIG. 8

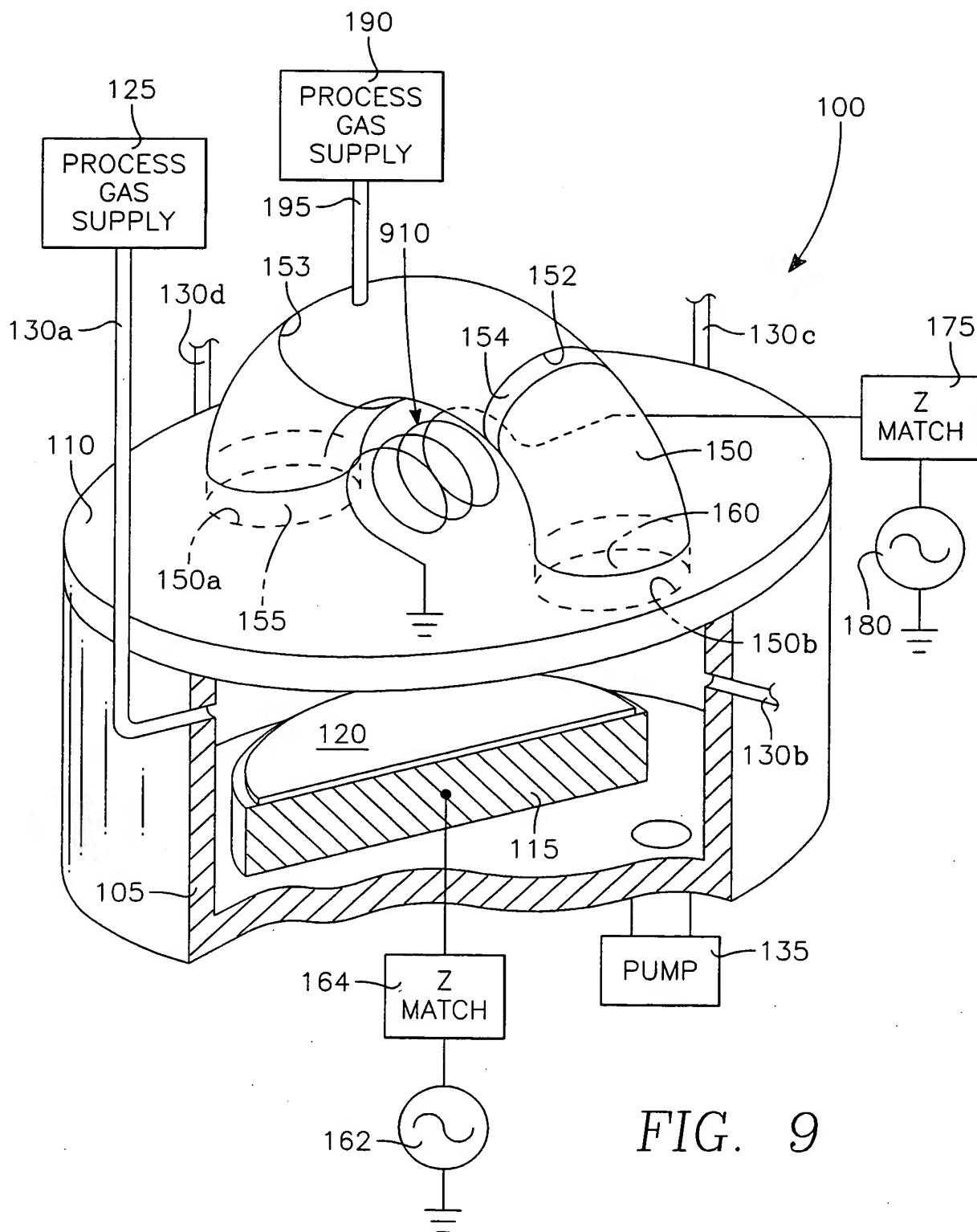


FIG. 9

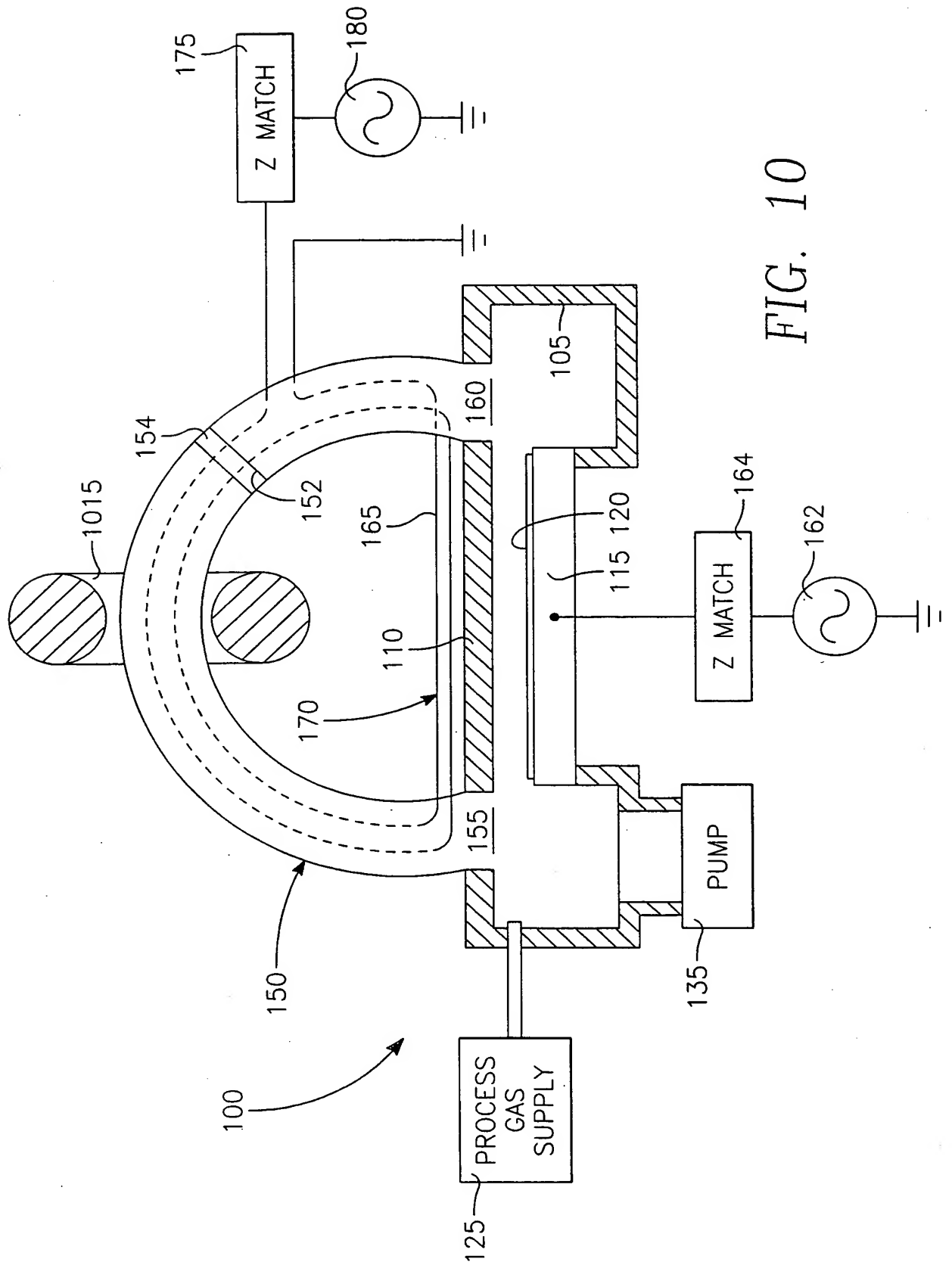


FIG. 10

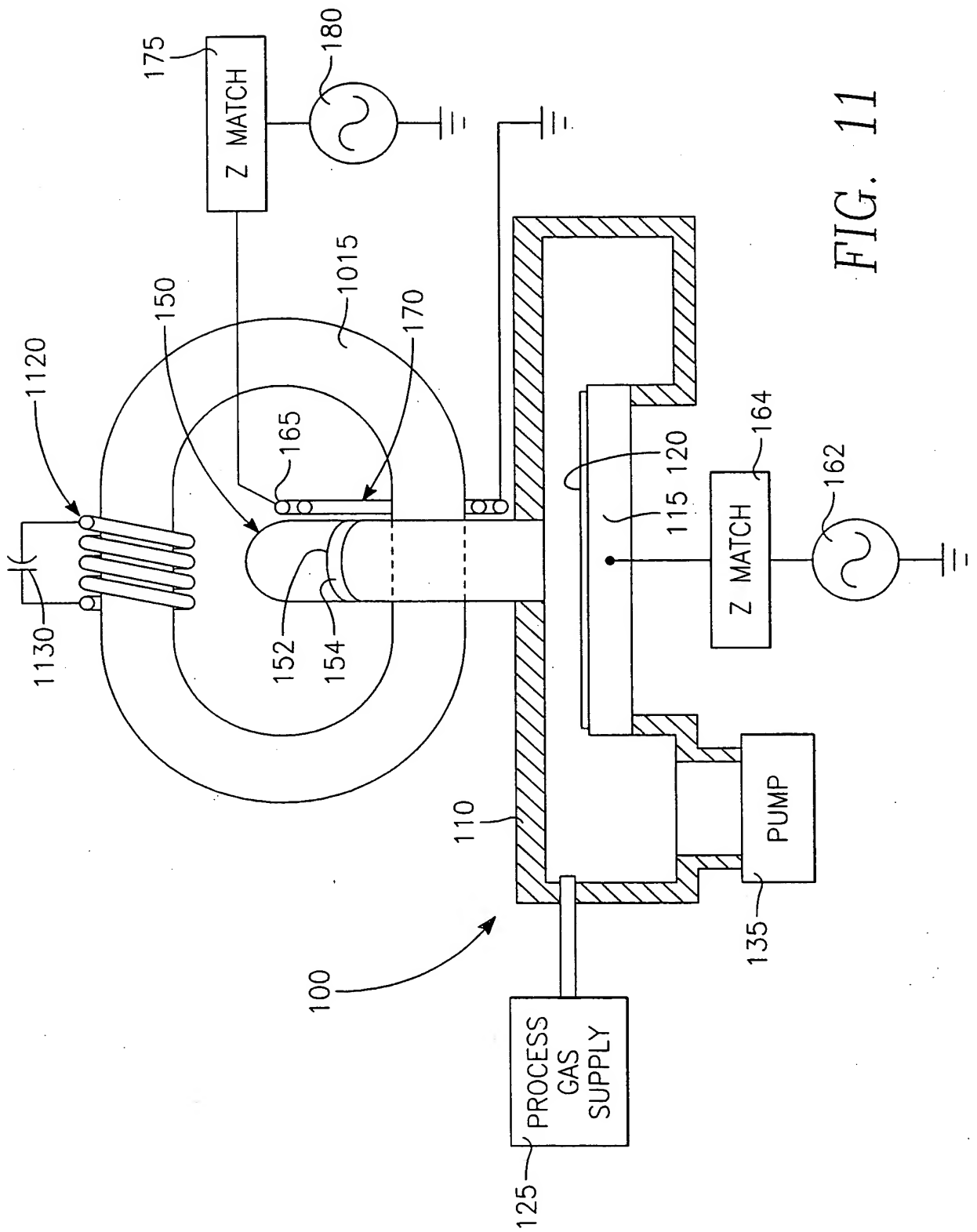


FIG. 11

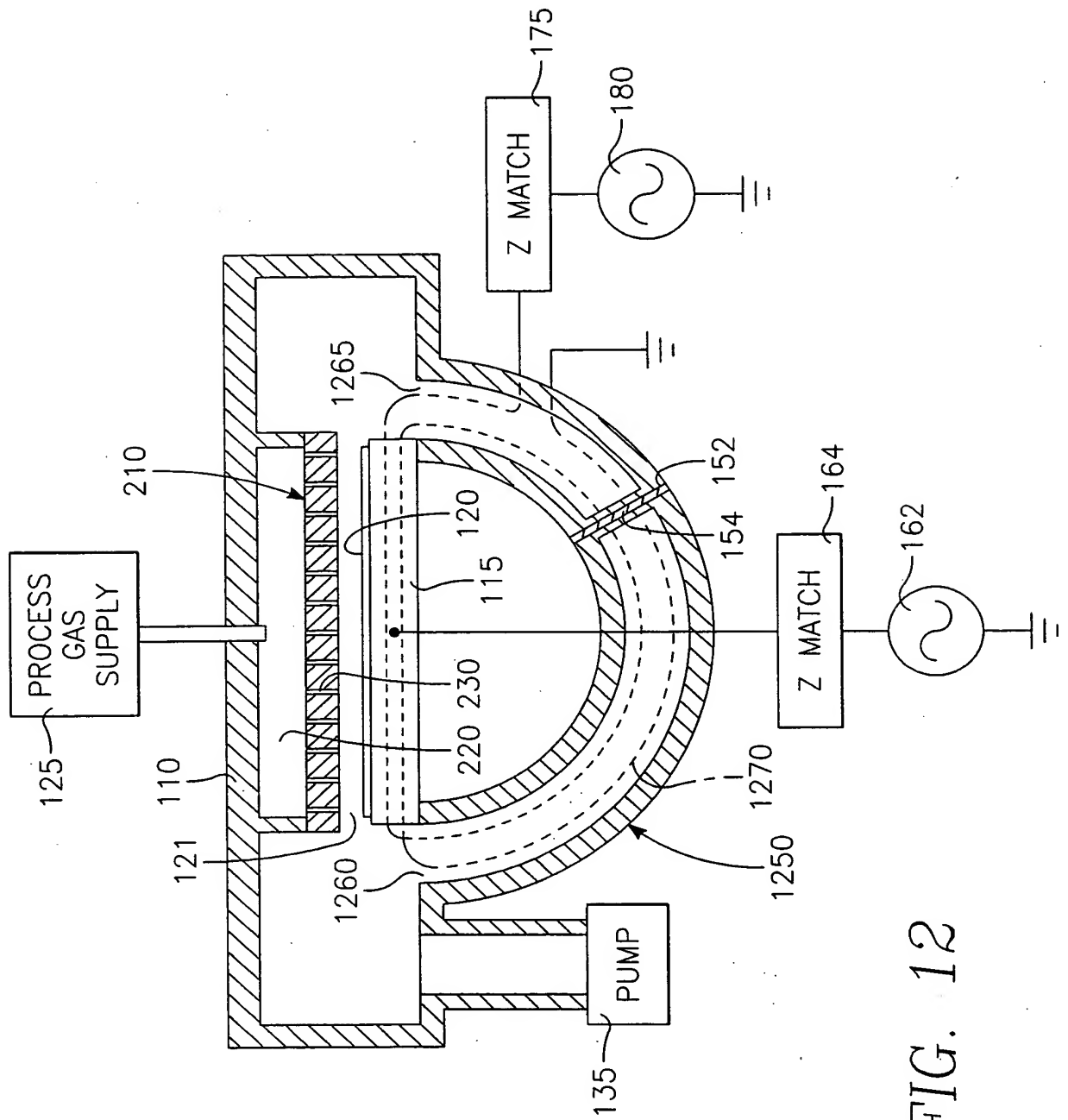


FIG. 12



9/85

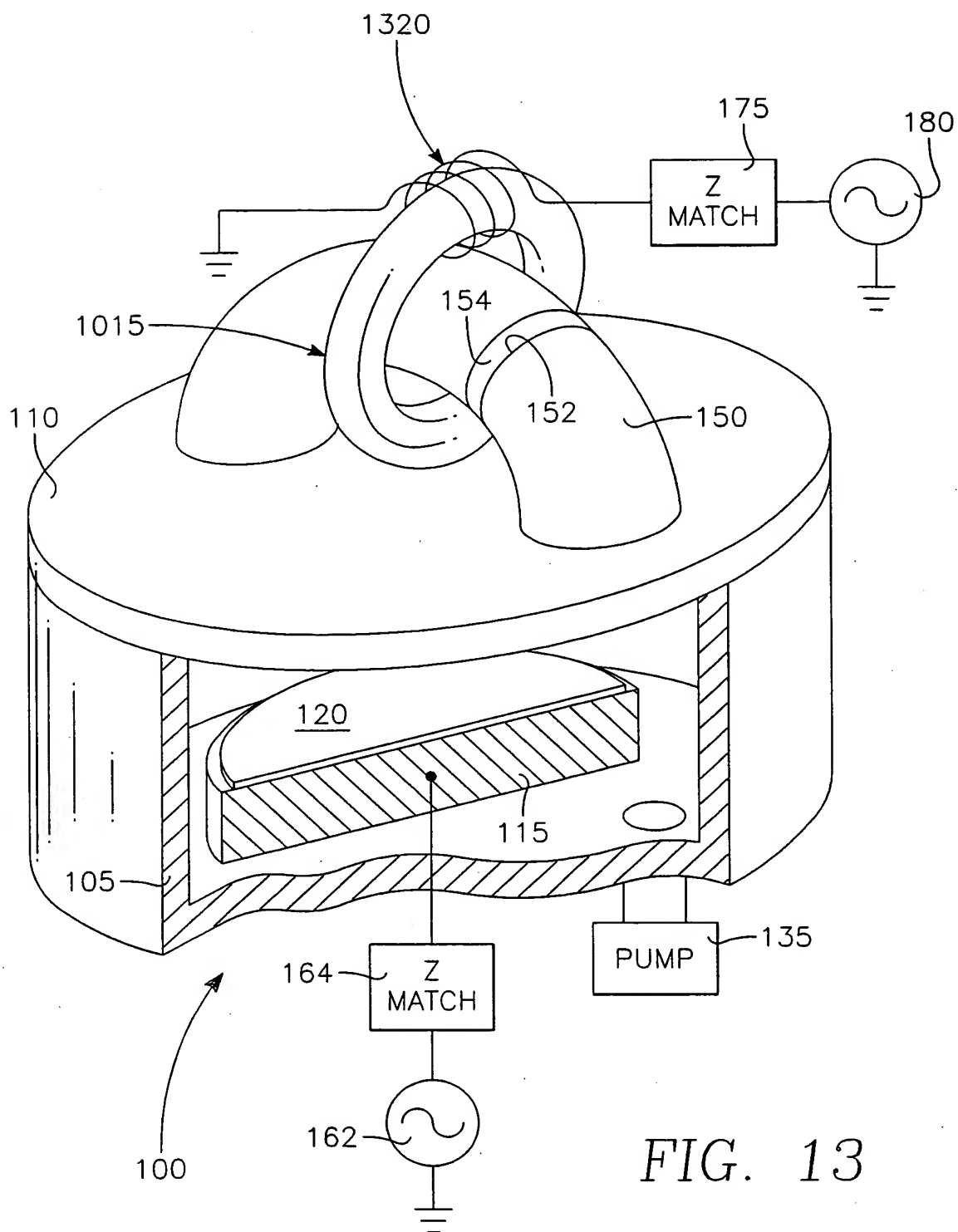
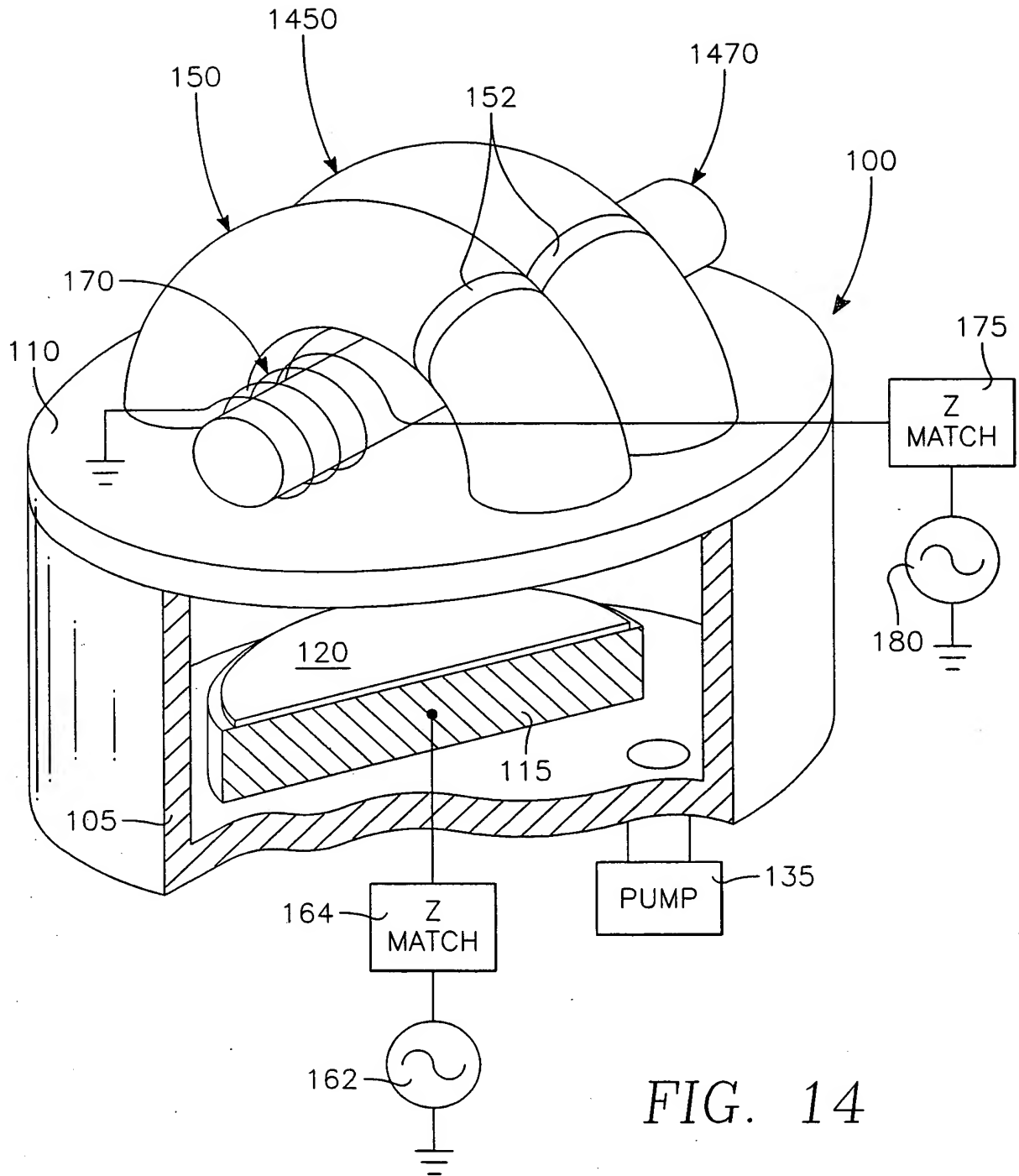


FIG. 13



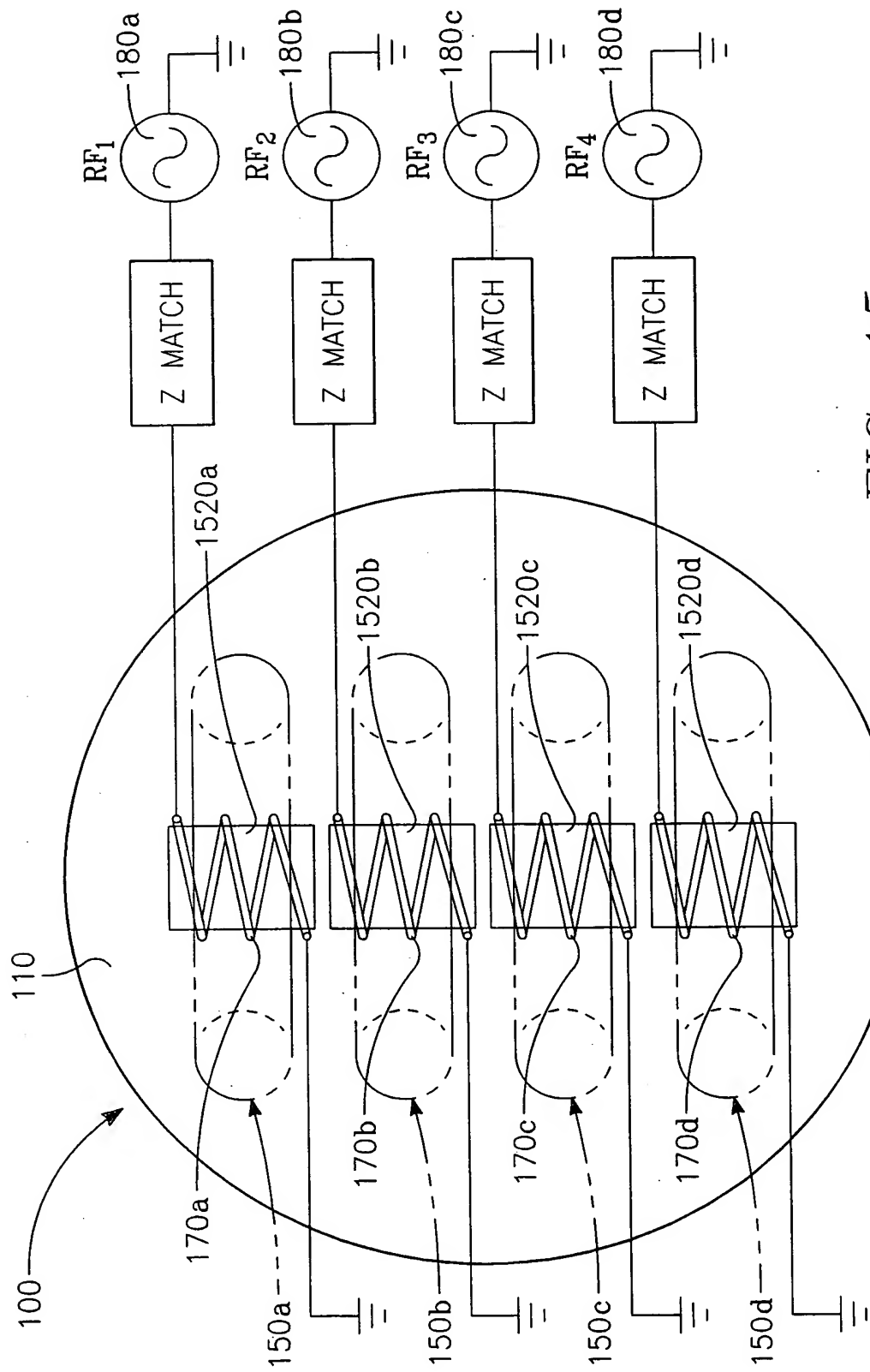


FIG. 15

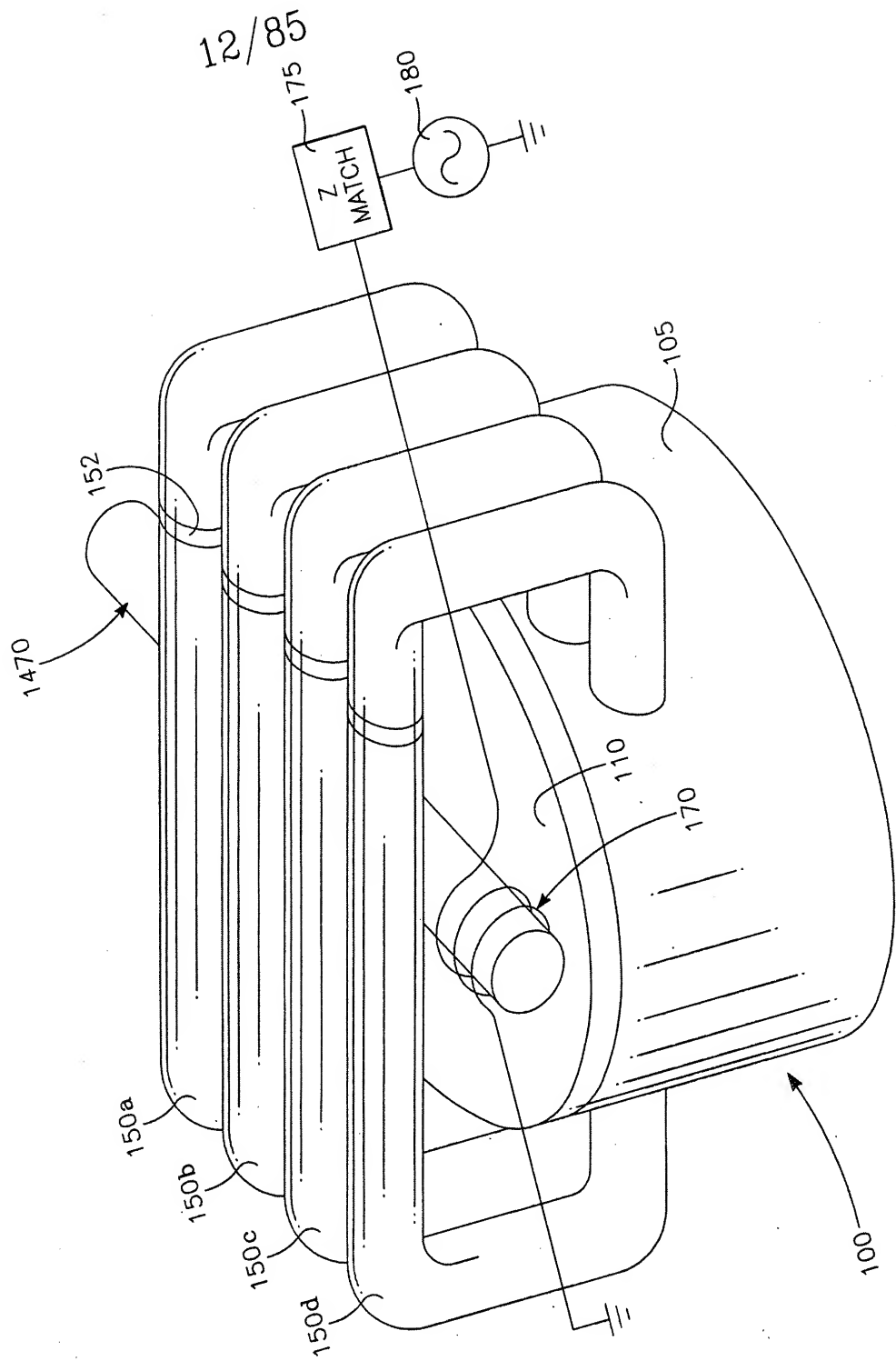


FIG. 16

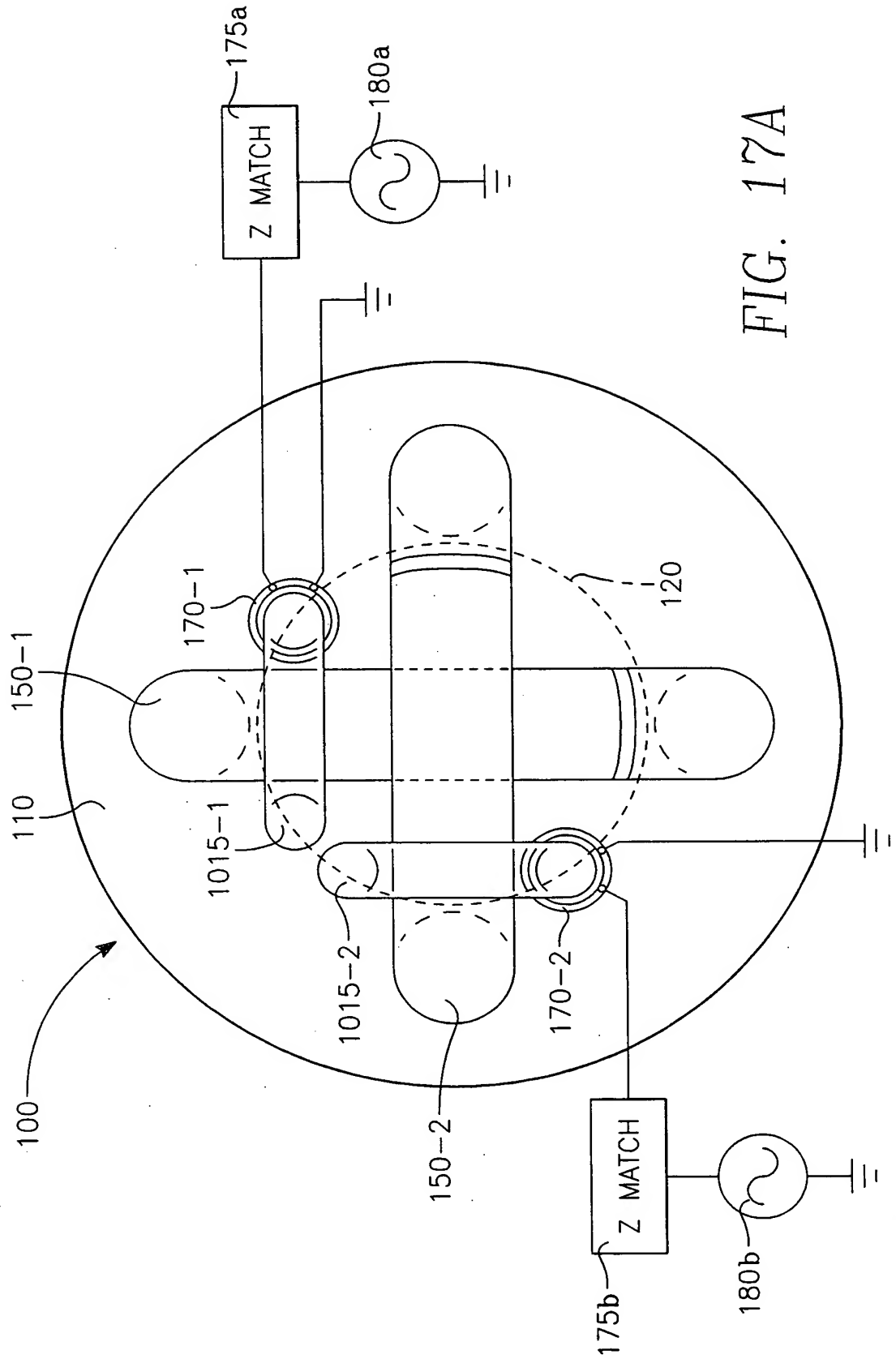


FIG. 17A

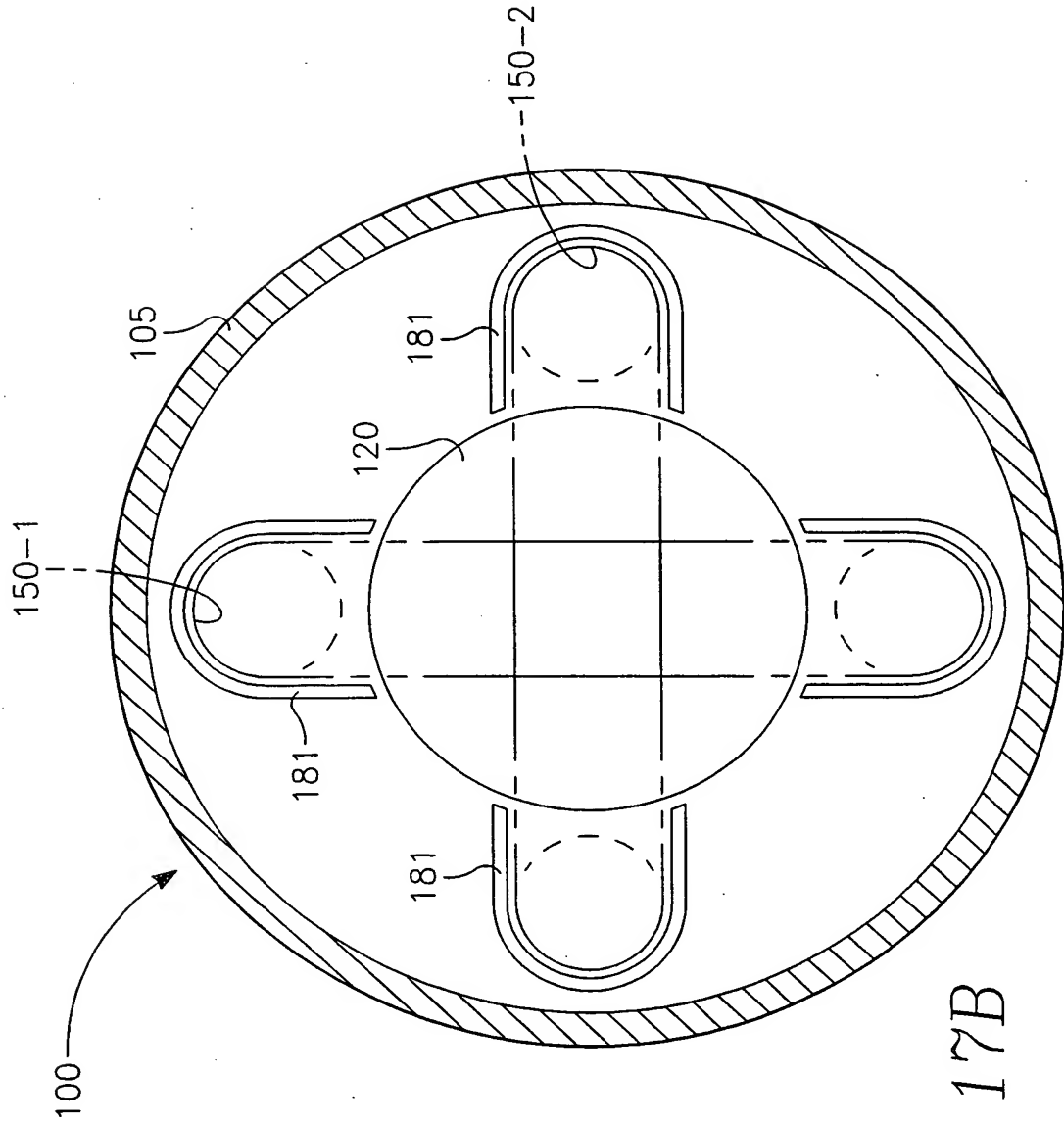


FIG. 17B

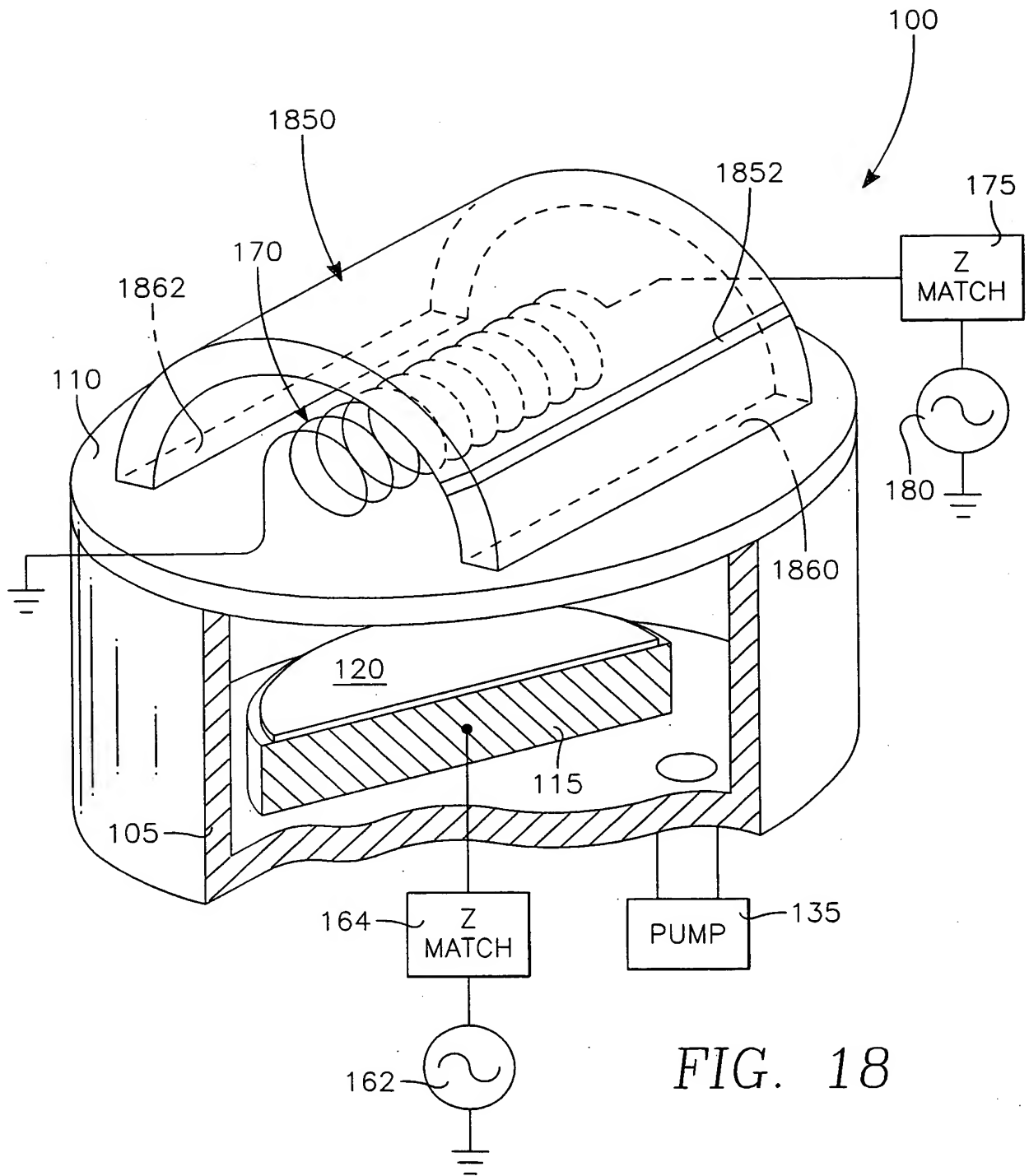
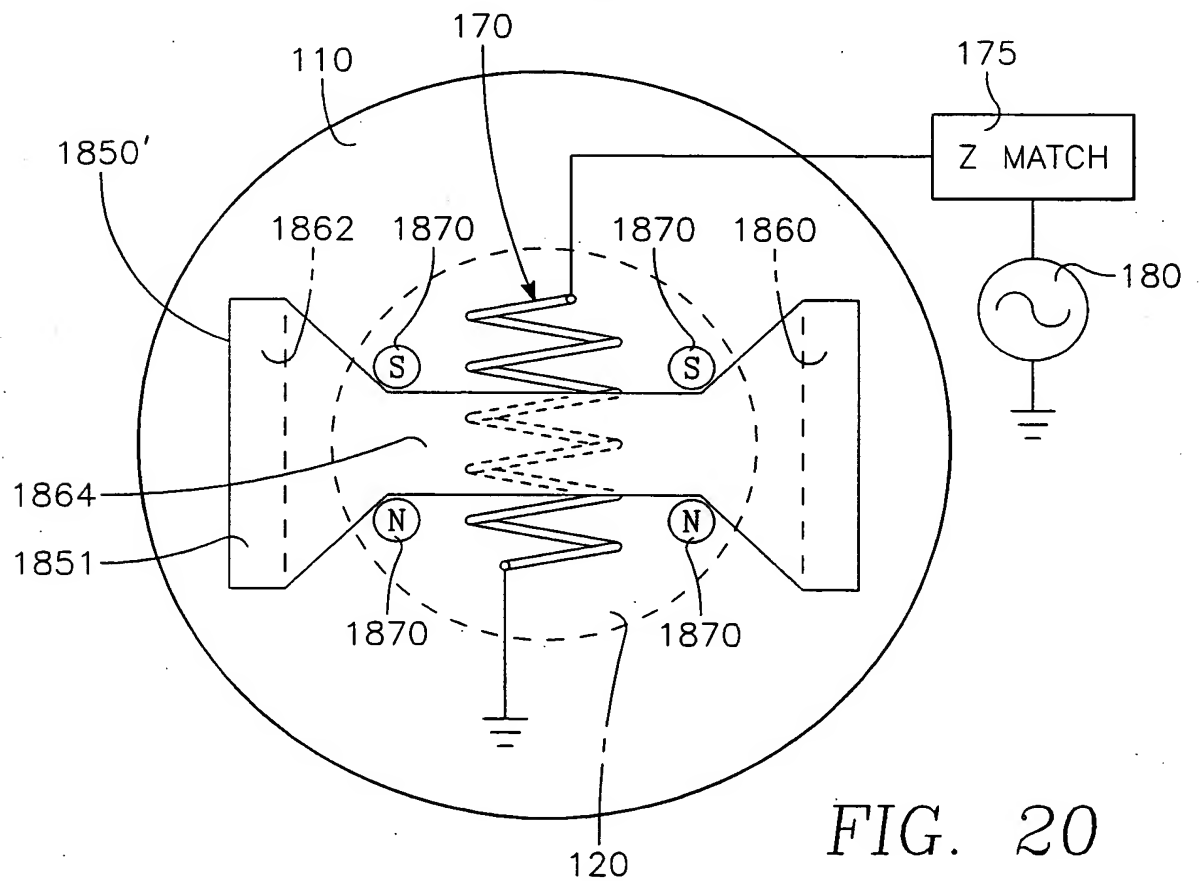
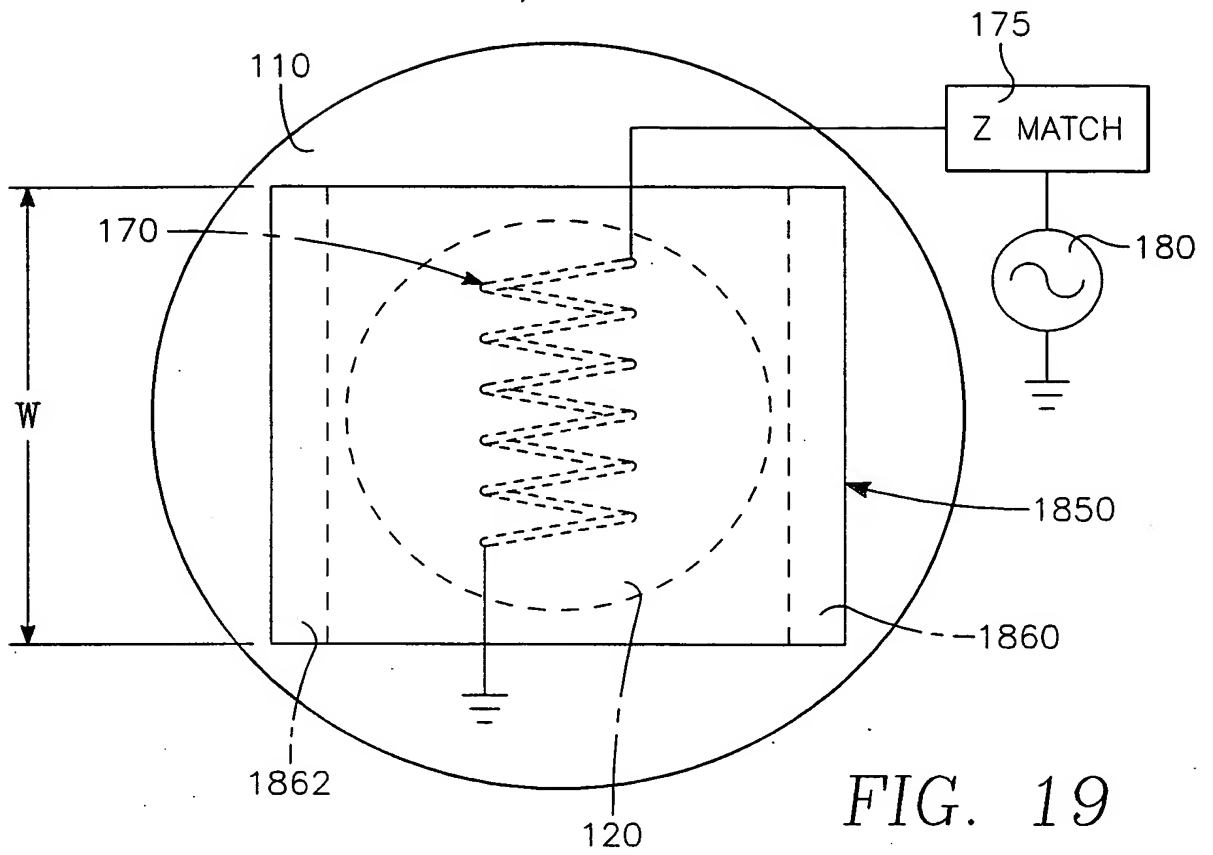


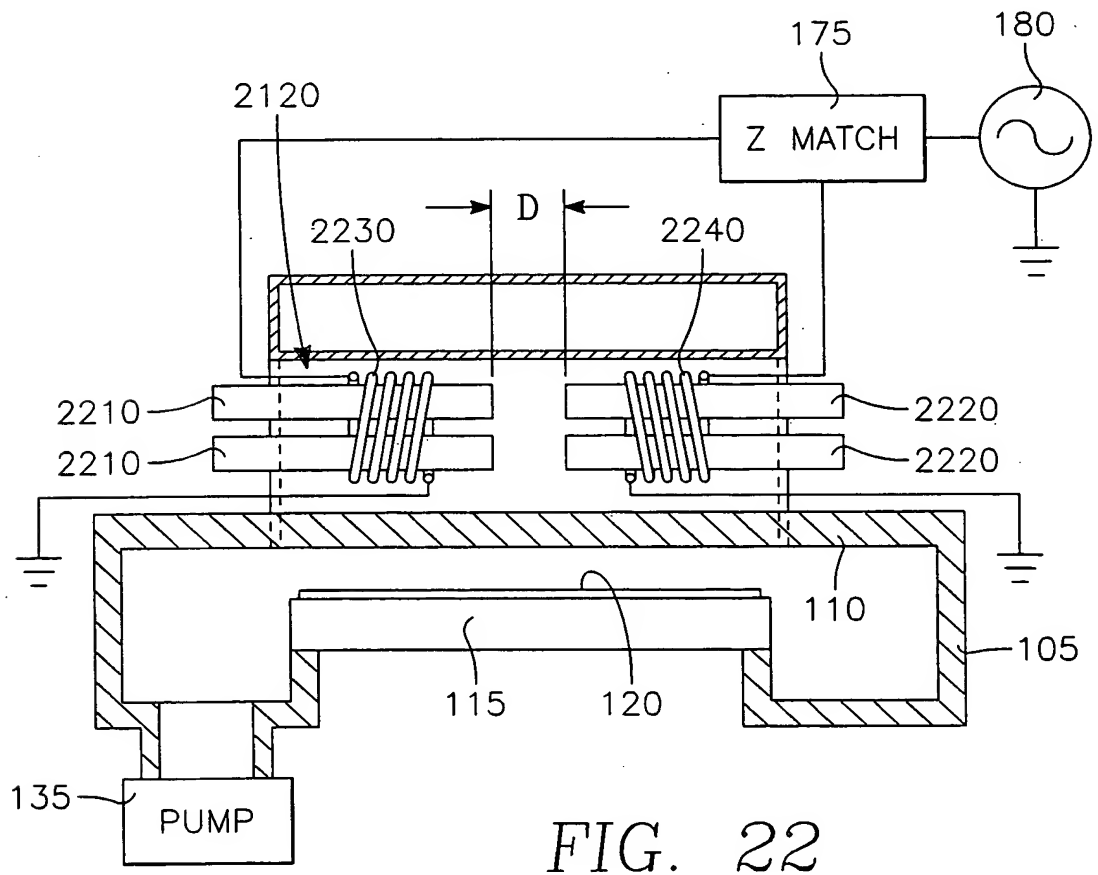
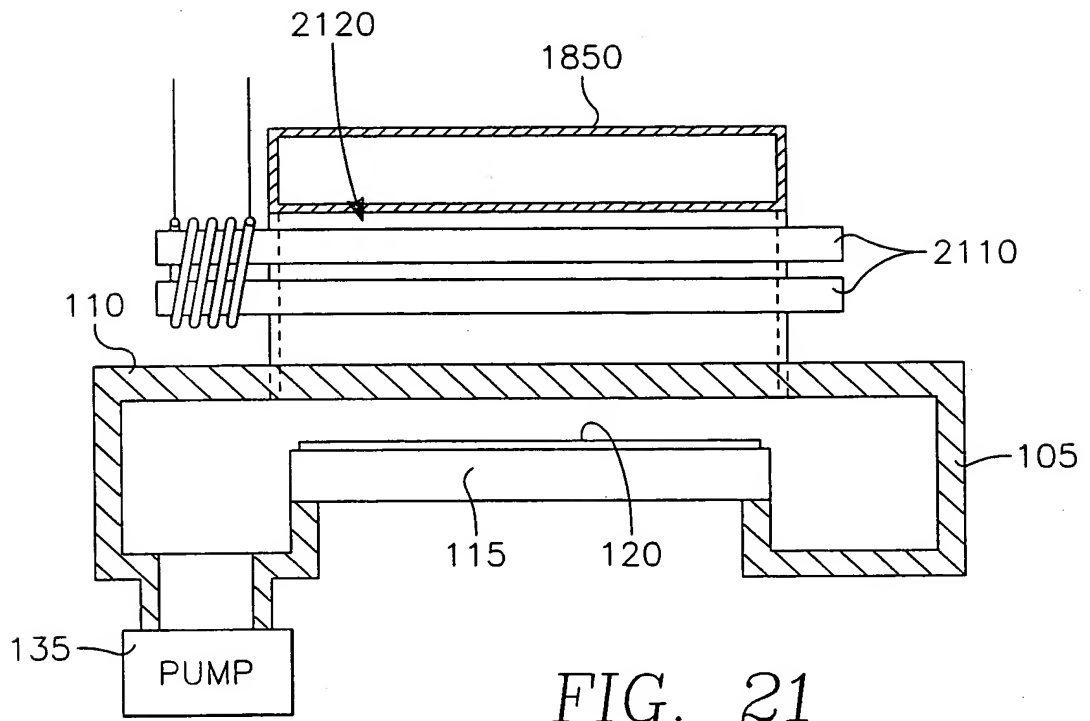
FIG. 18

16/85





17/85



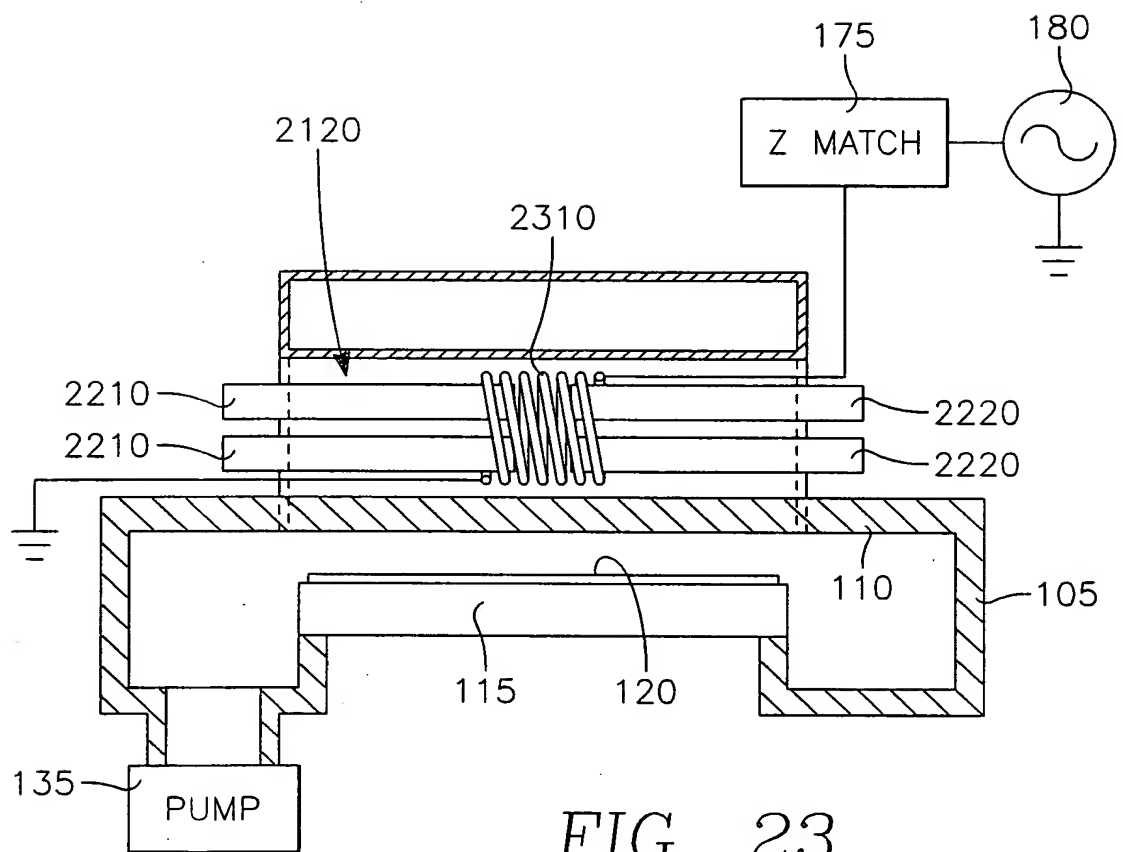
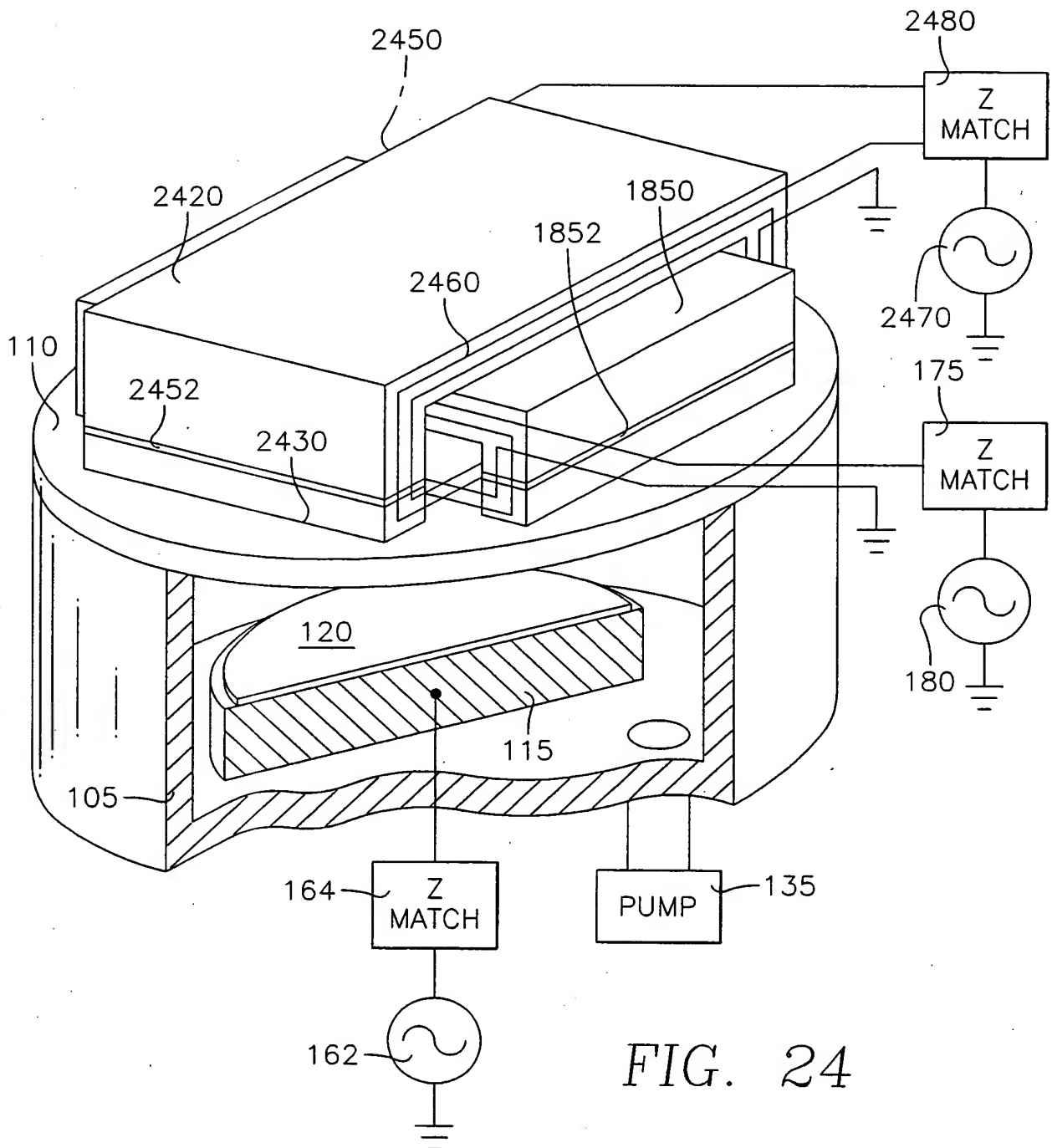


FIG. 23



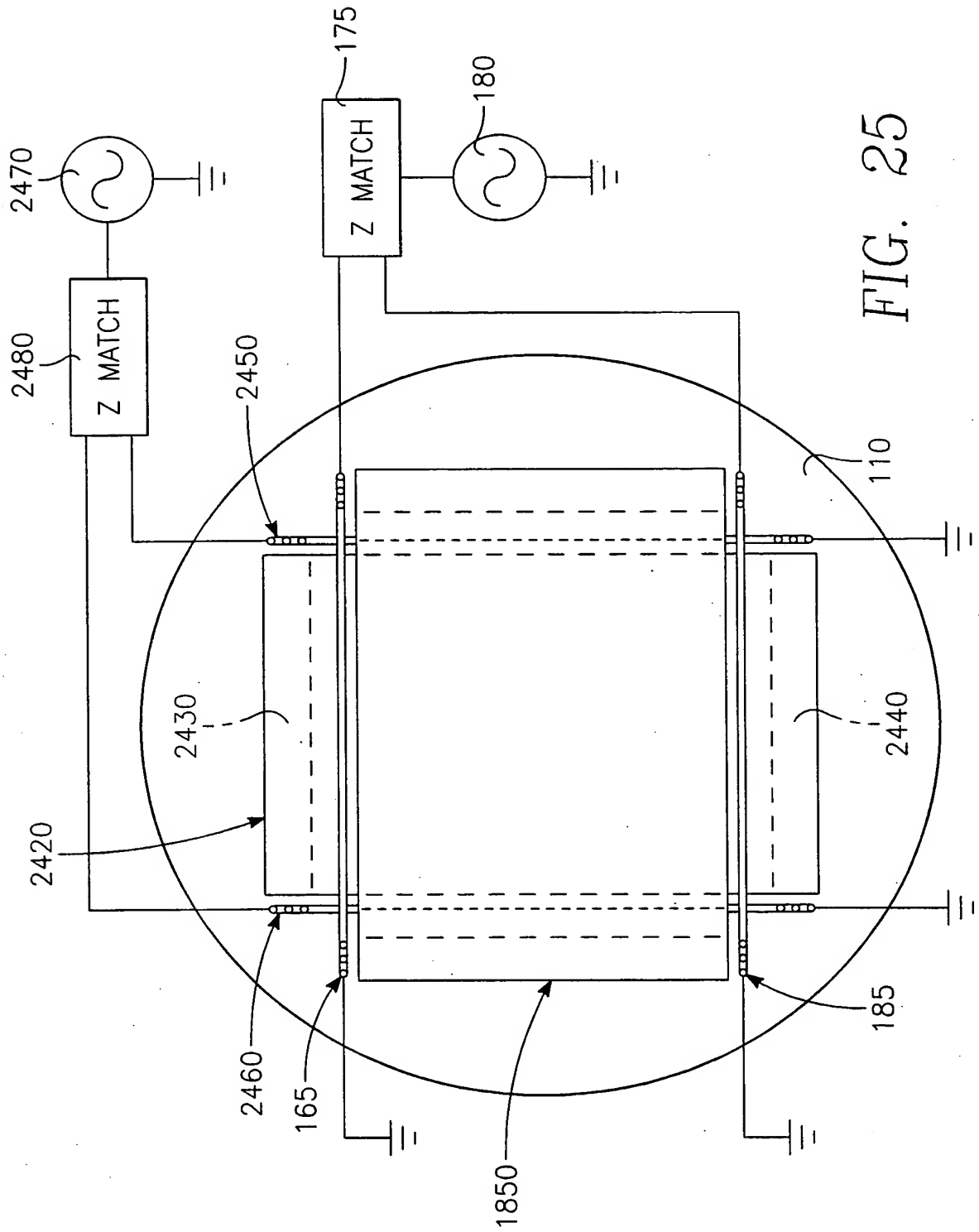


FIG. 25

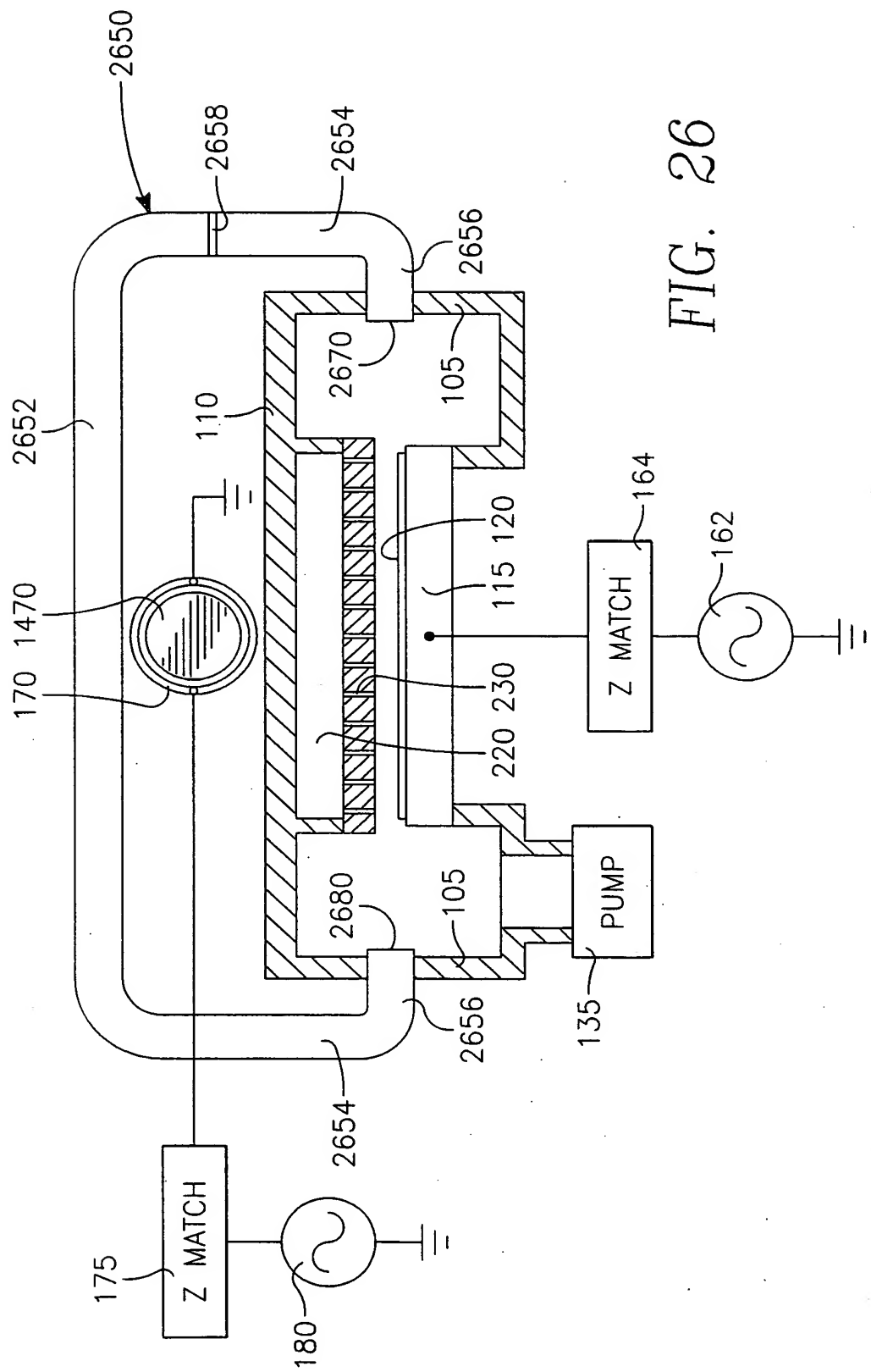
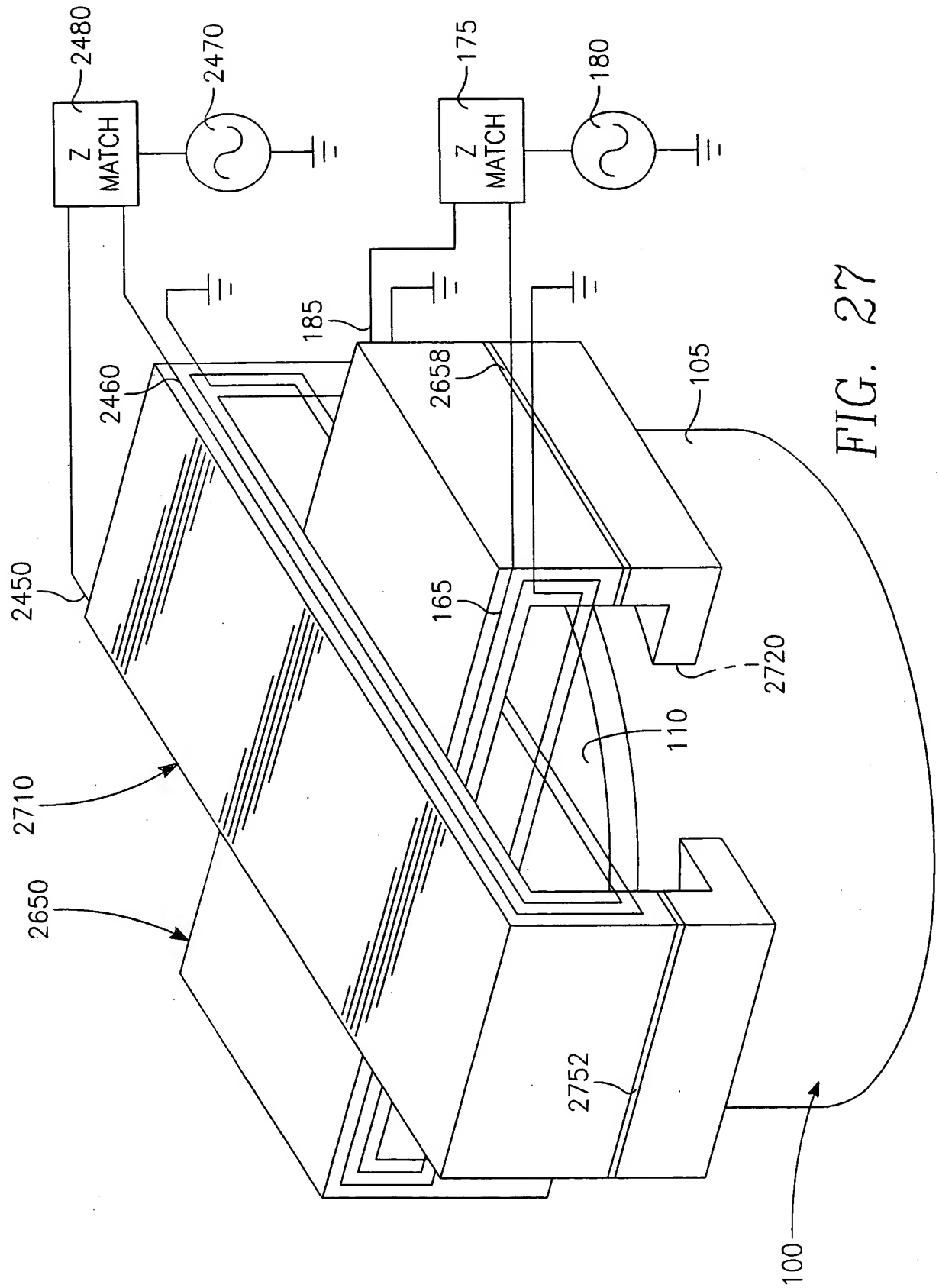
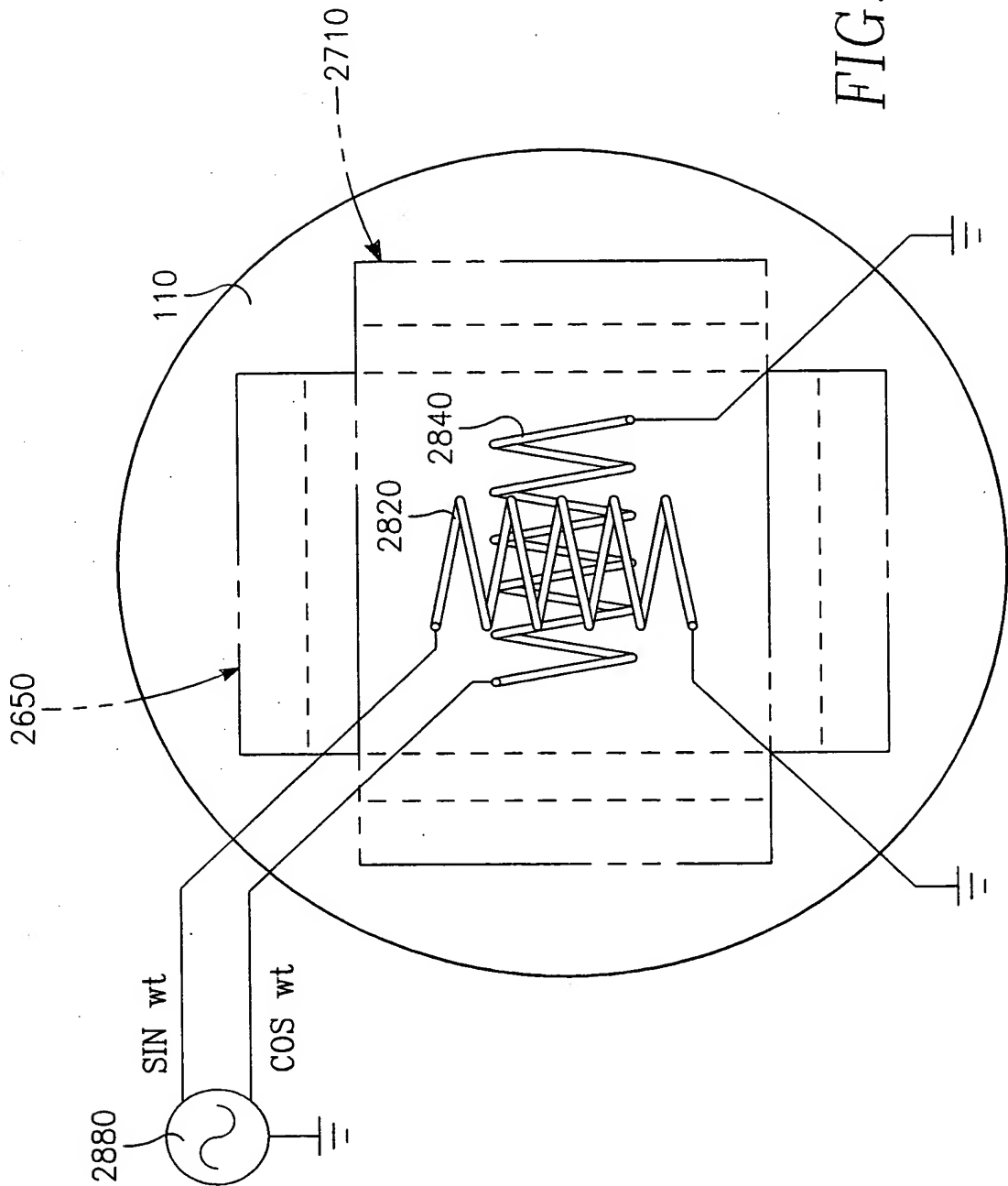


FIG. 26





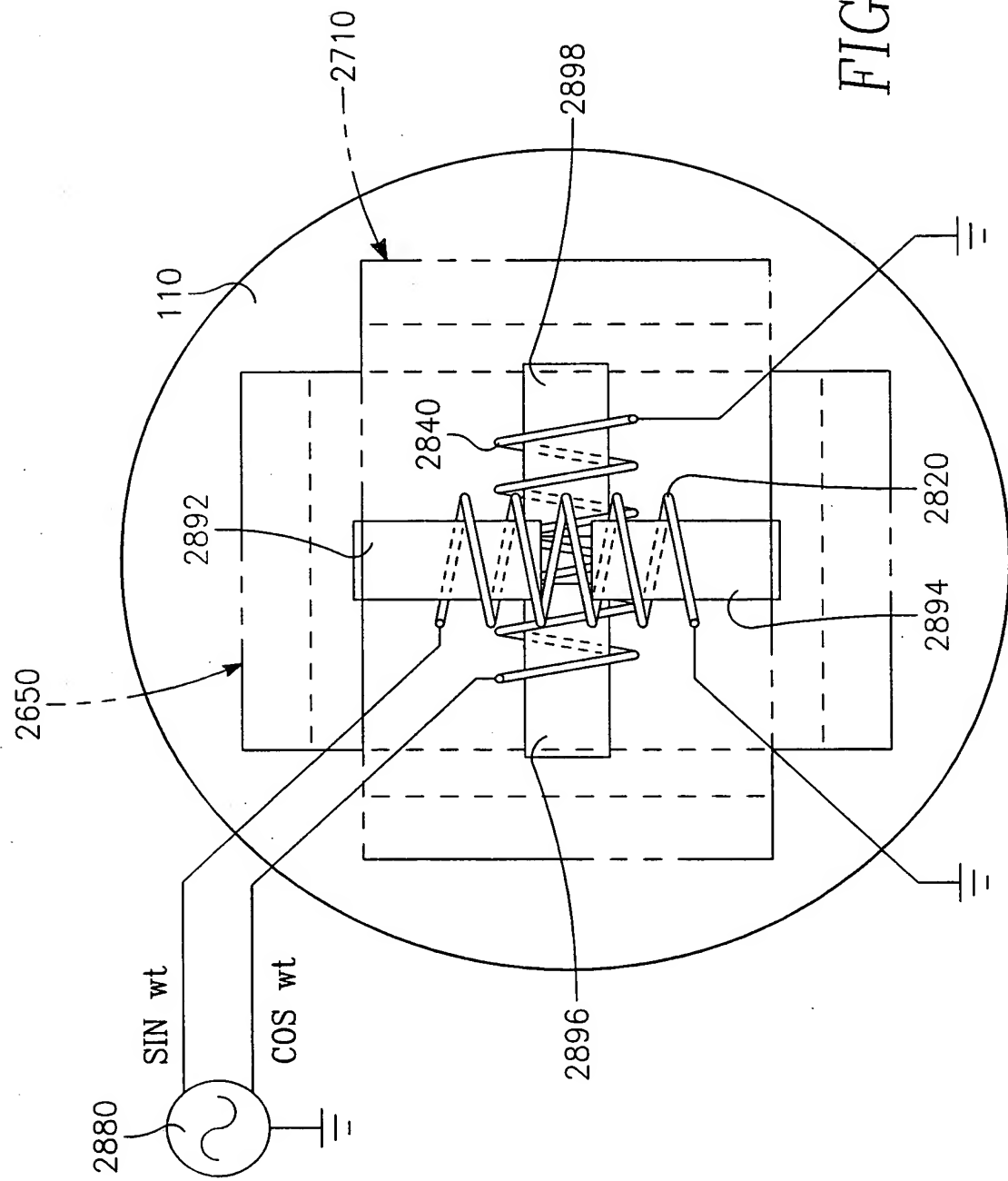
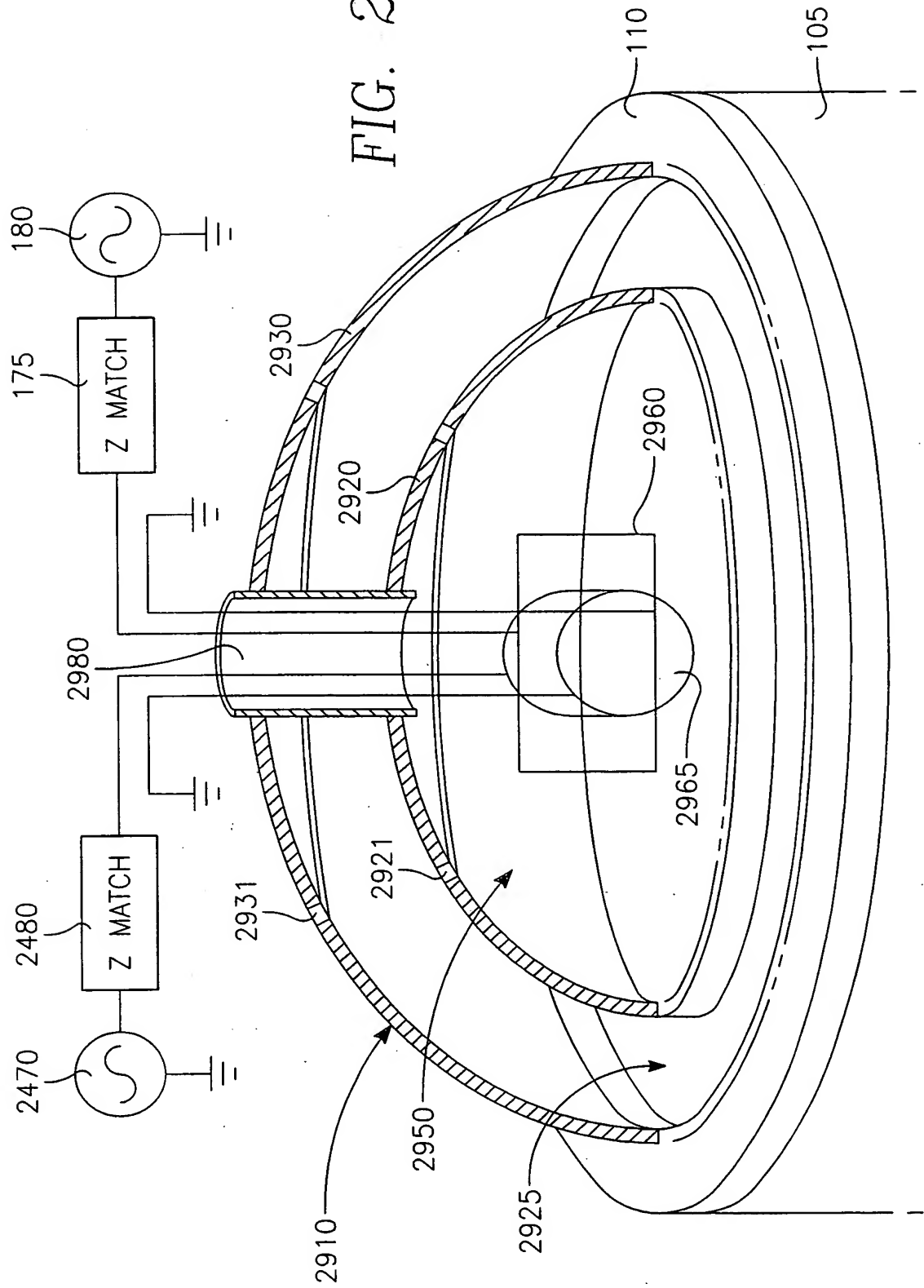


FIG. 28B



FIG. 29



26/85

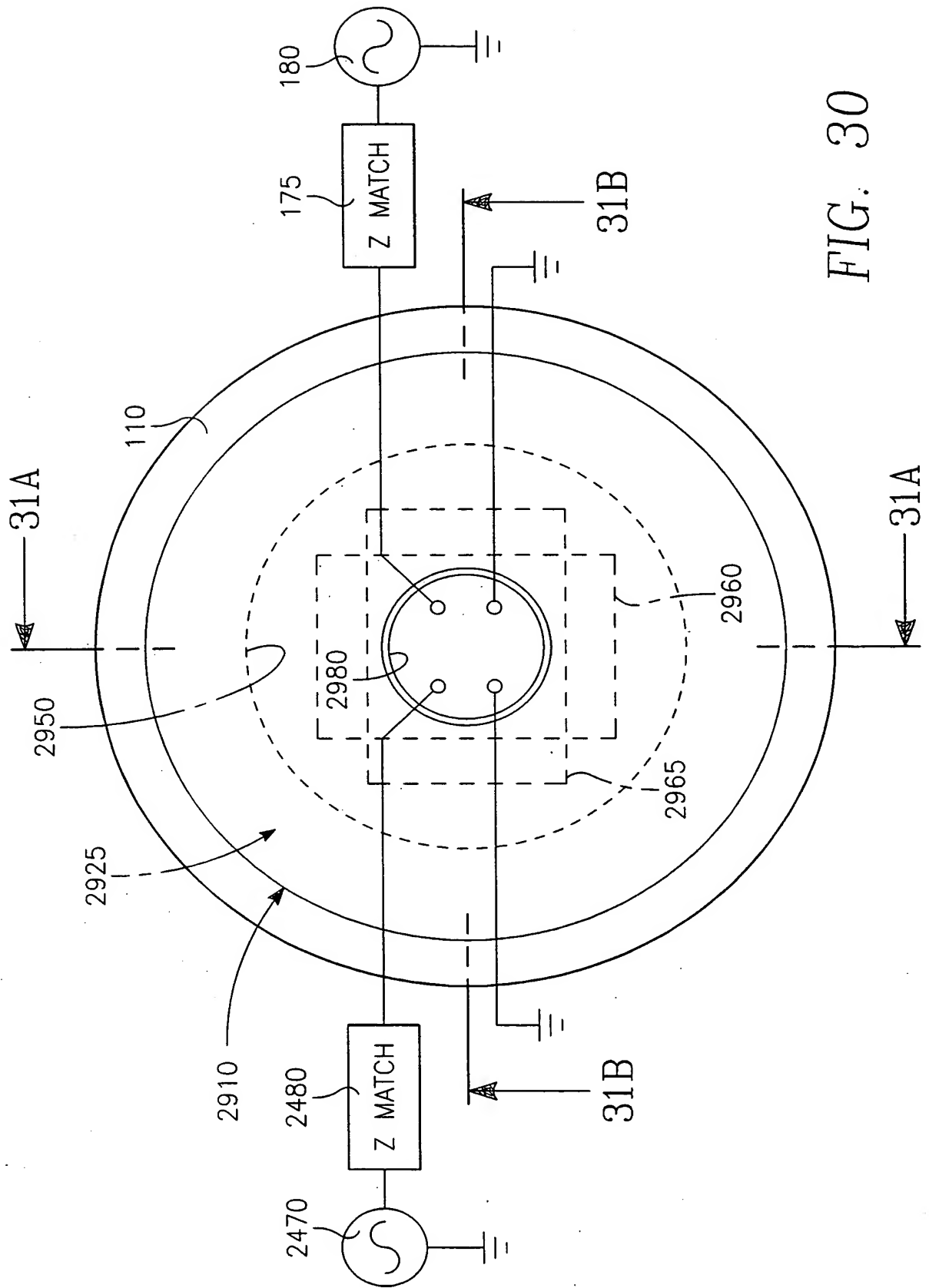


FIG. 30



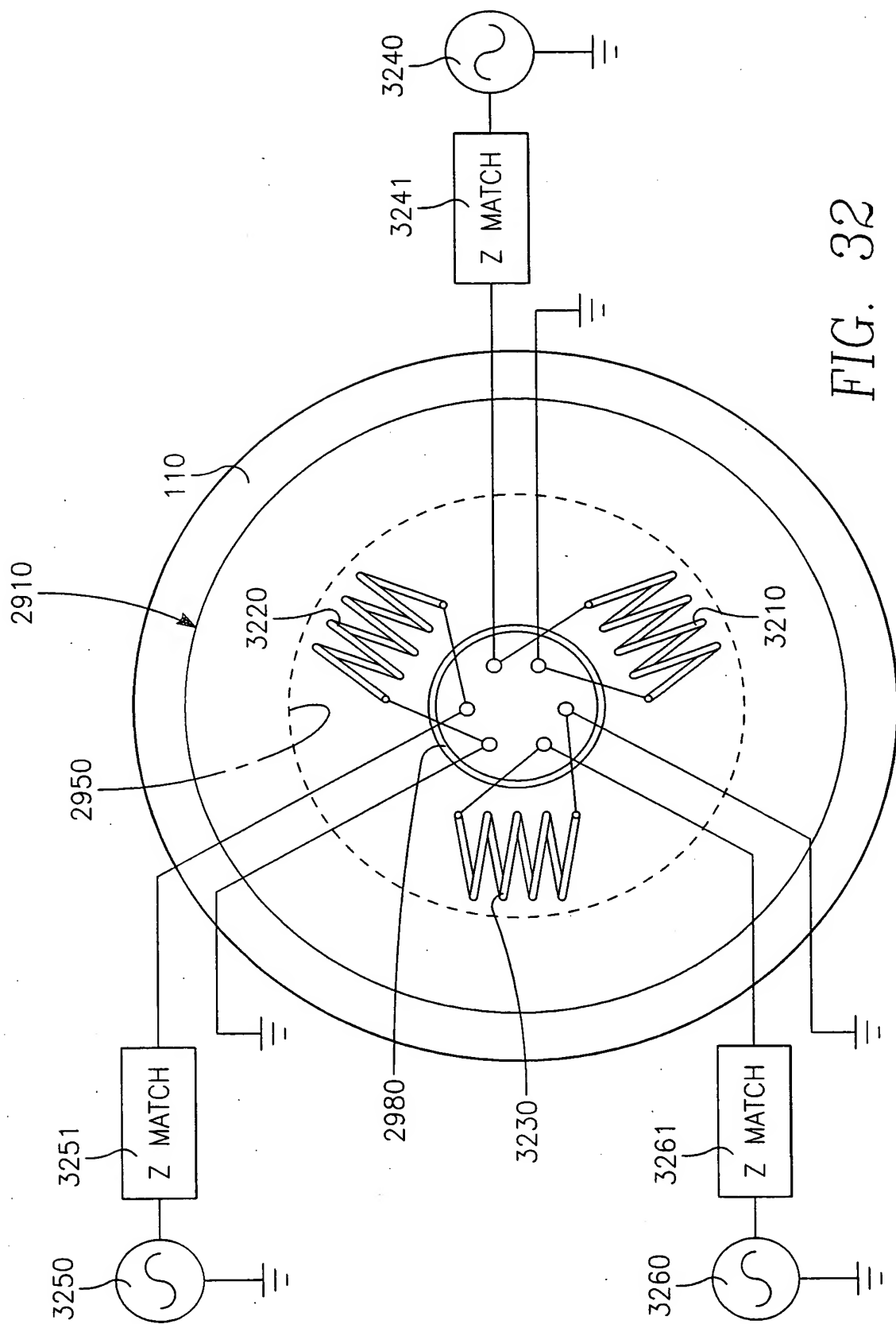


FIG. 32

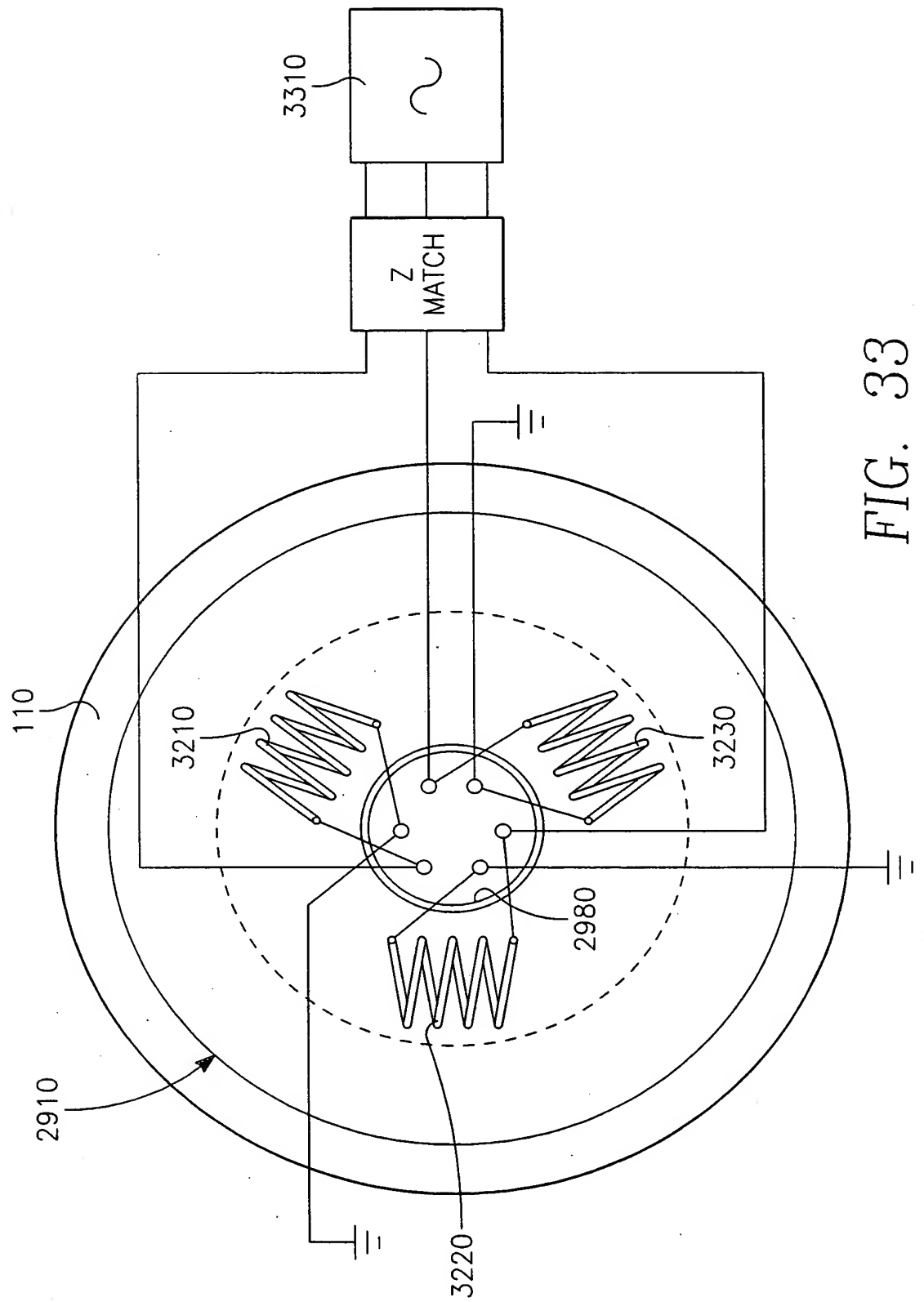
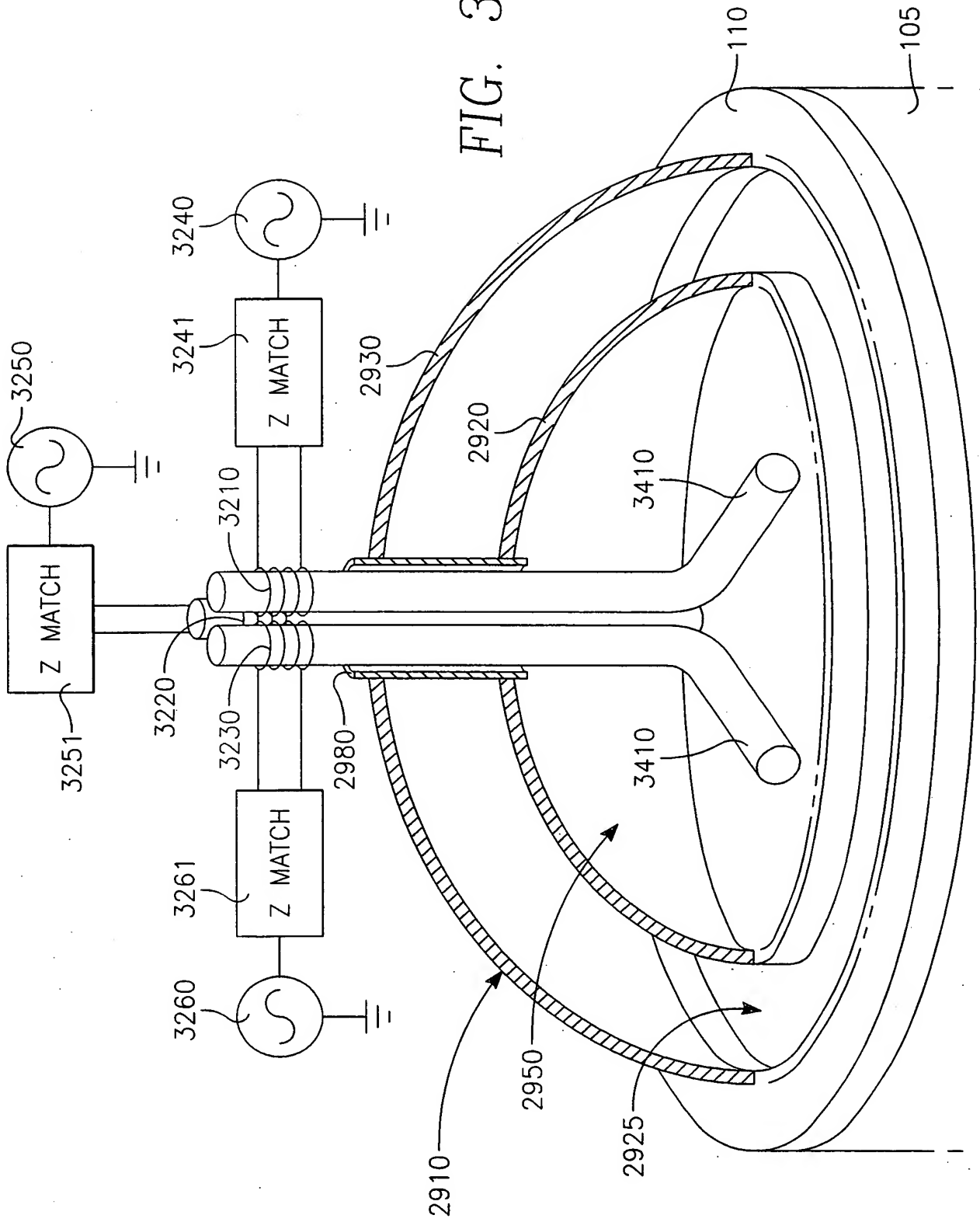


FIG. 33

FIG. 34



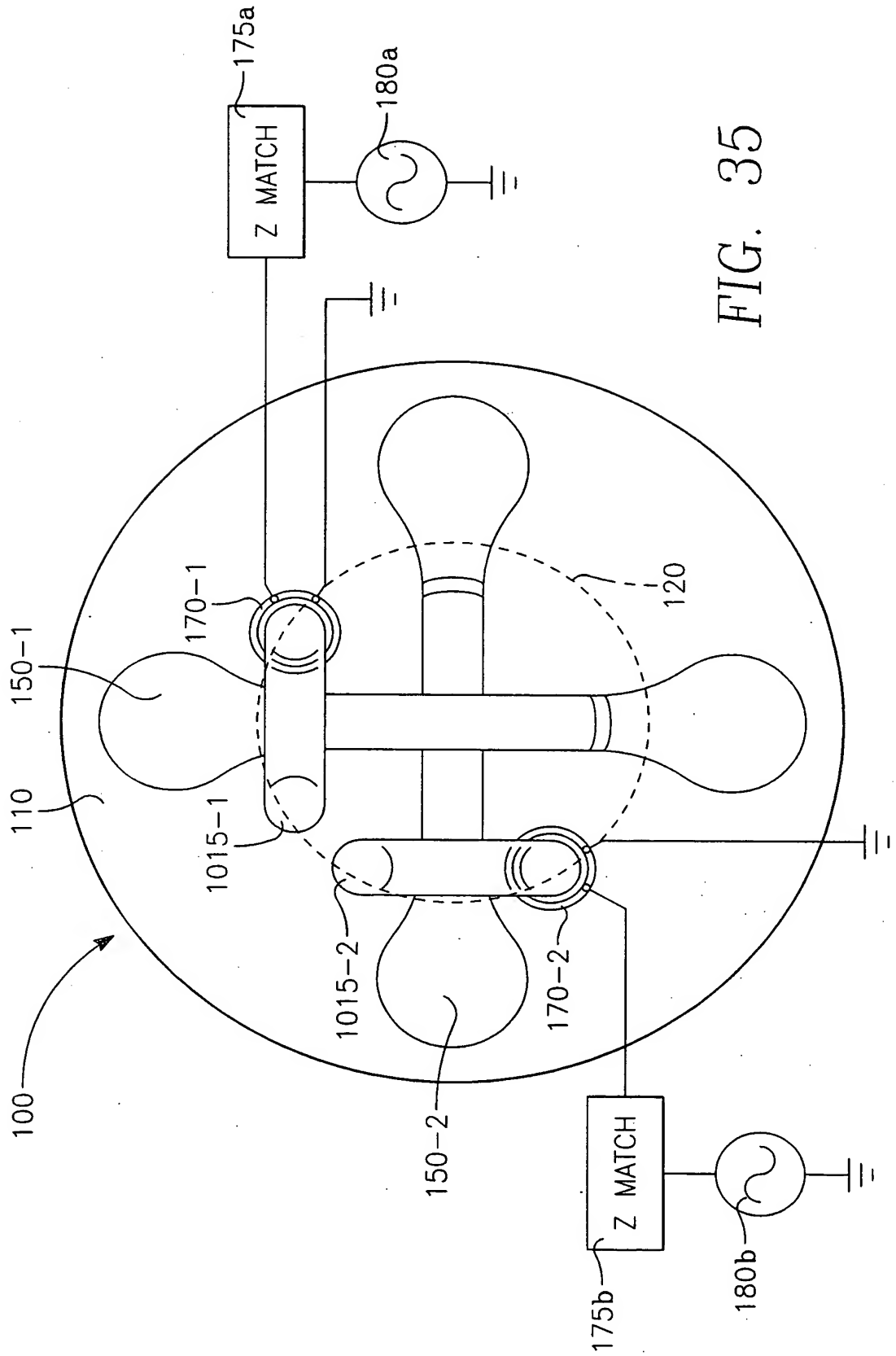


FIG. 35

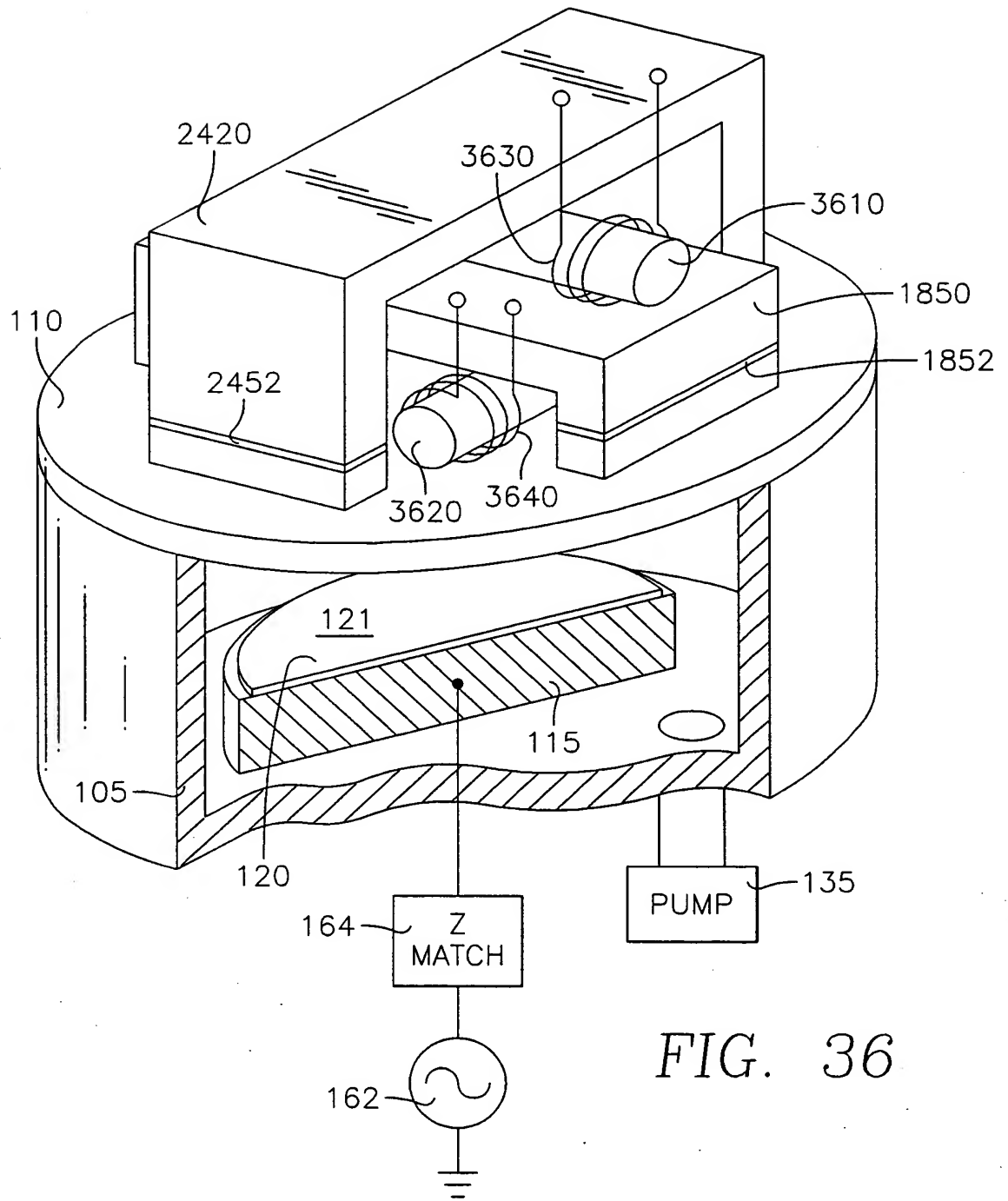


FIG. 36



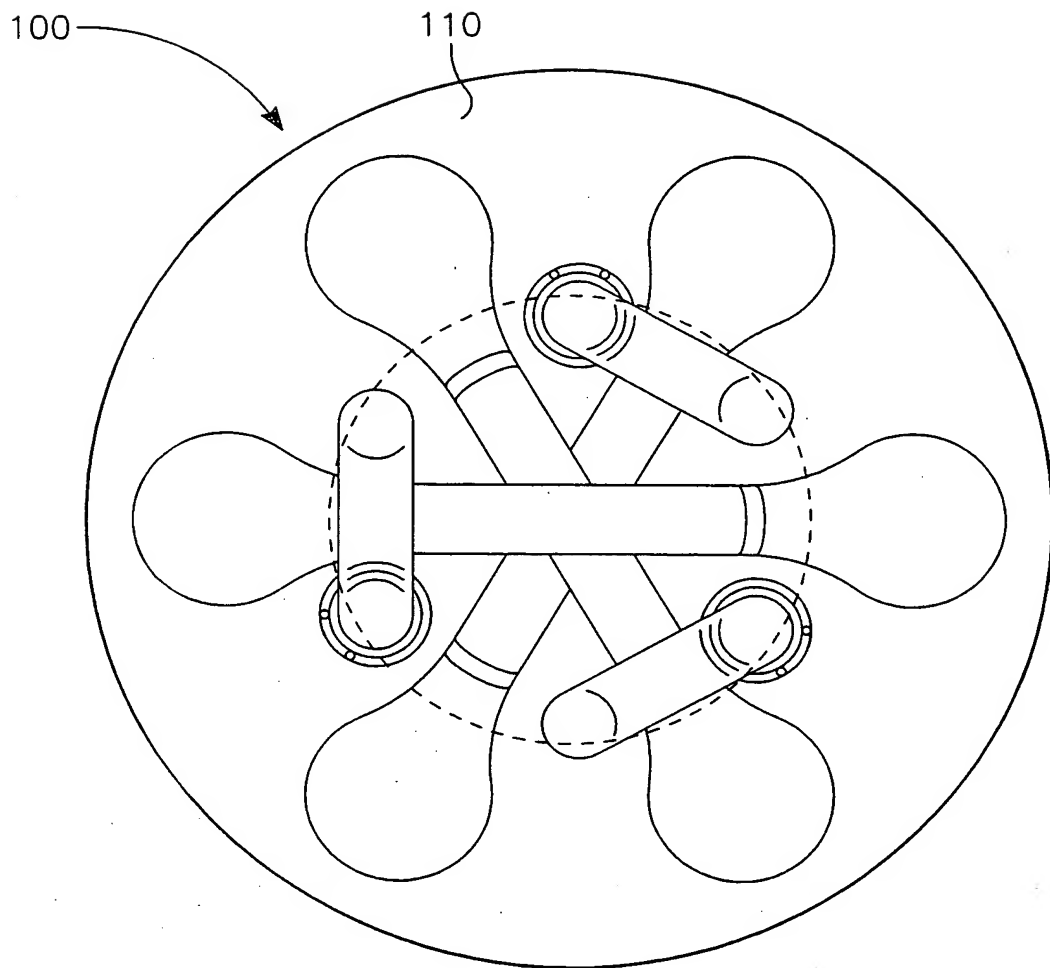


FIG. 37

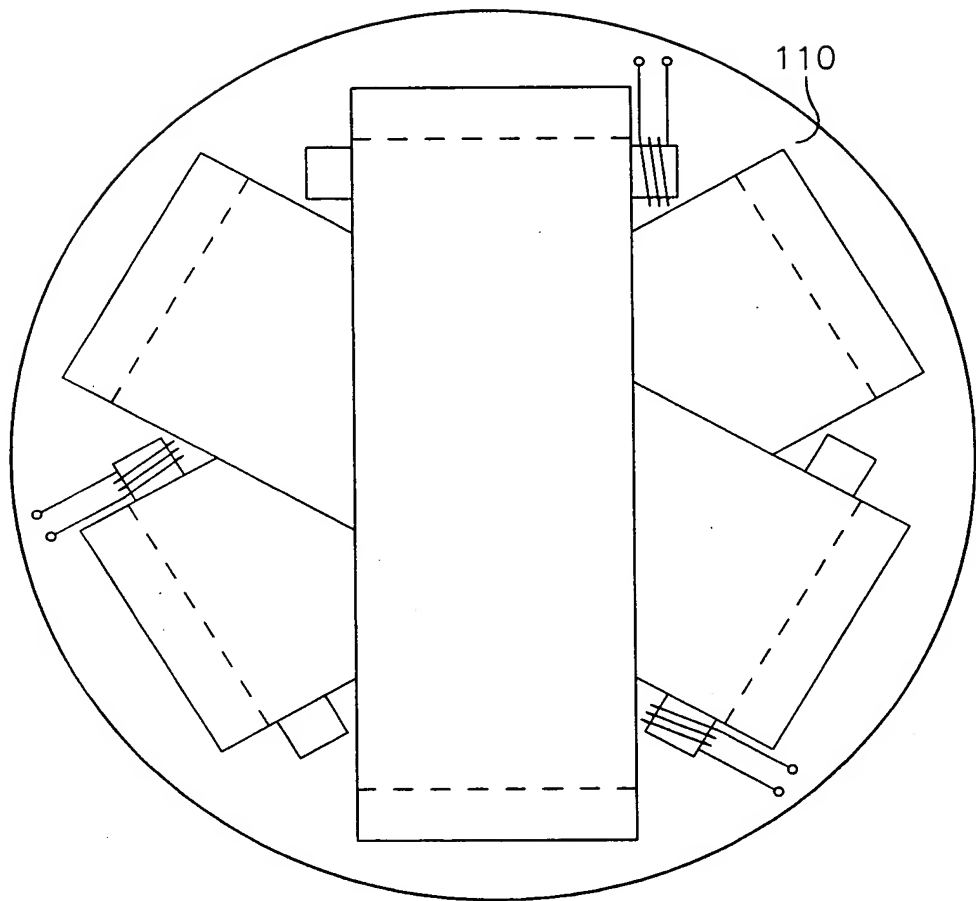


FIG. 38

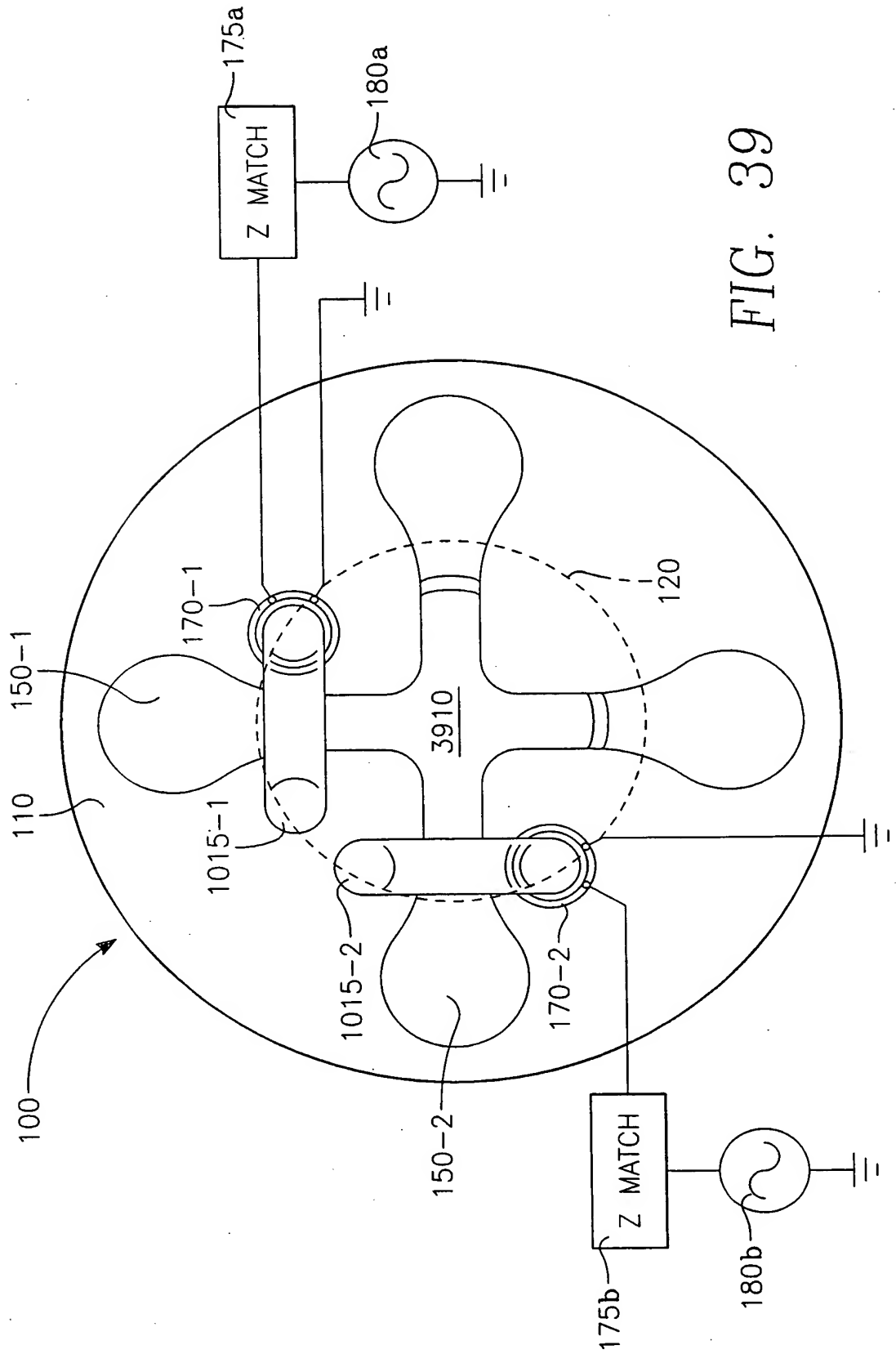


FIG. 39

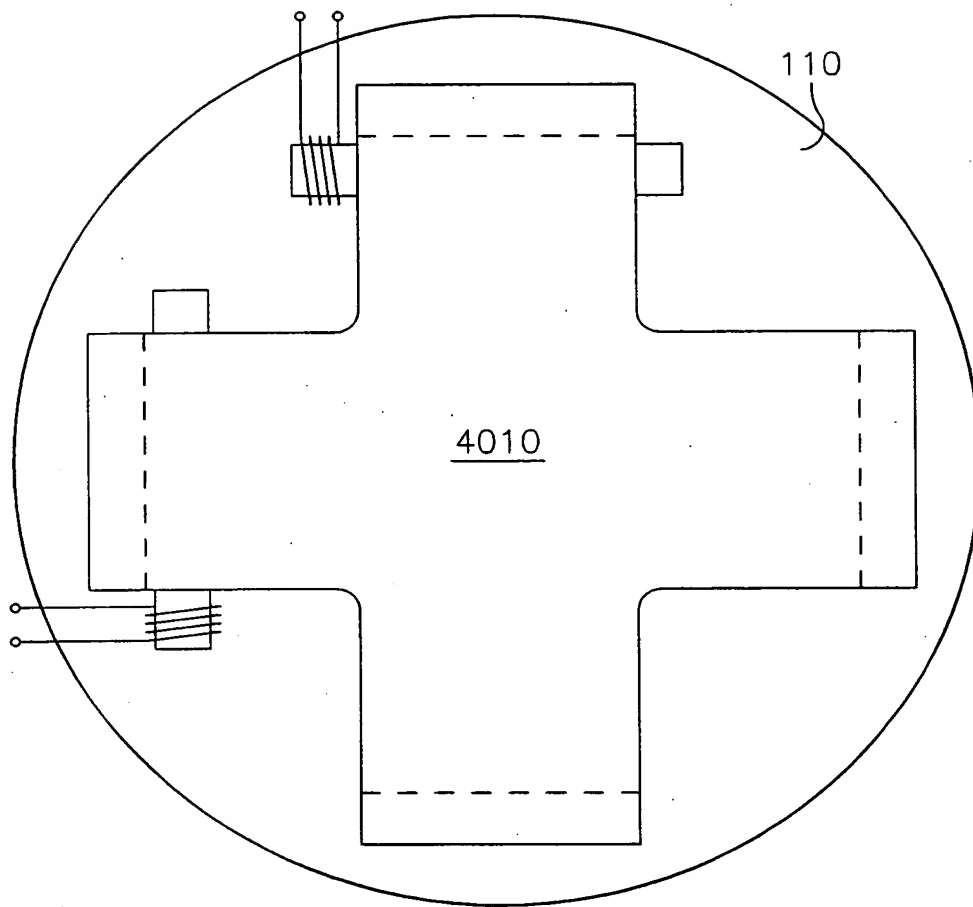


FIG. 40

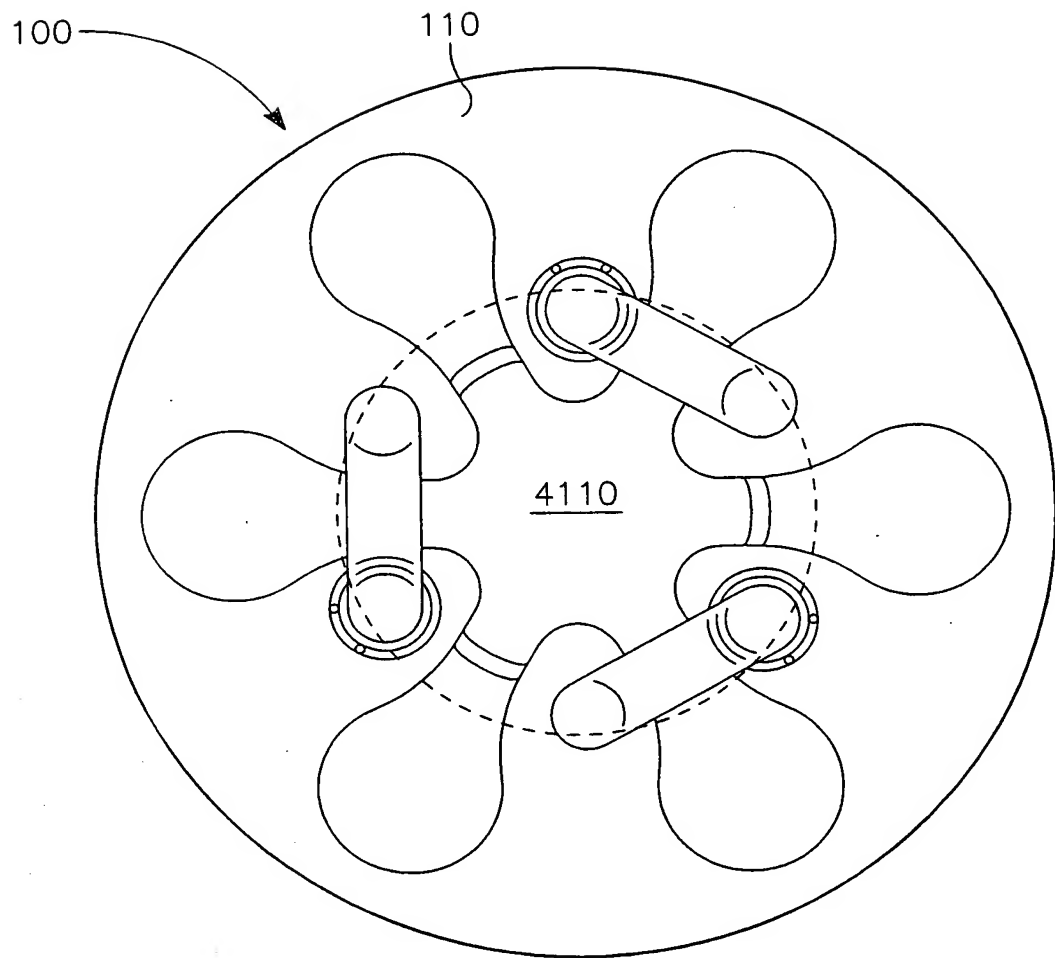


FIG. 41

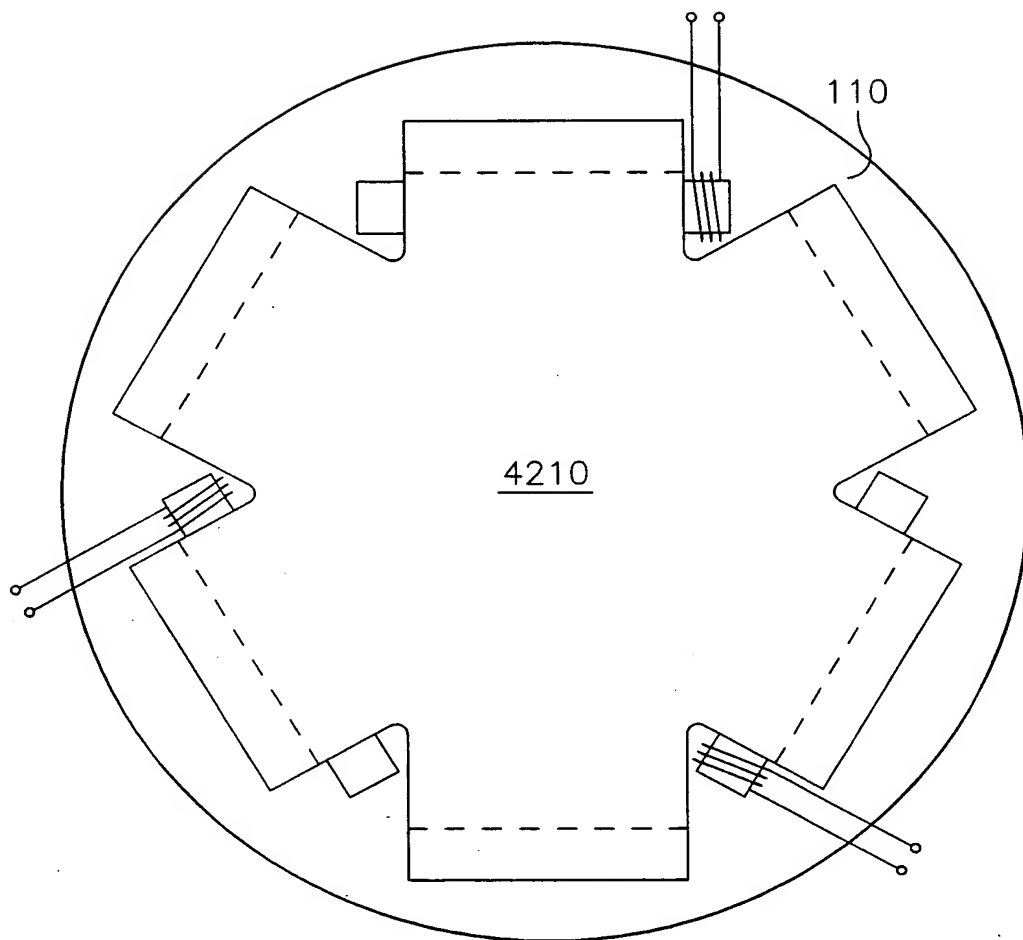


FIG. 42

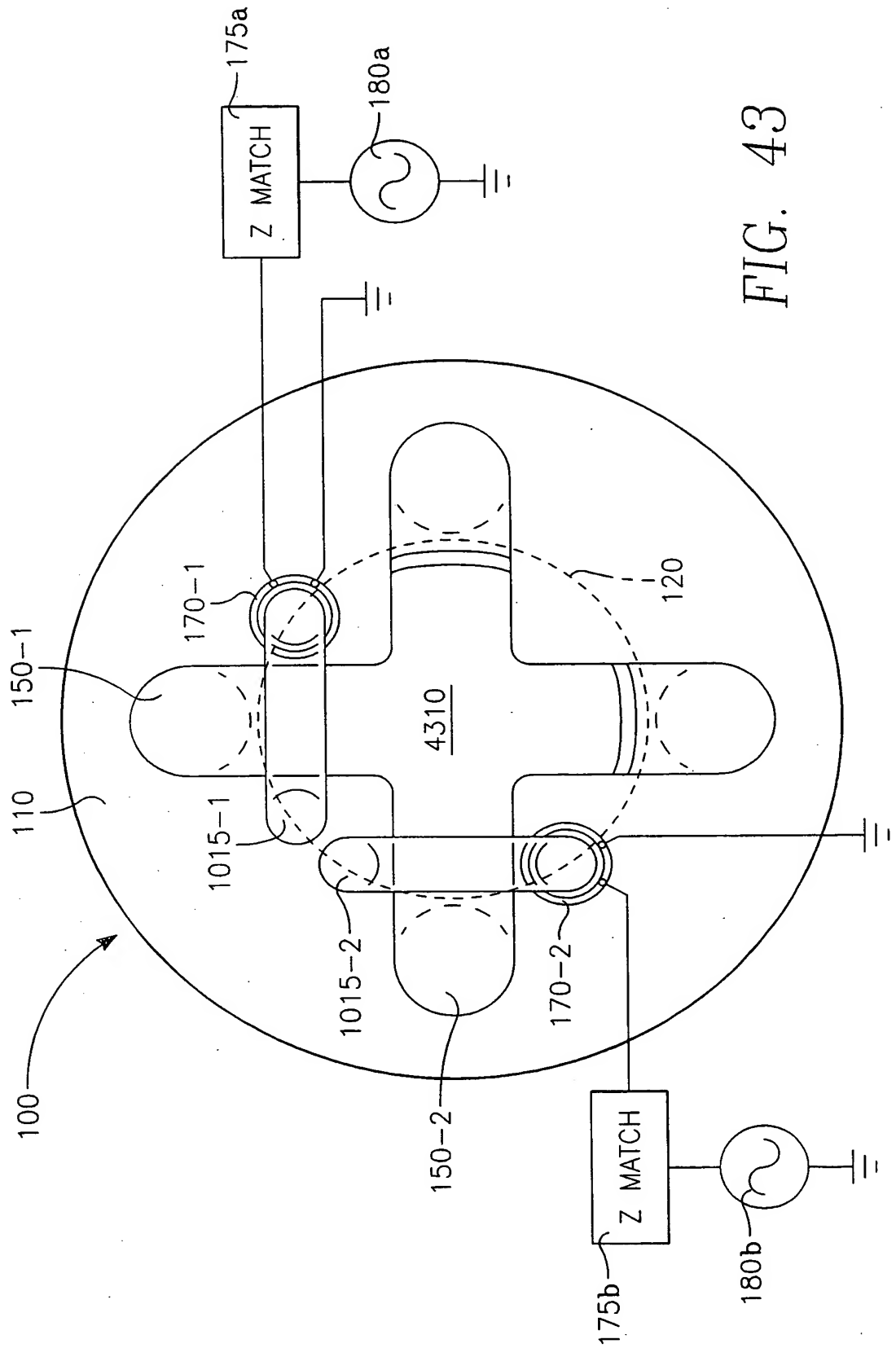


FIG. 43

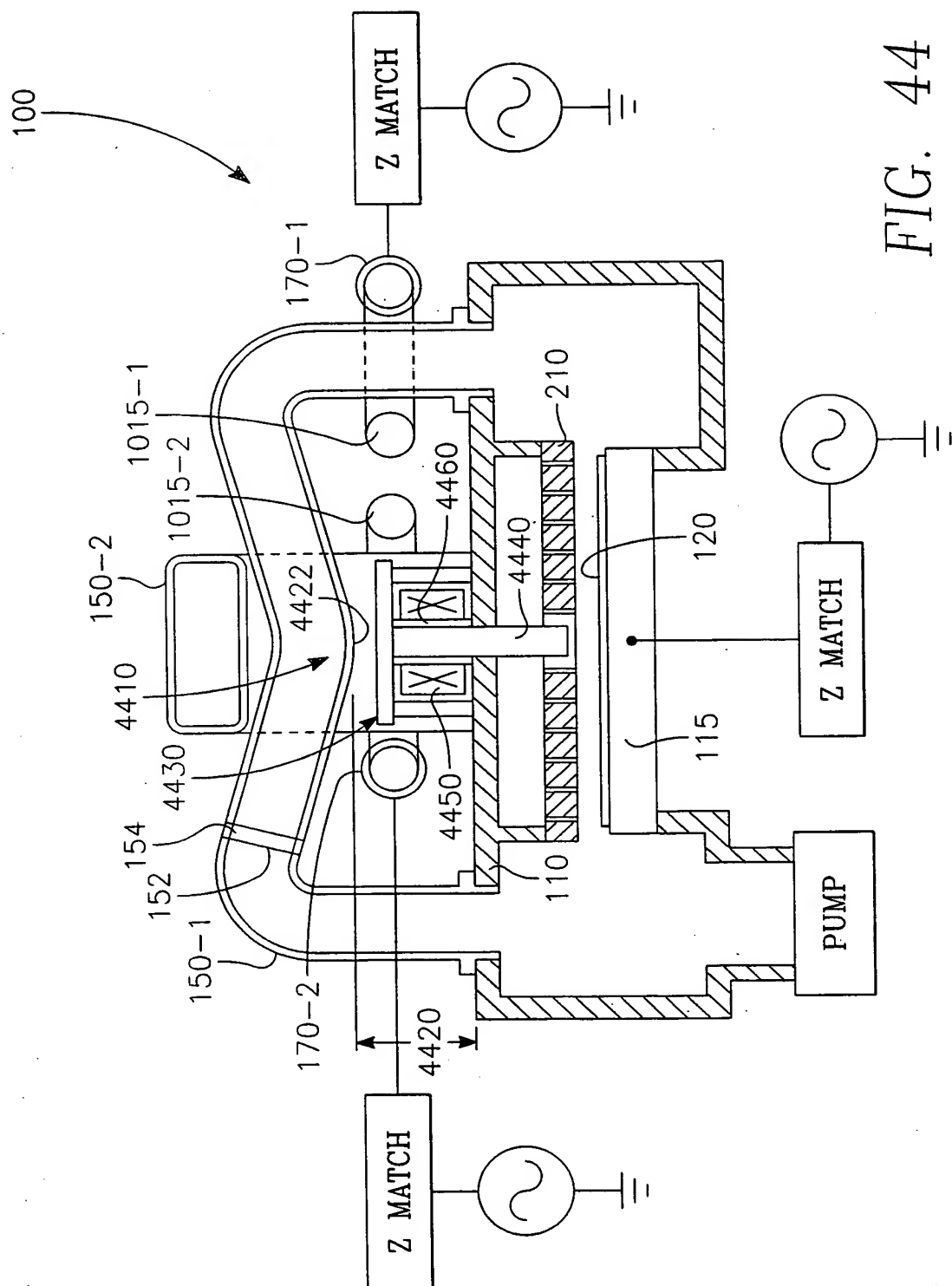


FIG. 44



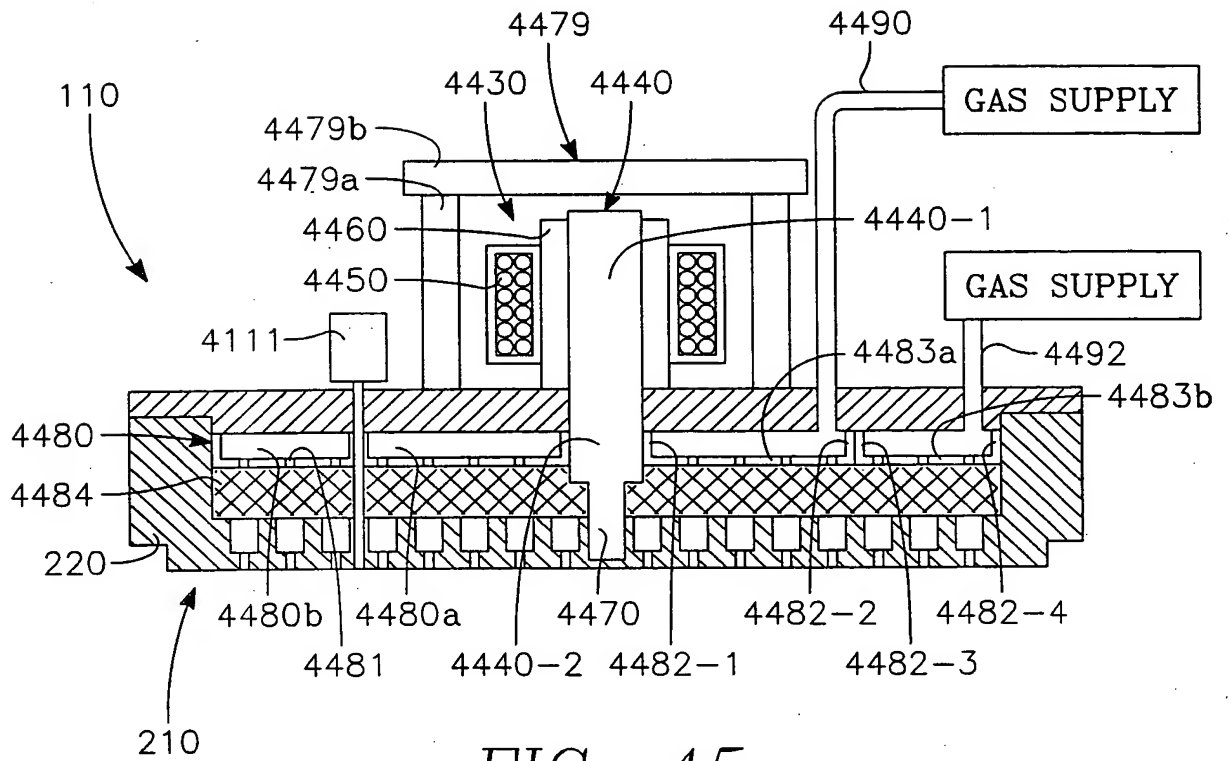


FIG. 45

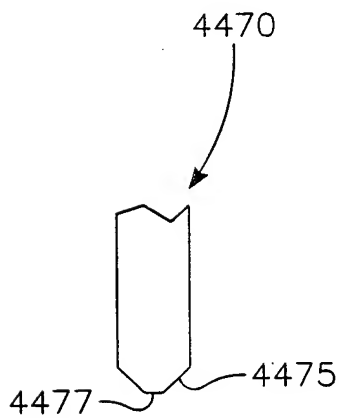


FIG. 46

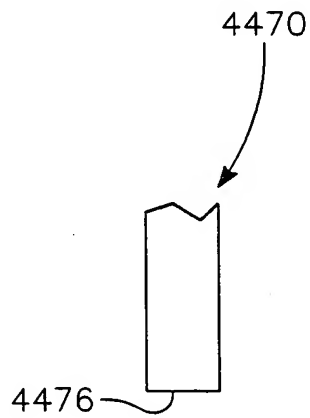


FIG. 47

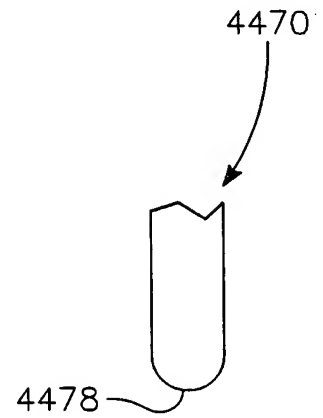


FIG. 48

42/85

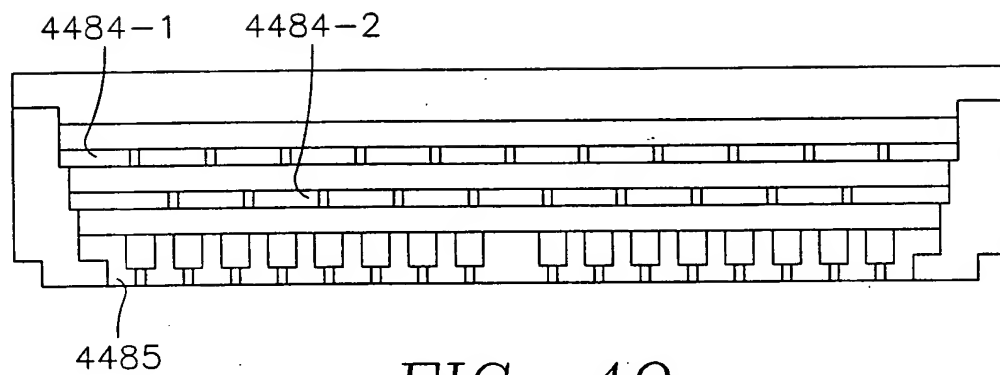


FIG. 49

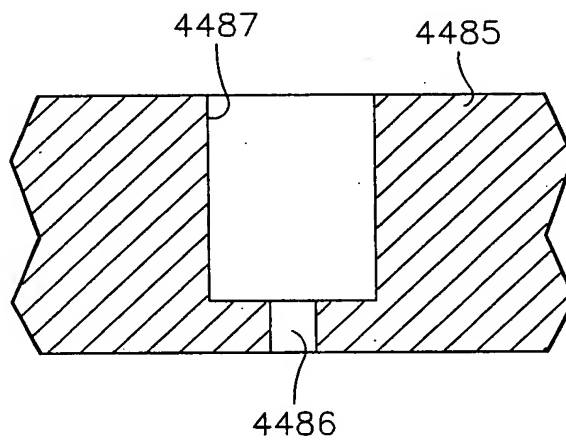


FIG. 50

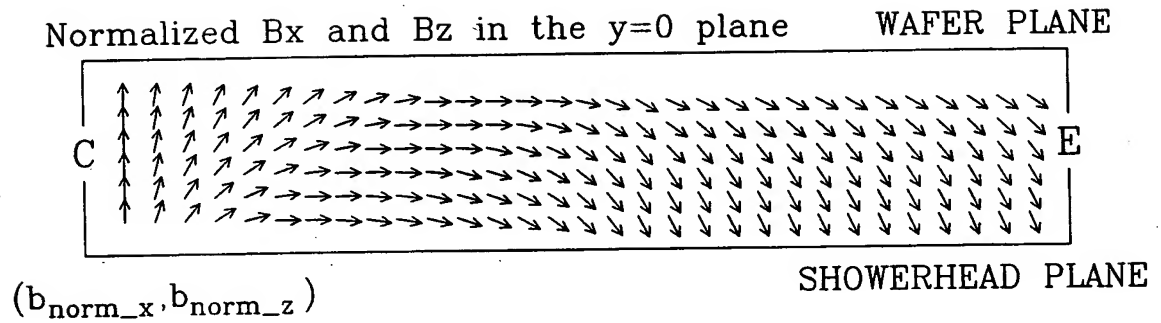


FIG. 51

□ Br measured=7 gauss at wafer plane, 1in. off-center (peak)

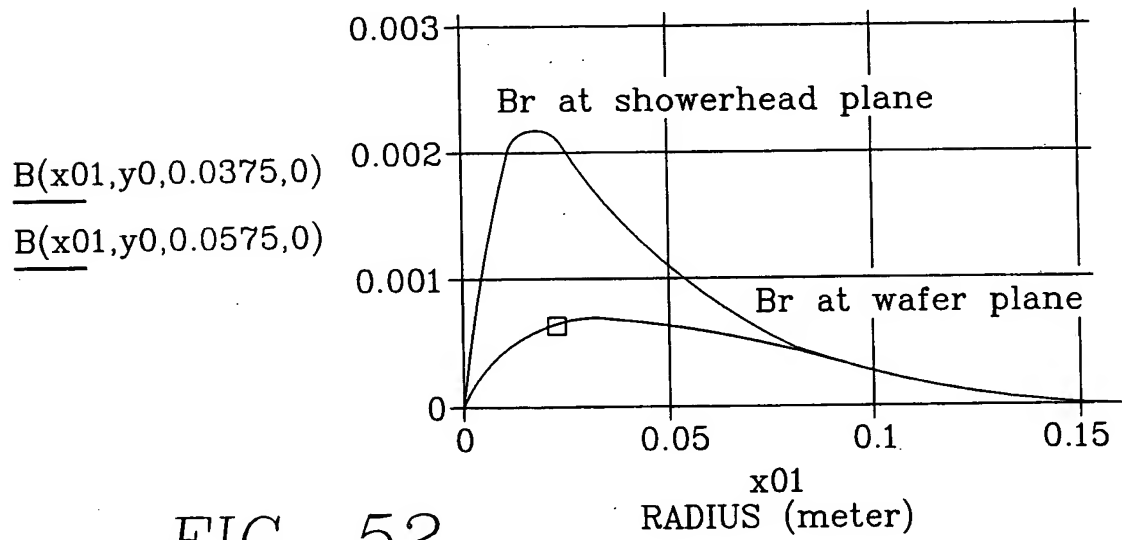


FIG. 52

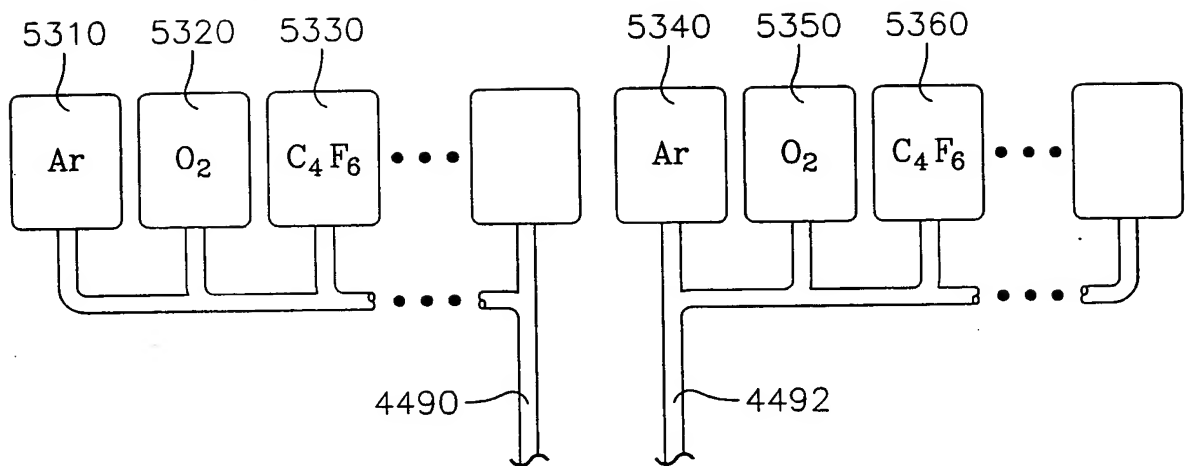


FIG. 53

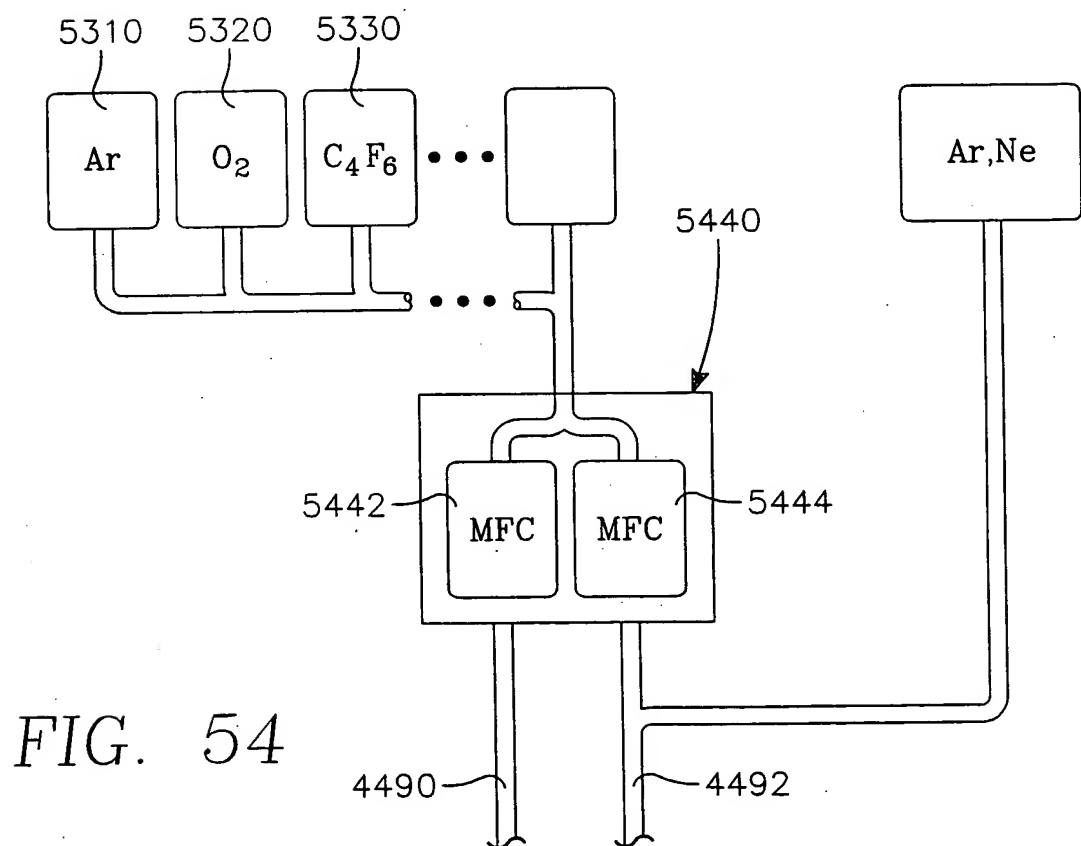


FIG. 54

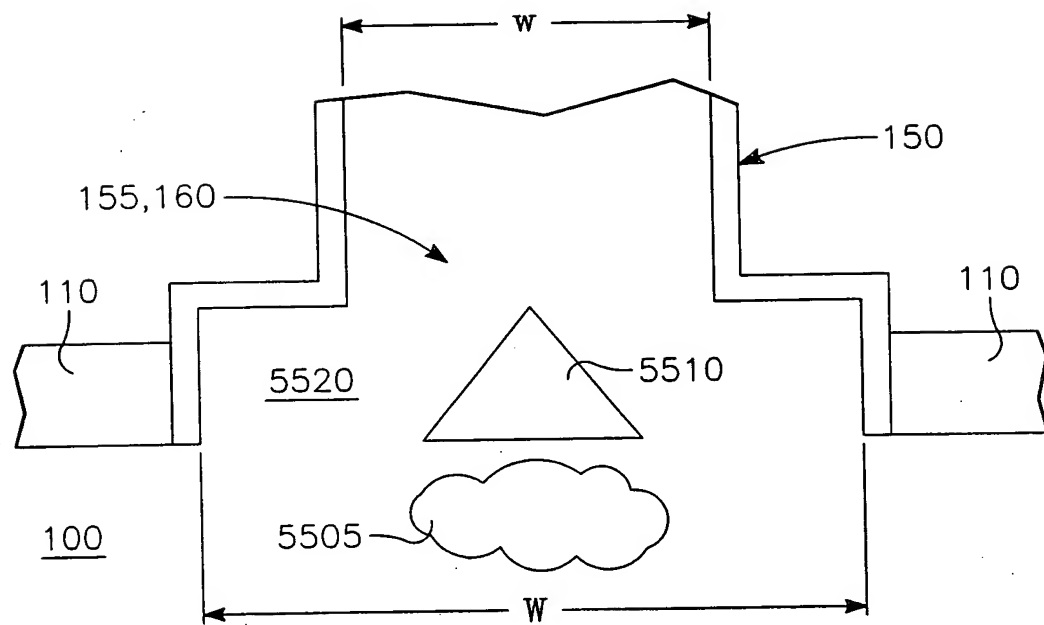


FIG. 55A

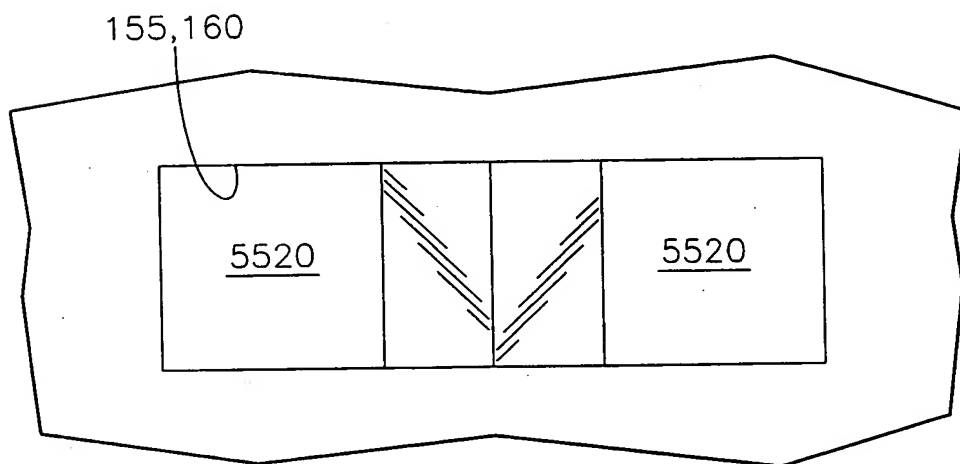


FIG. 55B

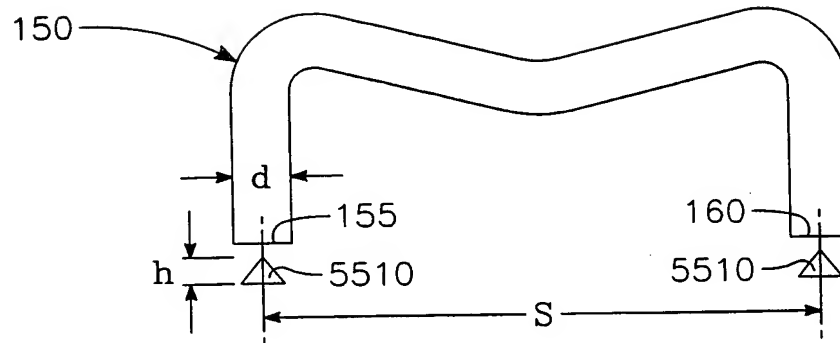


FIG. 56A

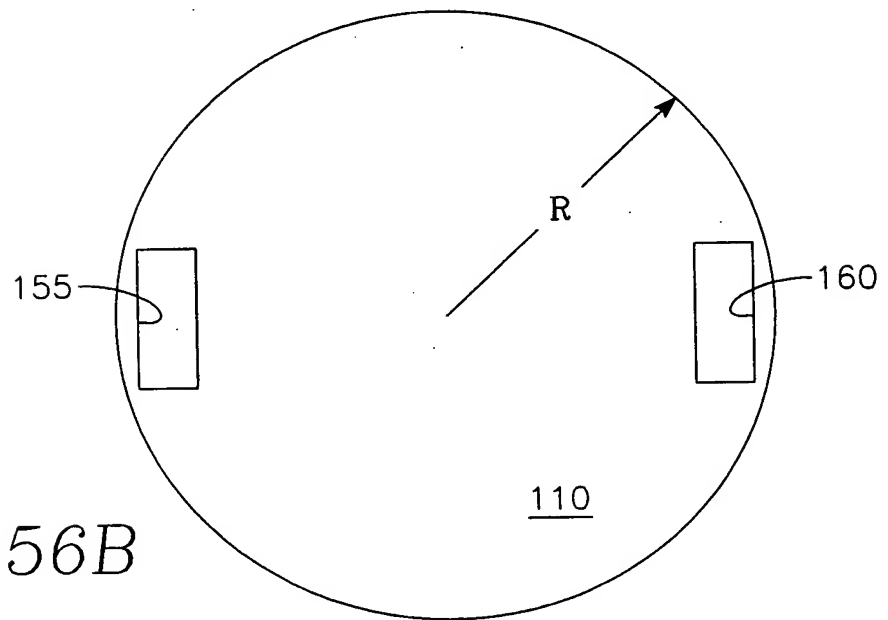


FIG. 56B

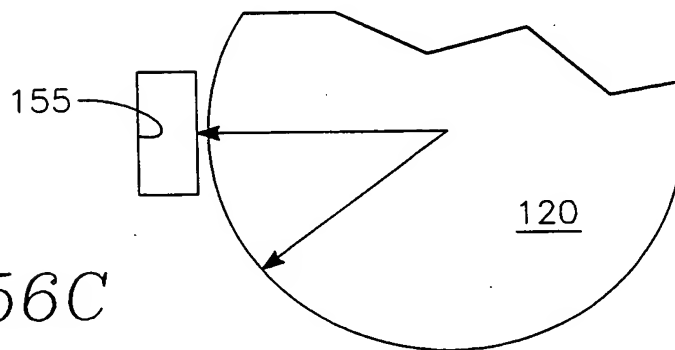


FIG. 56C

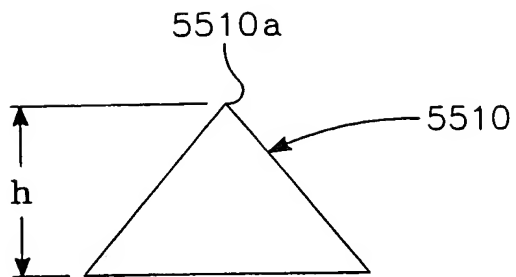


FIG. 57

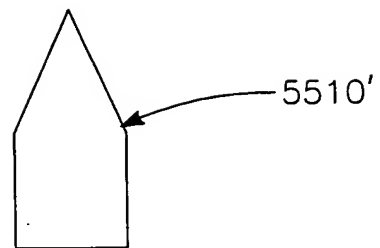


FIG. 58

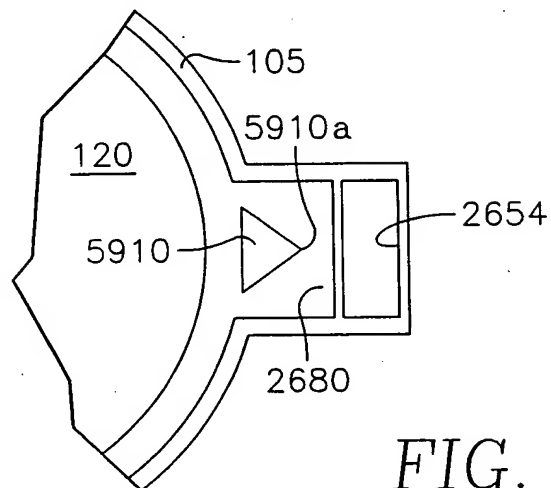


FIG. 59A

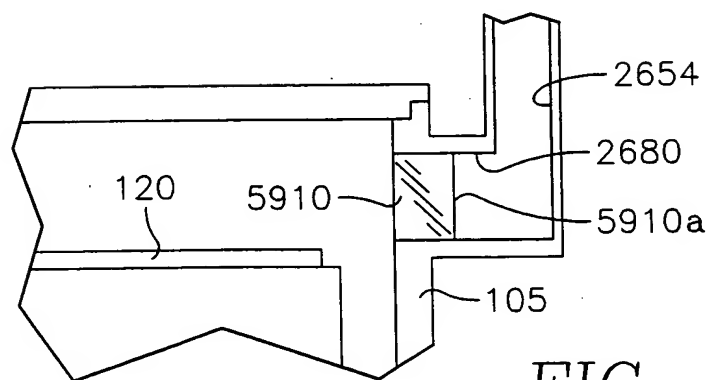


FIG. 59B

48/85

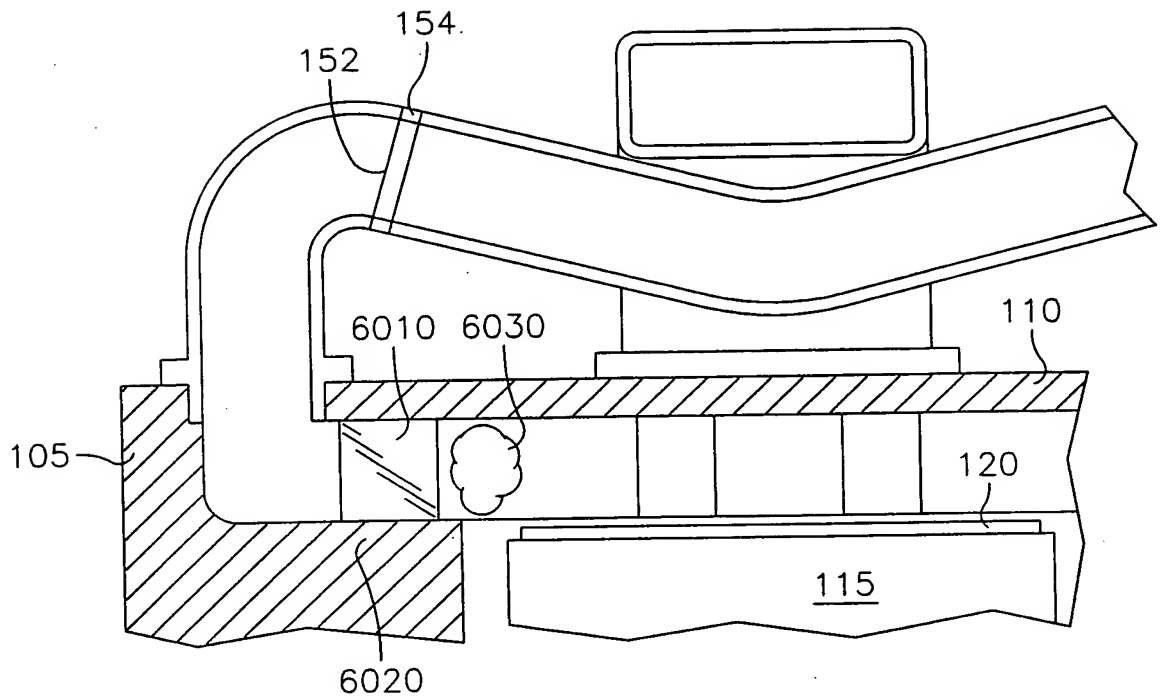


FIG. 60

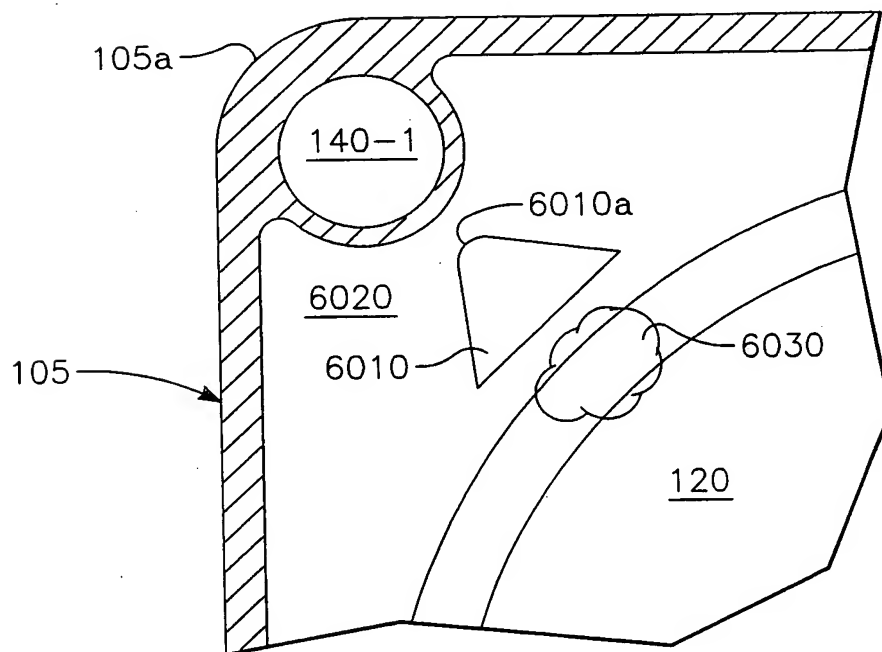


FIG. 61



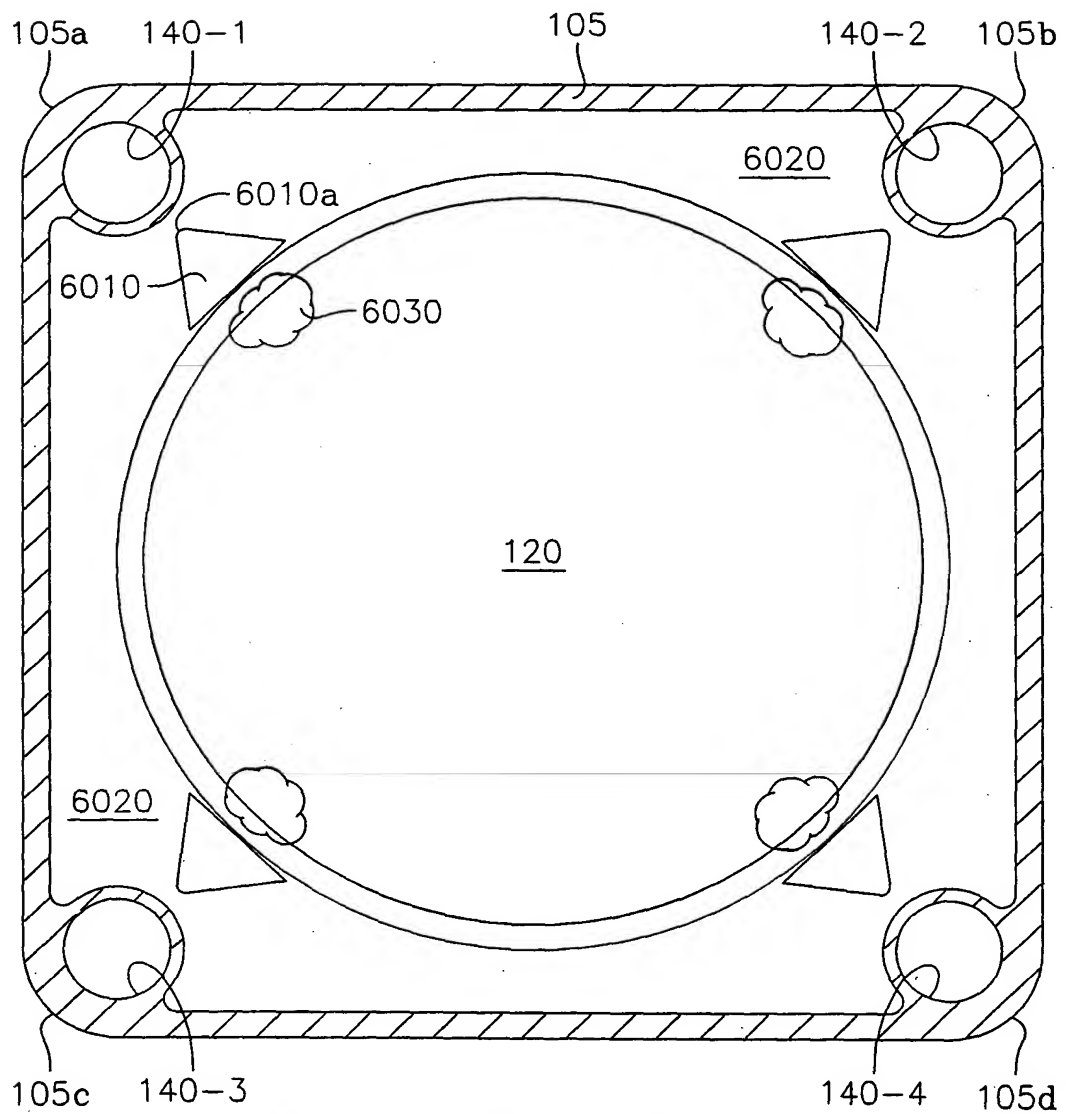


FIG. 62

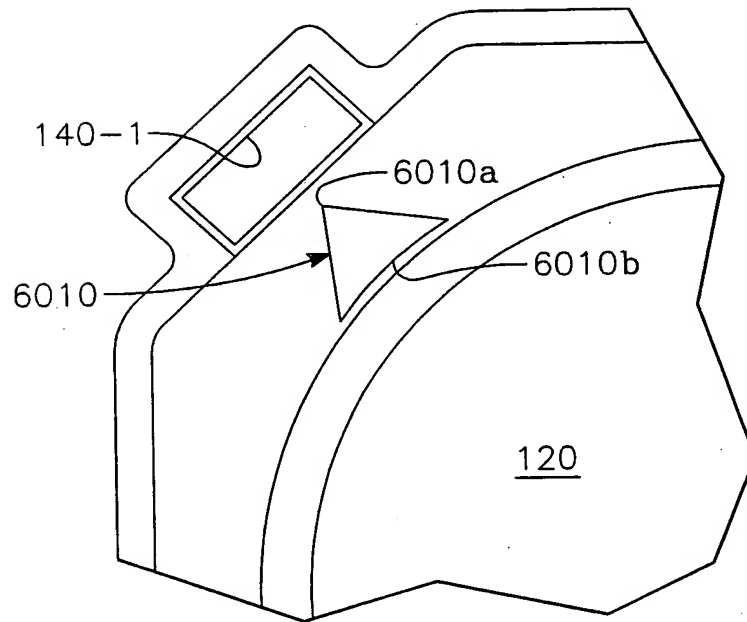


FIG. 63

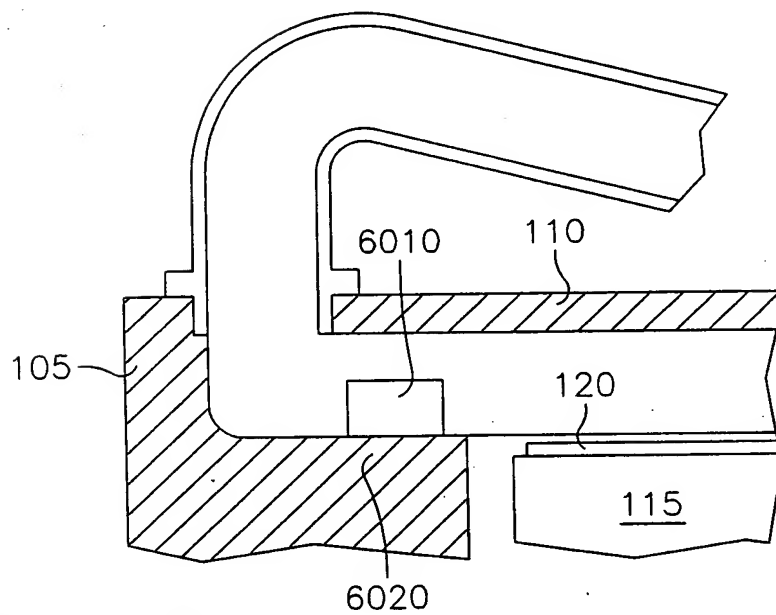


FIG. 64

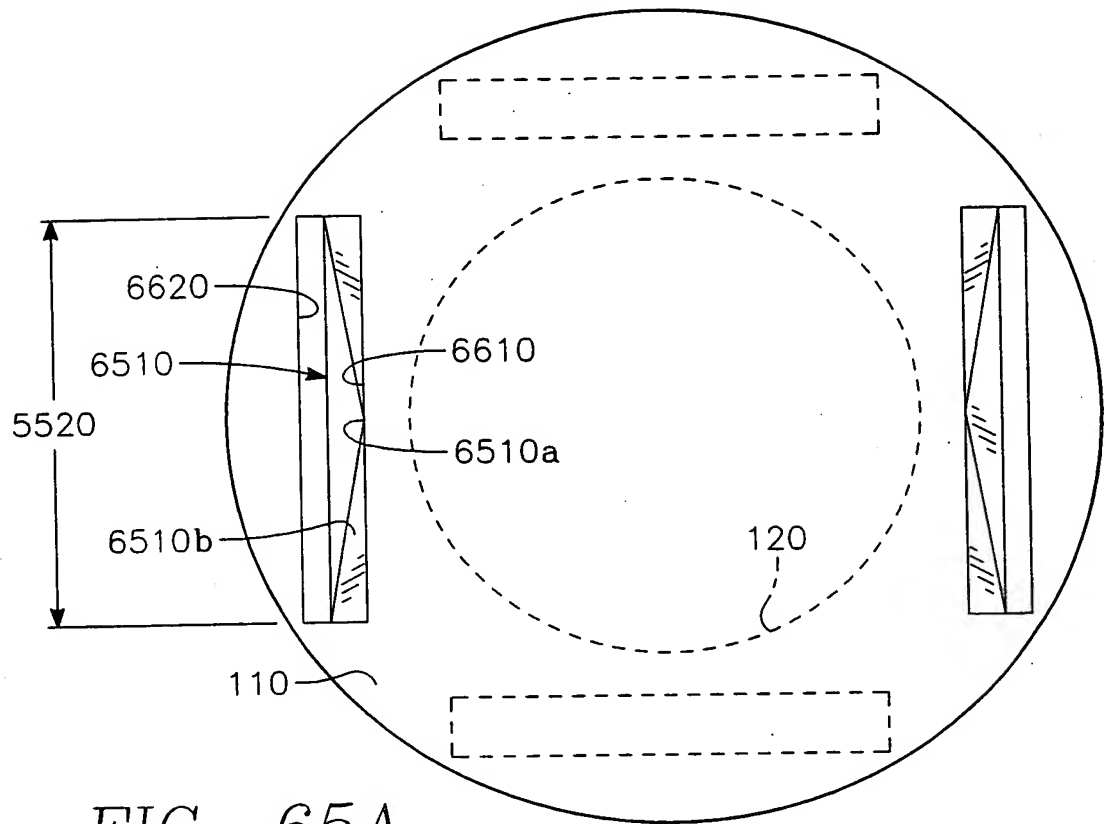


FIG. 65A

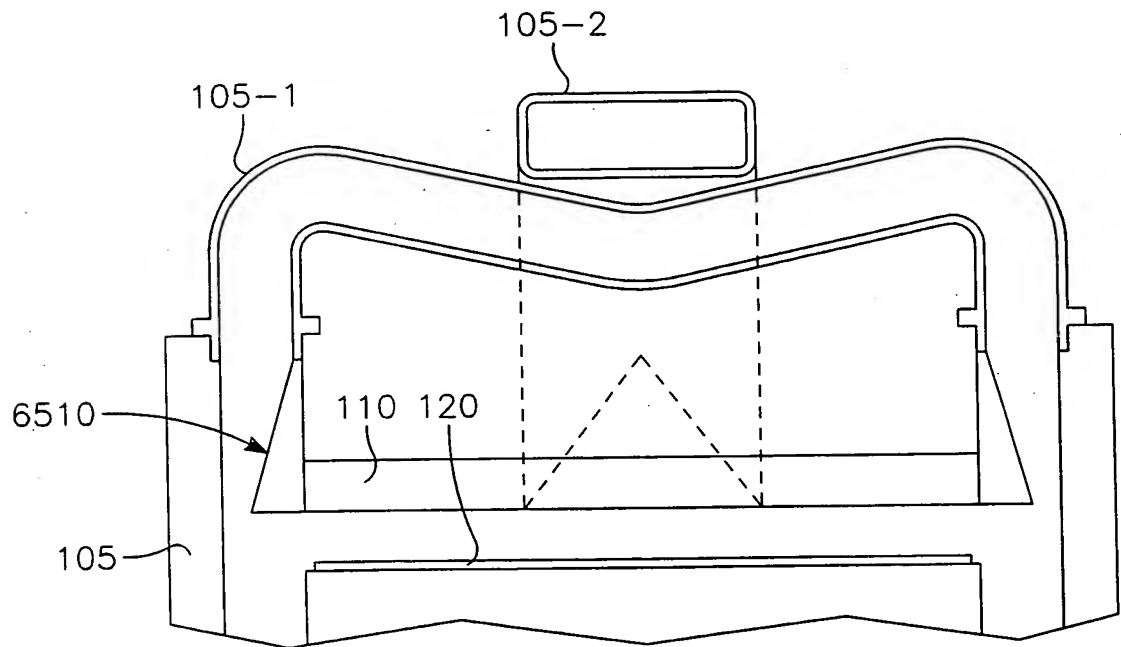


FIG. 65B

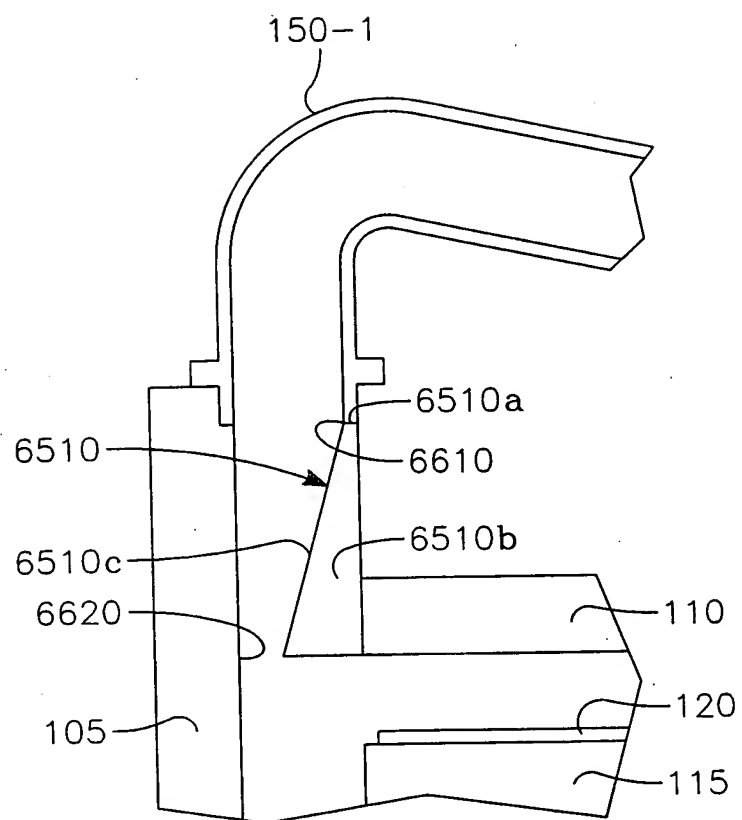


FIG. 66

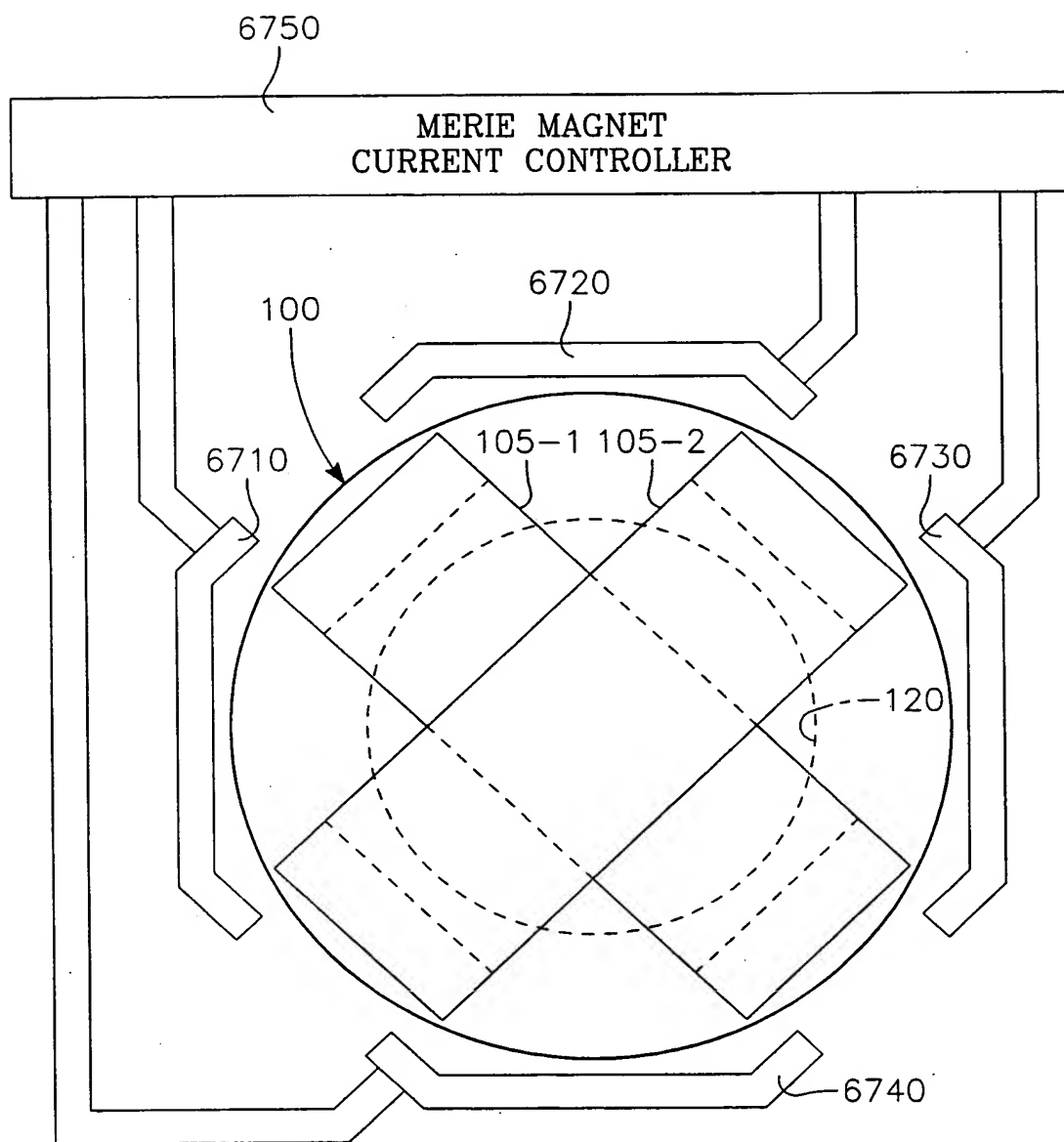


FIG. 67

54/85

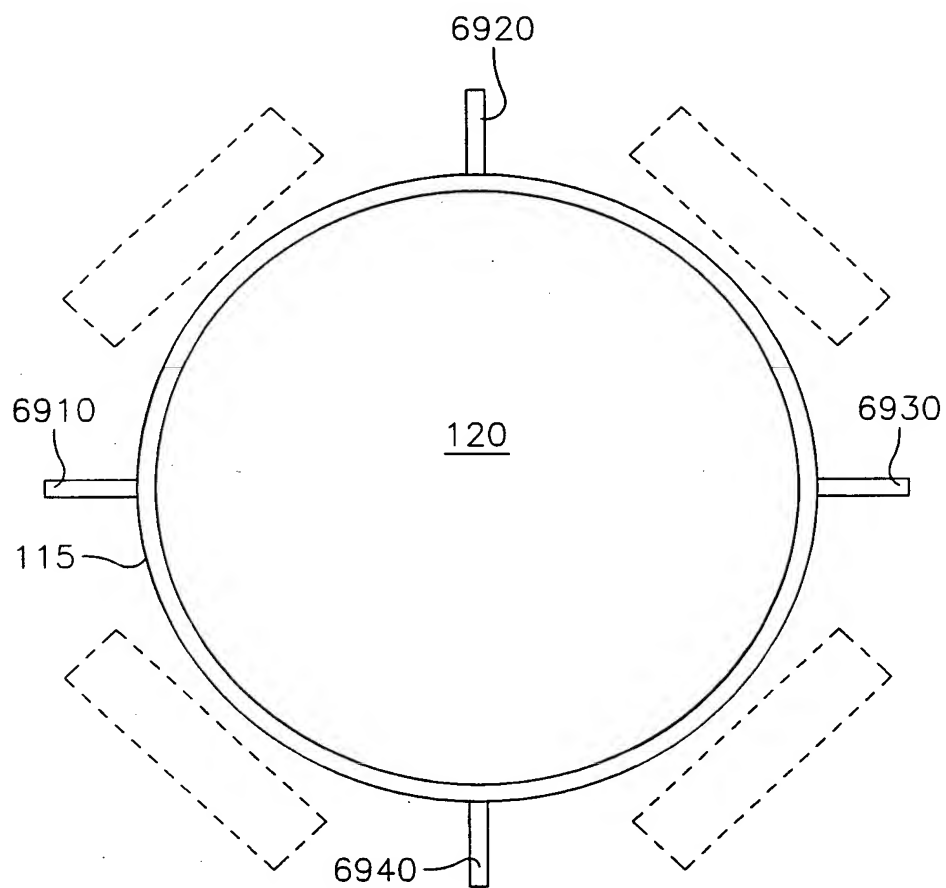


FIG. 68

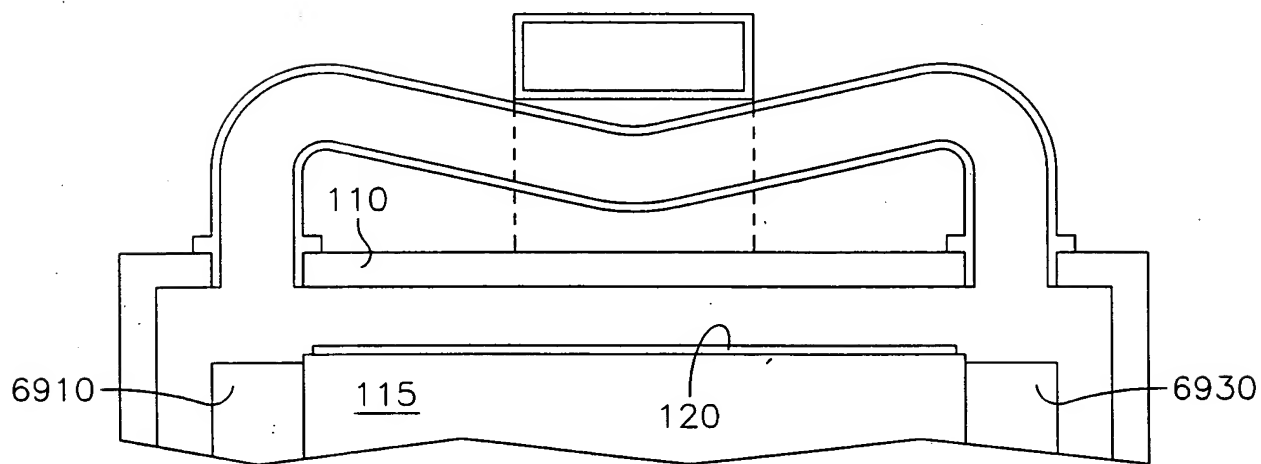
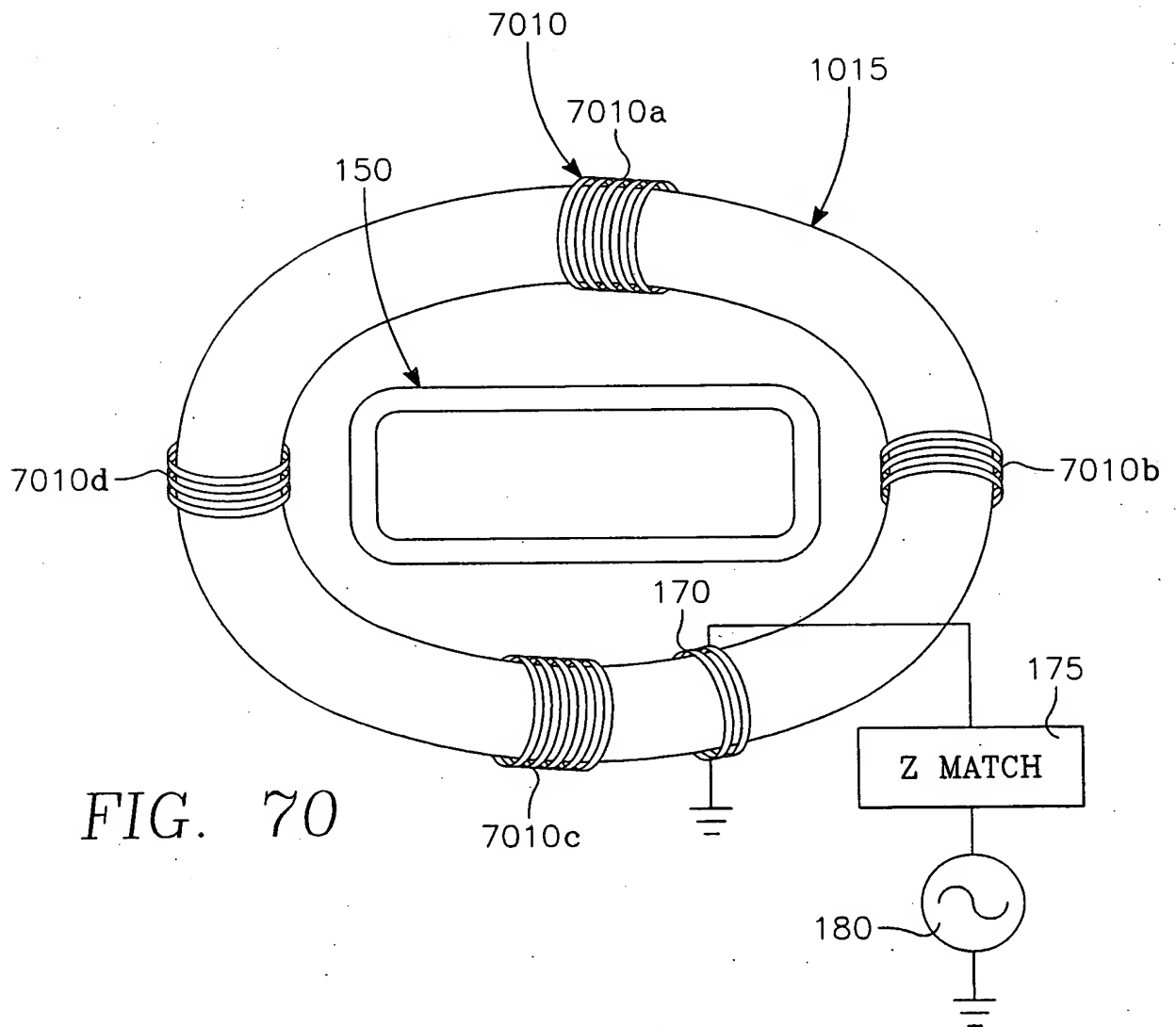


FIG. 69



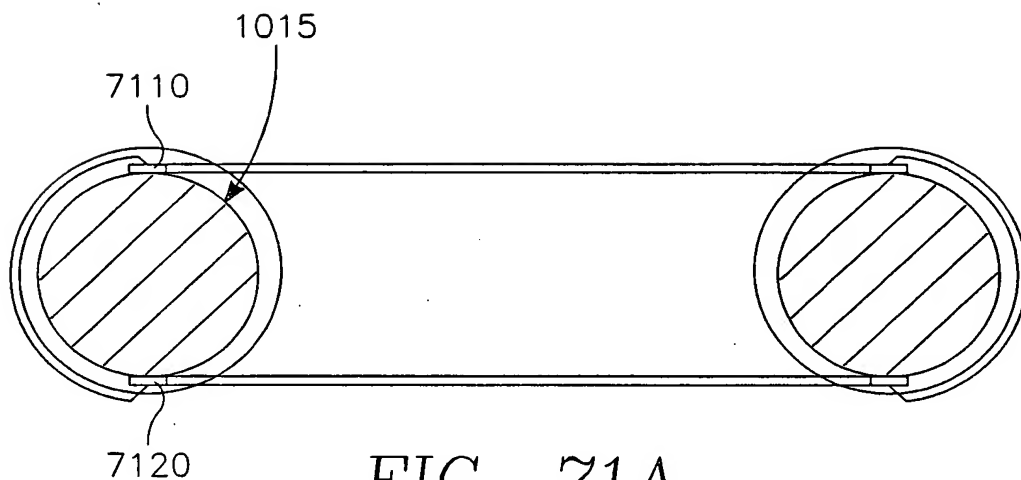


FIG. 71A

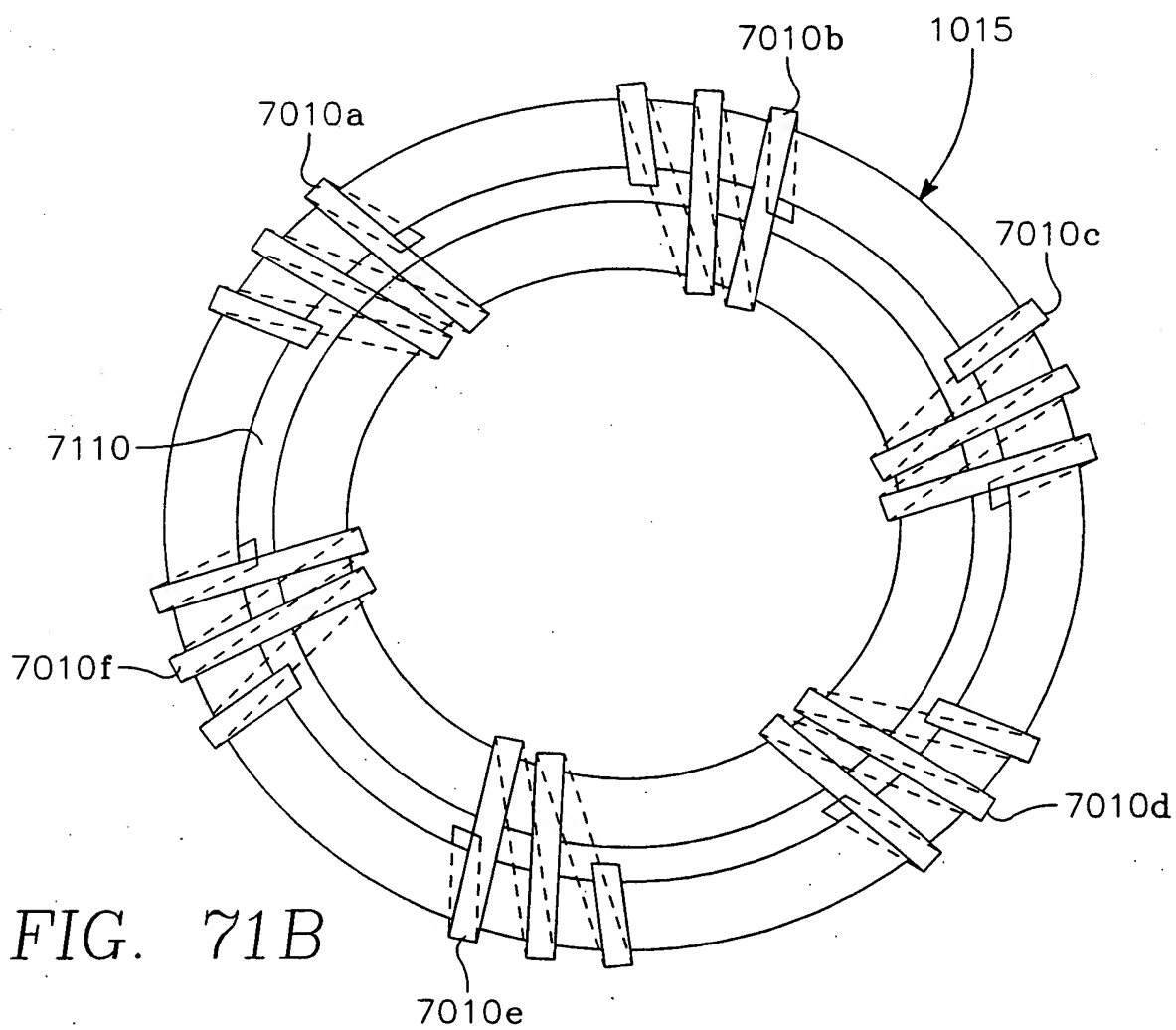


FIG. 71B



57/85

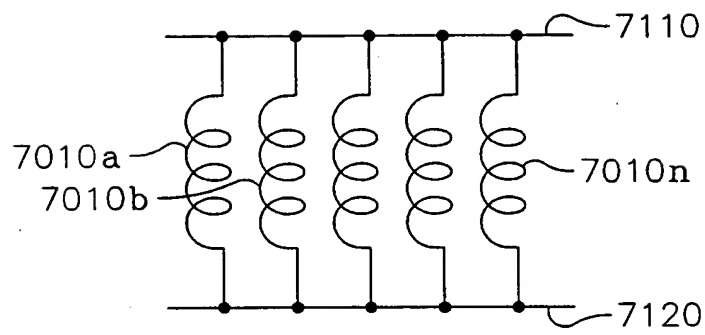


FIG. 72

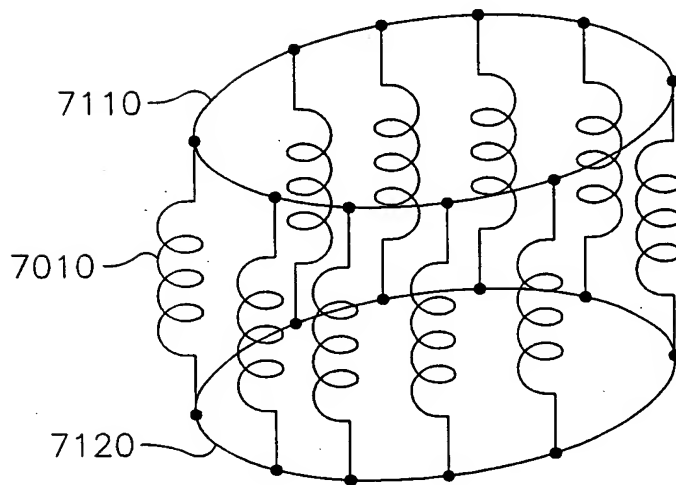


FIG. 73

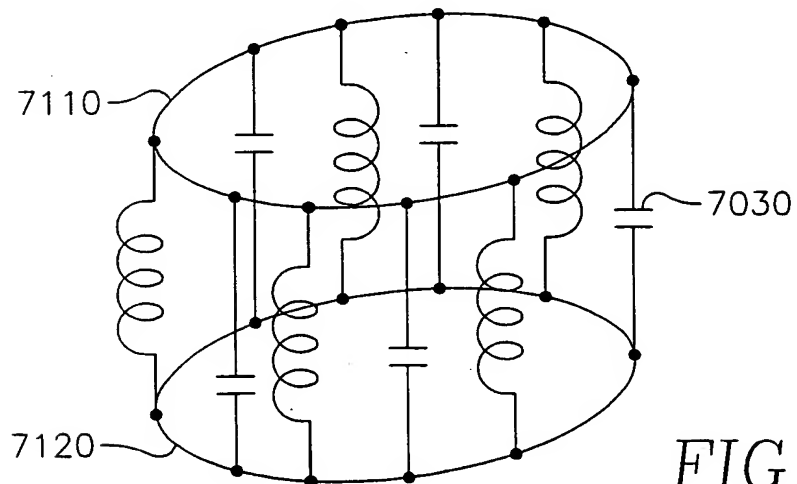


FIG. 74

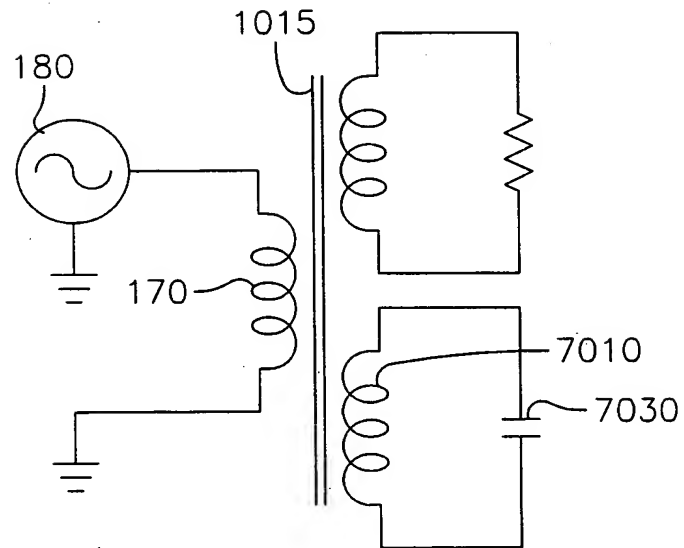


FIG. 75

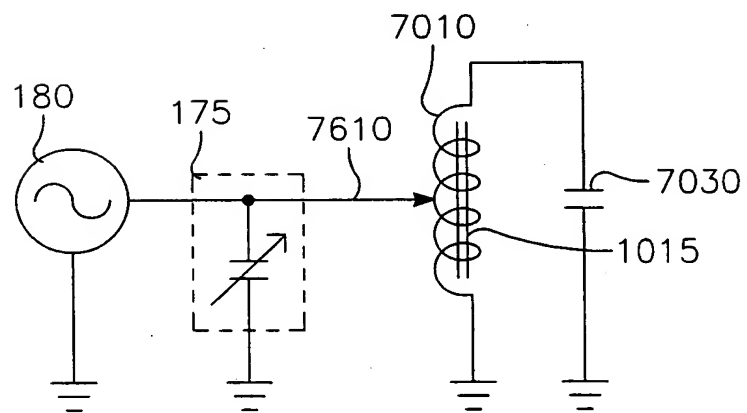


FIG. 76



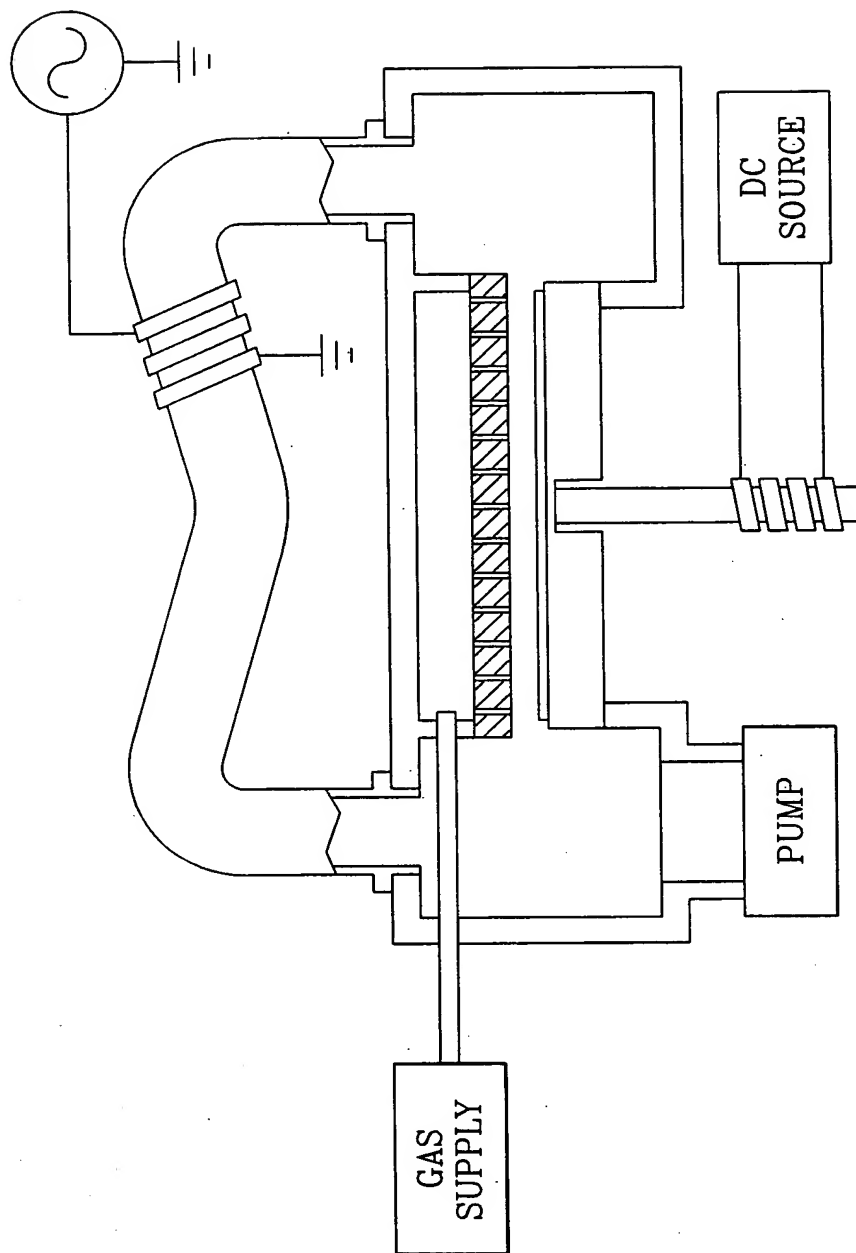


FIG. 78

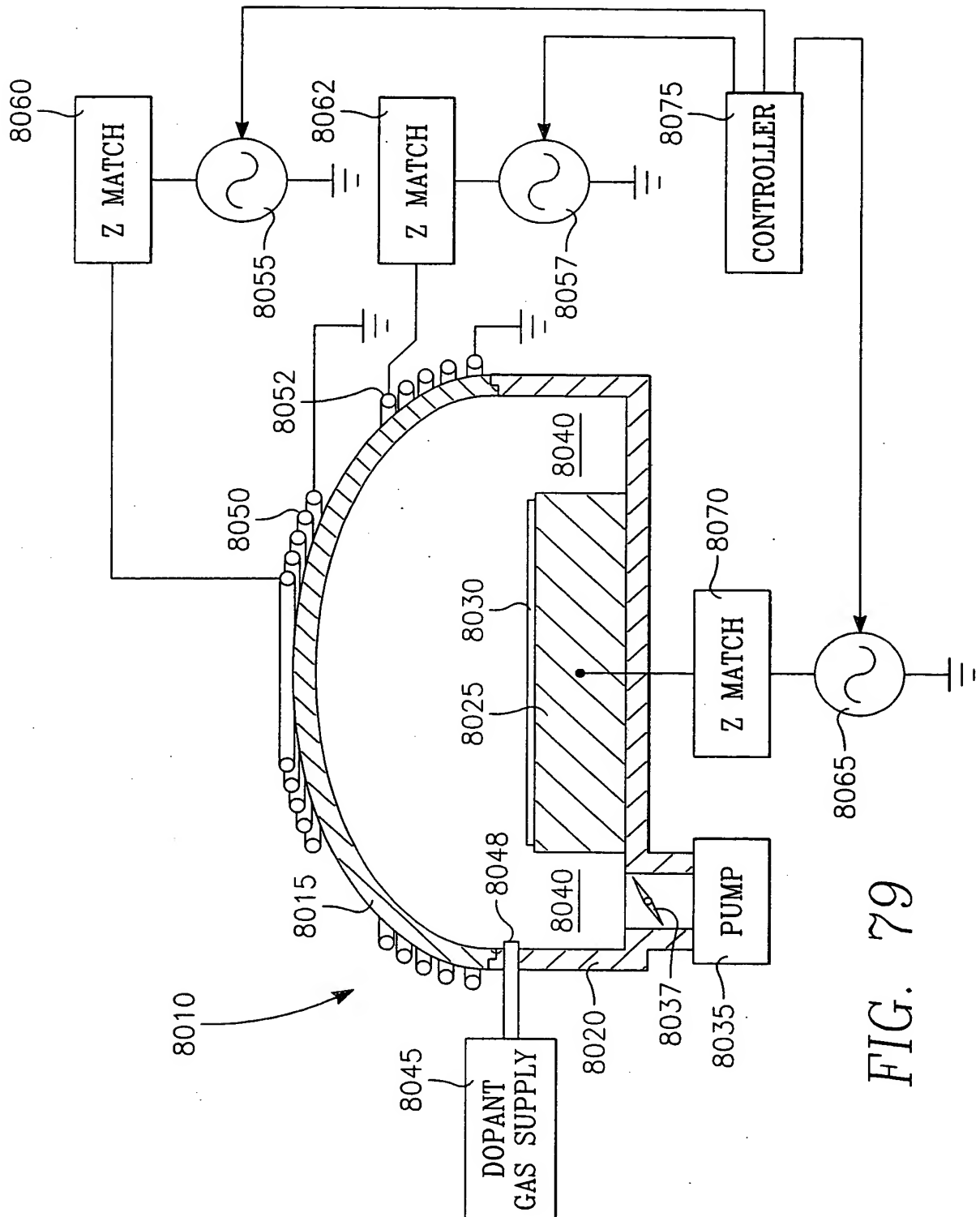


FIG. 79

62/85

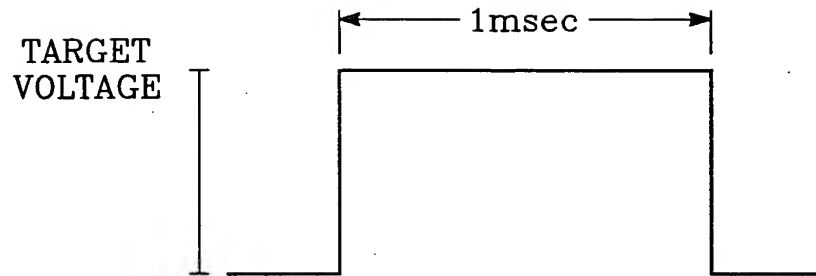


FIG. 80A

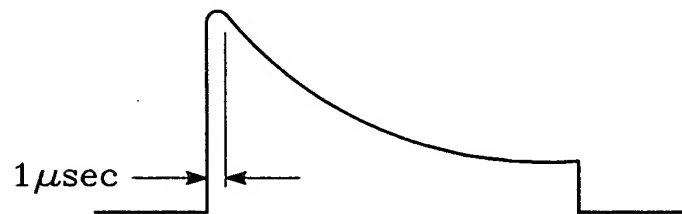


FIG. 80B

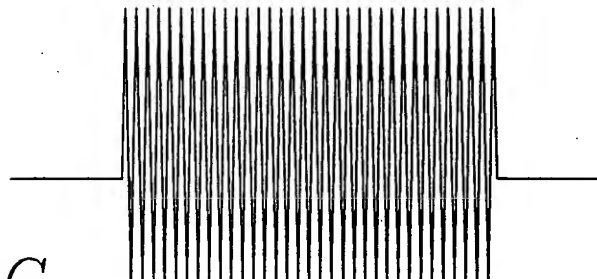
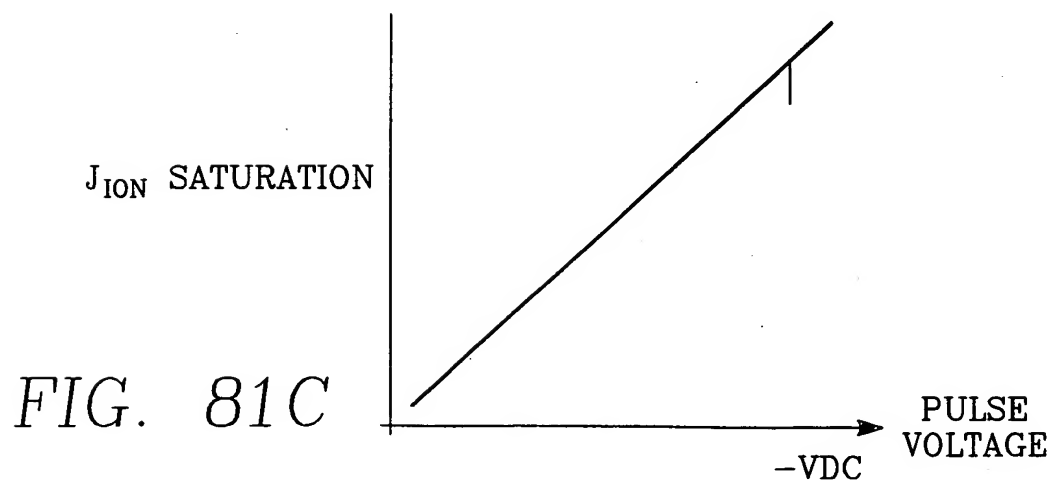
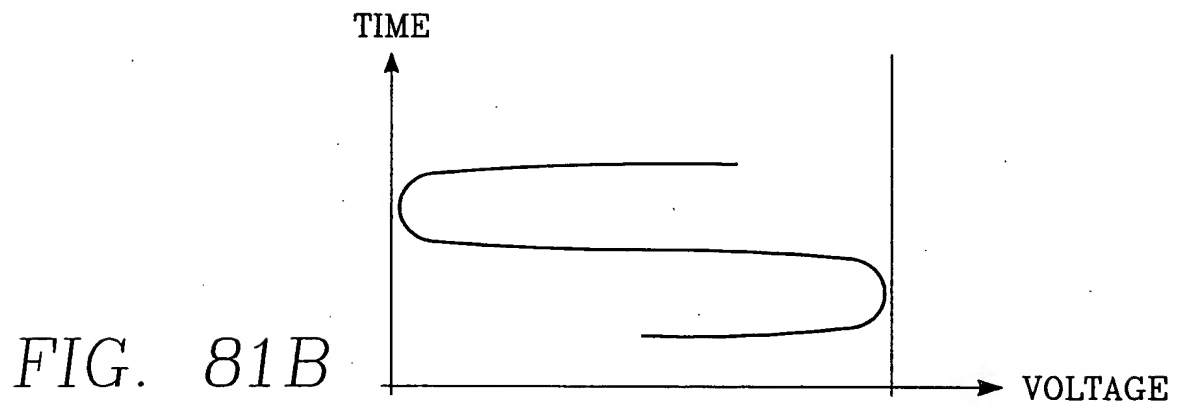
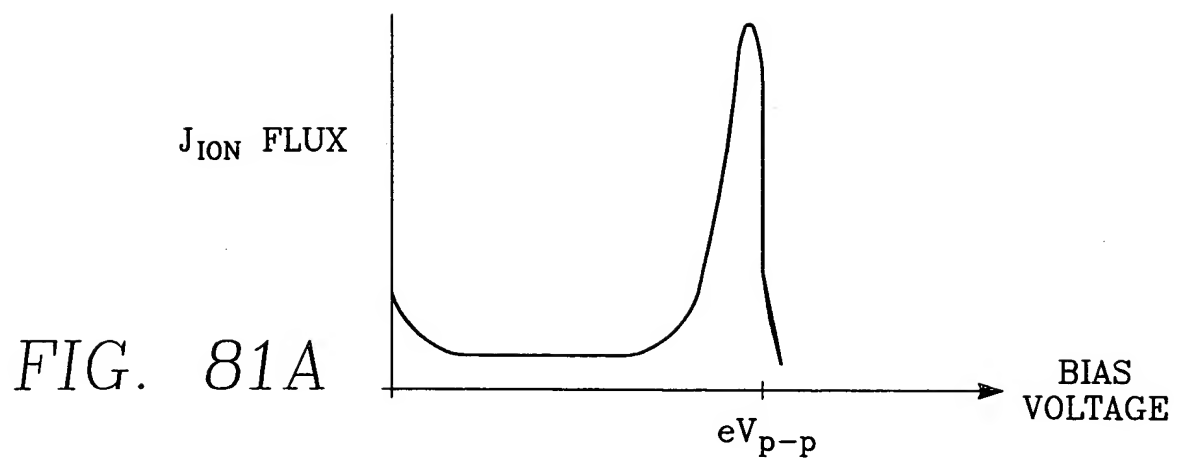


FIG. 80C

63/85



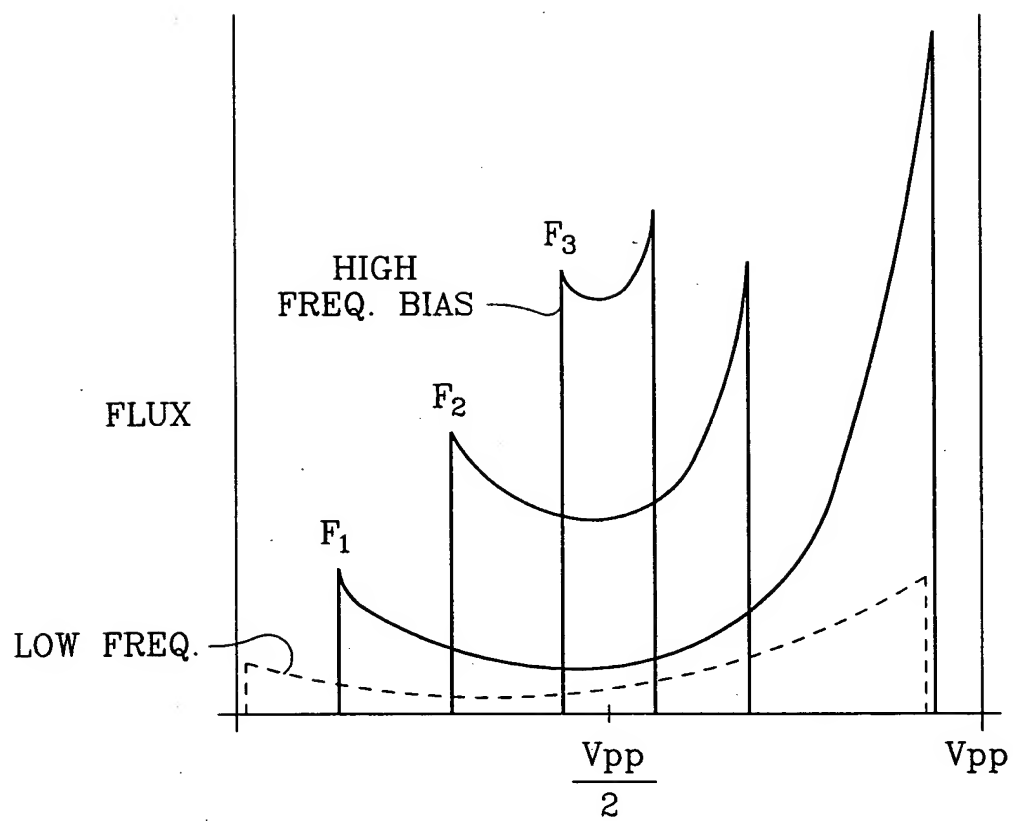


FIG. 81D



FIG. 82A  PUSH PULL

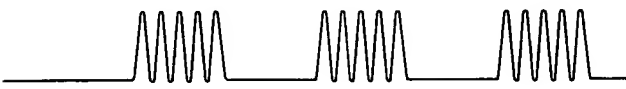
FIG. 82B  PUSH PULL


FIG. 82C  IN SYNC


FIG. 82D  IN SYNC


FIG. 82E  SYMMETRIC

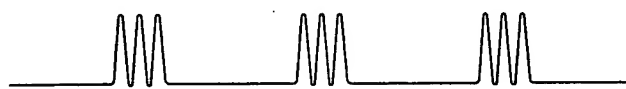
FIG. 82F  SYMMETRIC


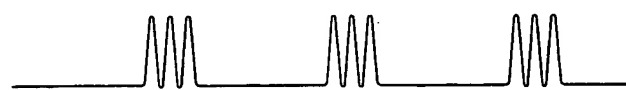
FIG. 82G  NON-SYMMETRIC

FIG. 82H  NON-SYMMETRIC

66/85

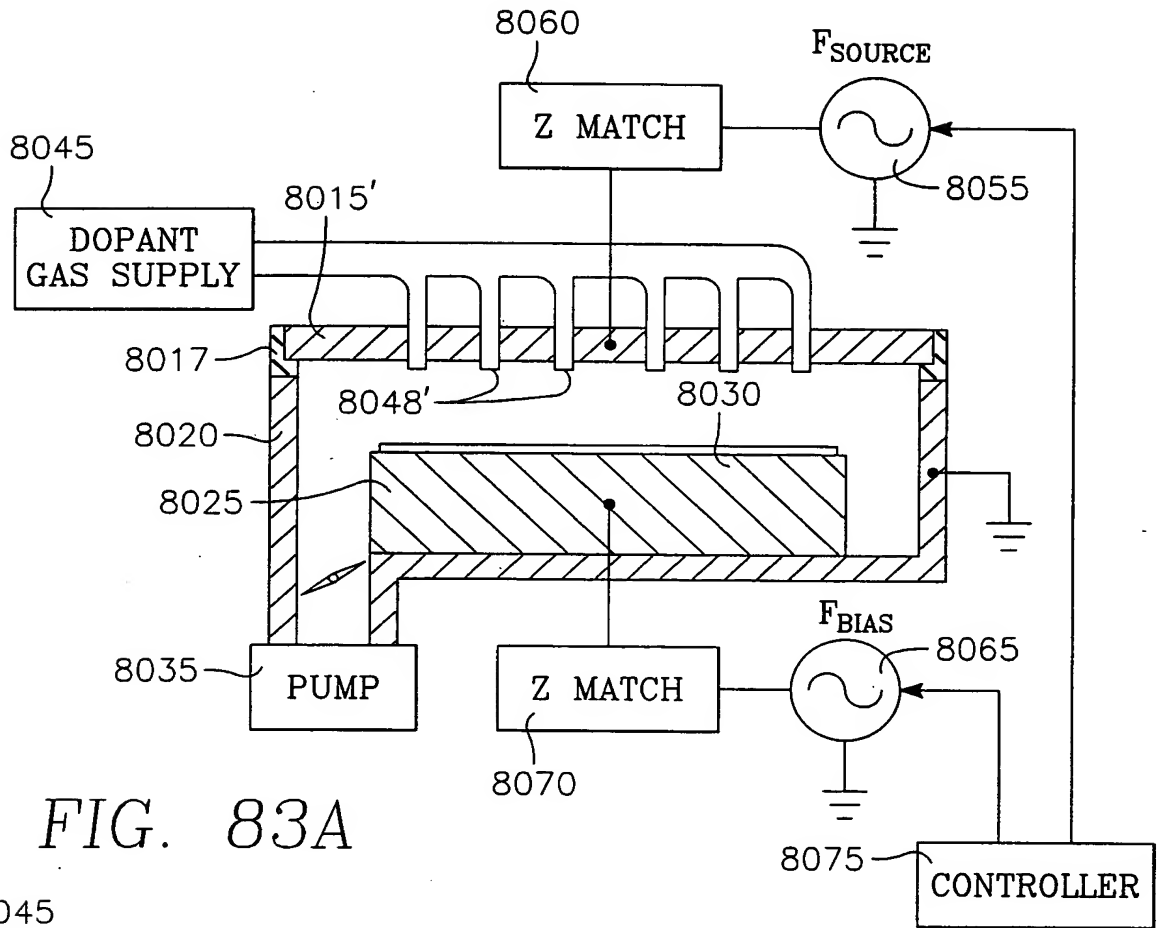


FIG. 83A

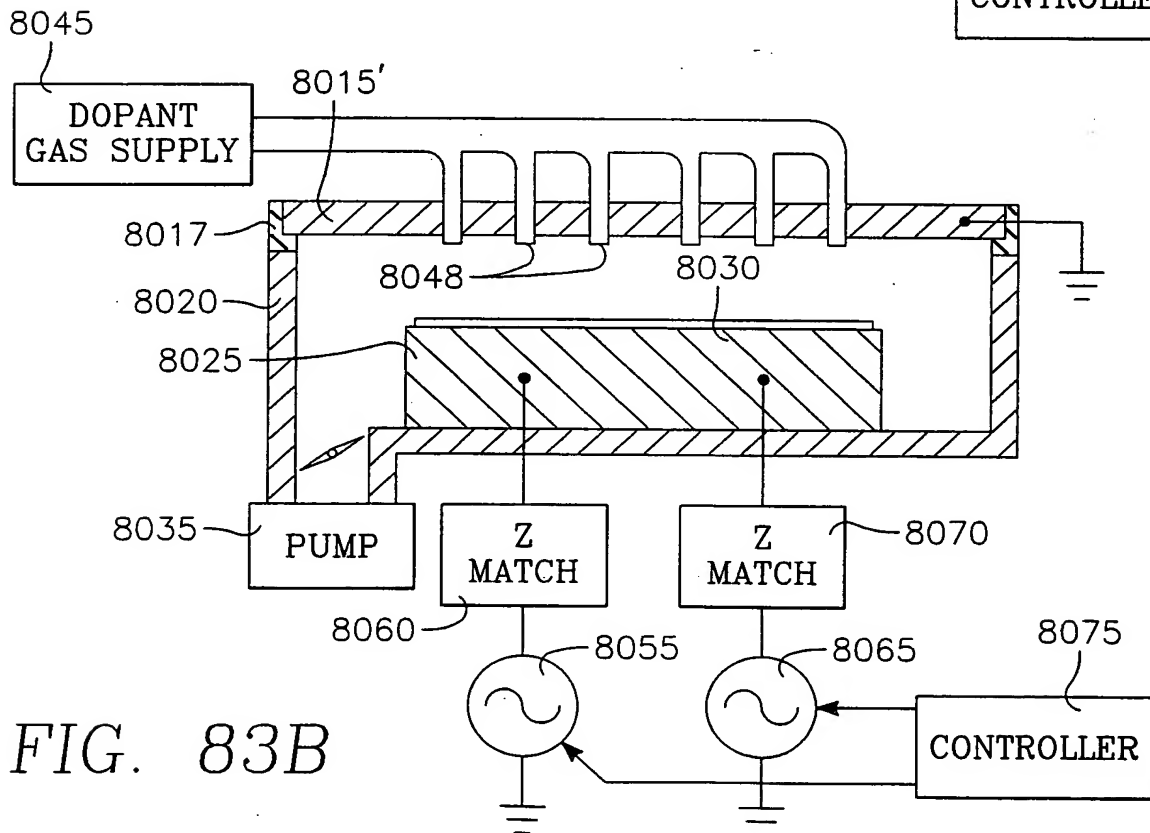


FIG. 83B

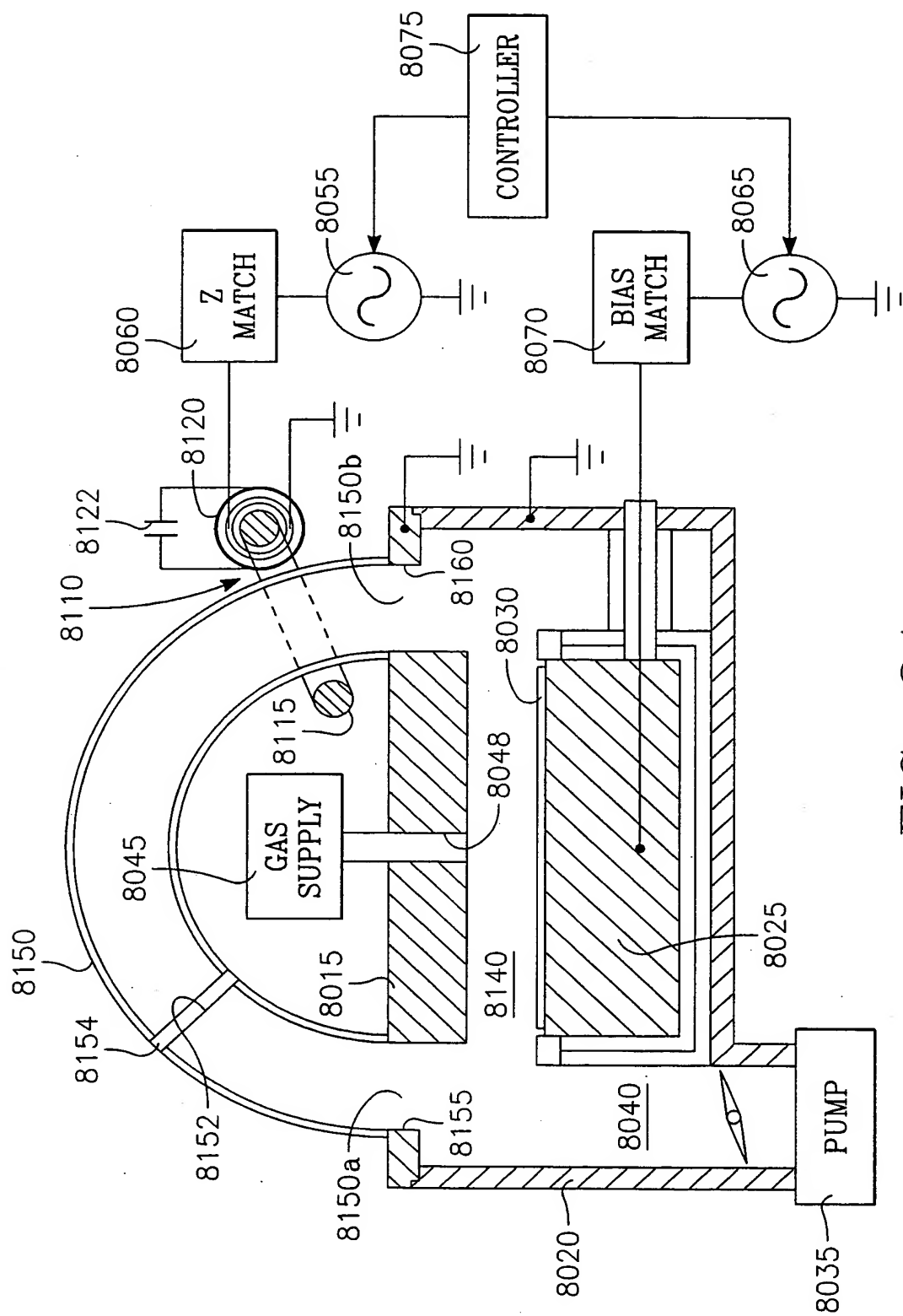


FIG. 84



69/85

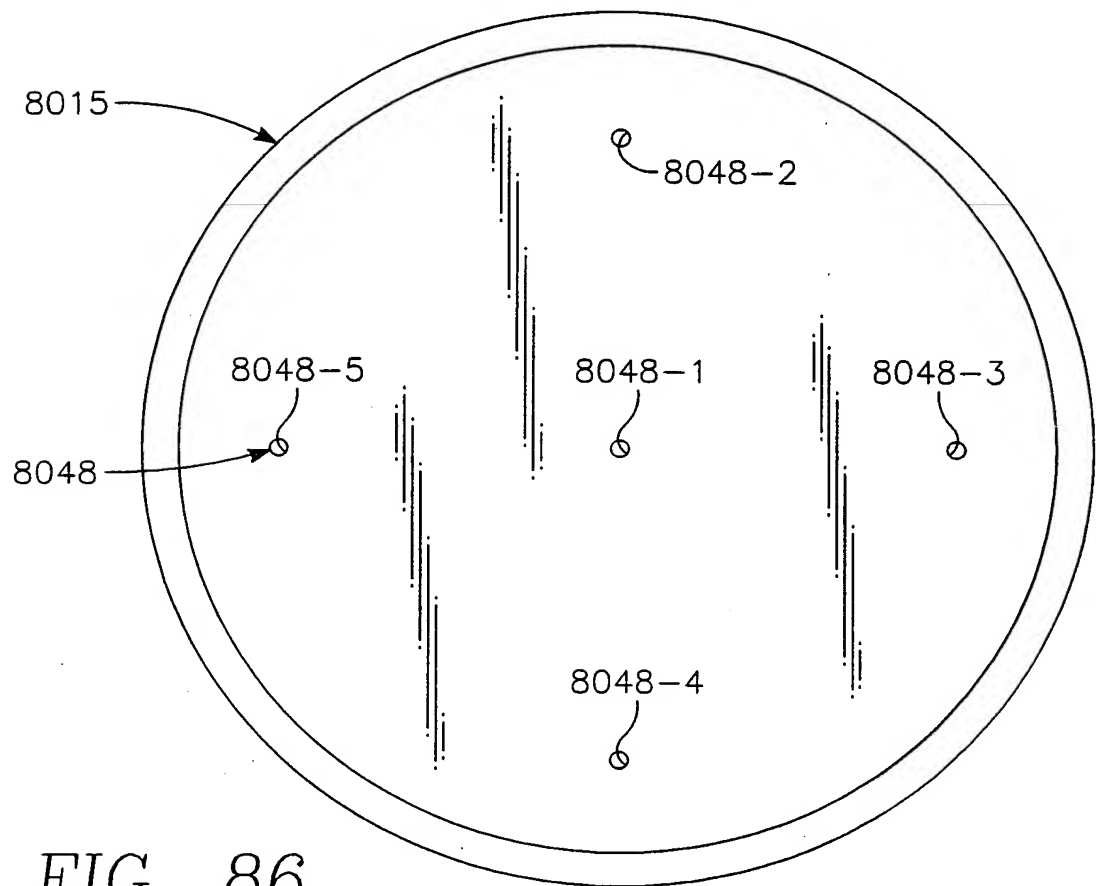


FIG. 86

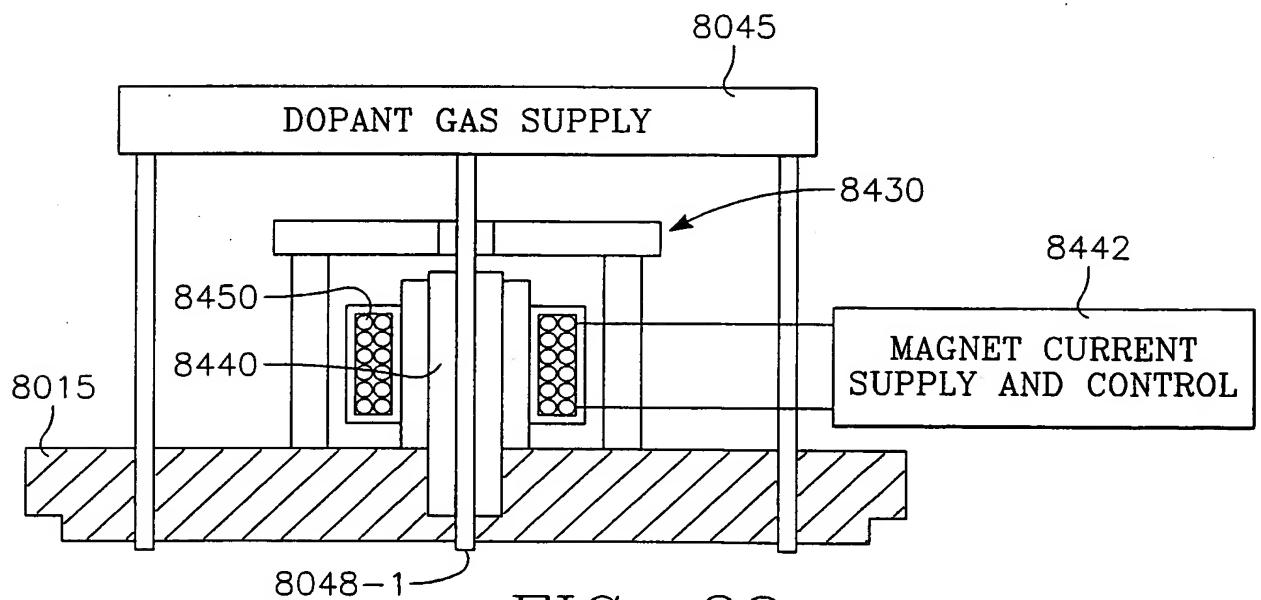


FIG. 88

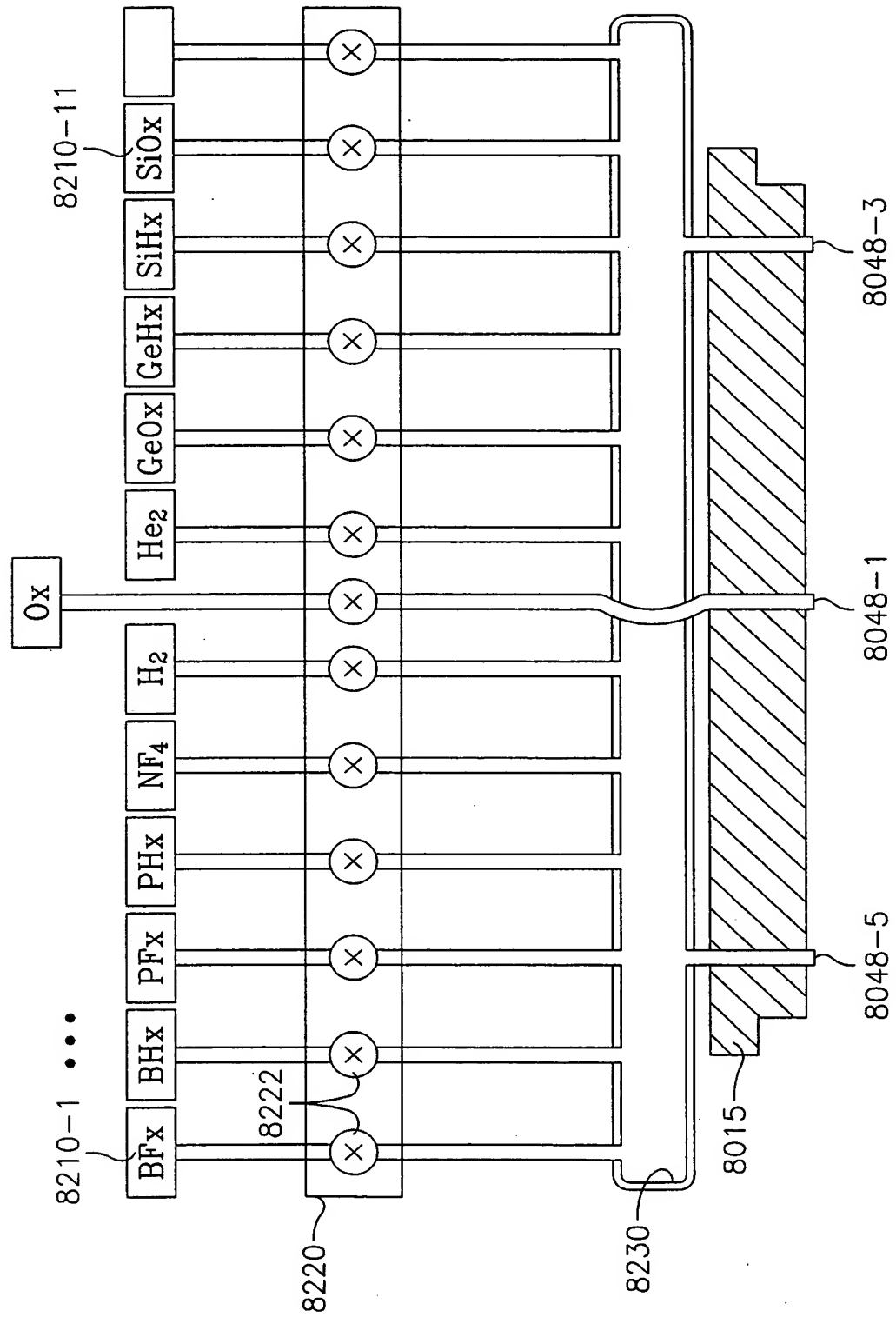


FIG. 87

71/85

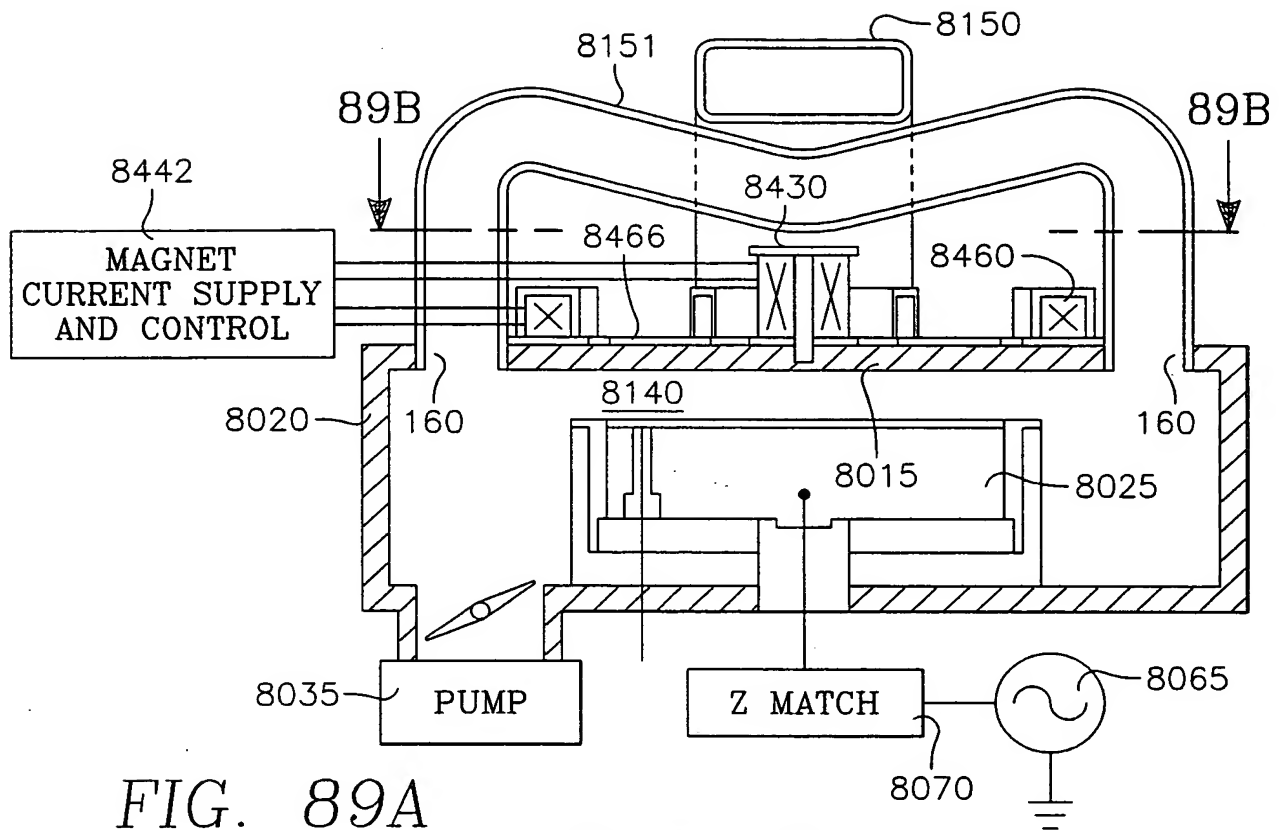


FIG. 89A

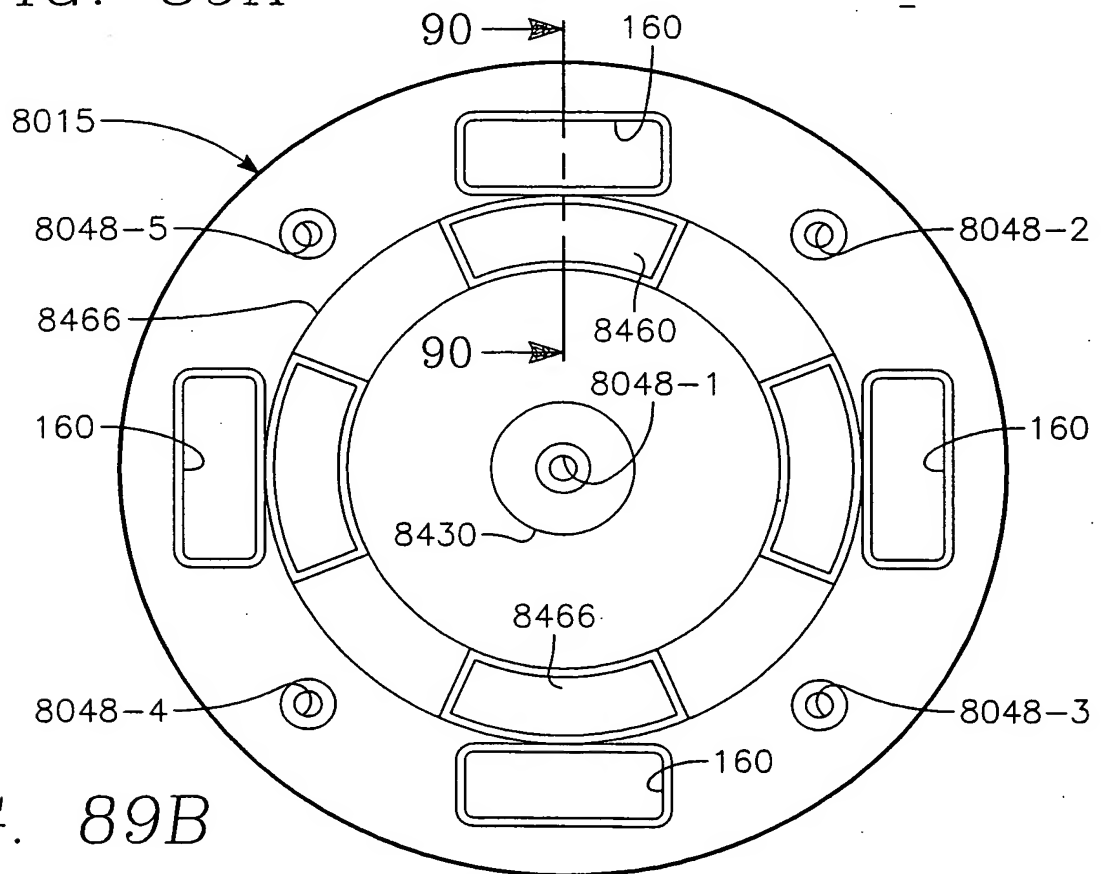


FIG. 89B

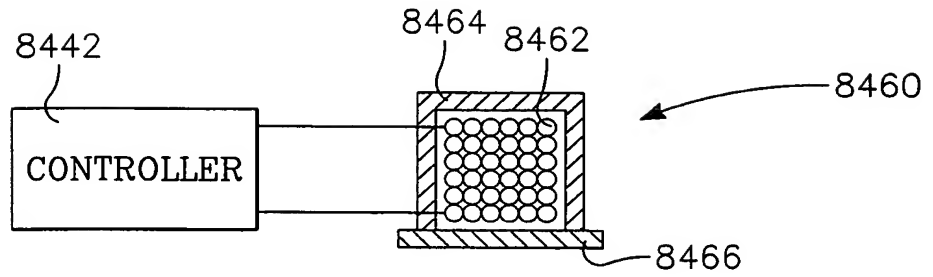


FIG. 90A

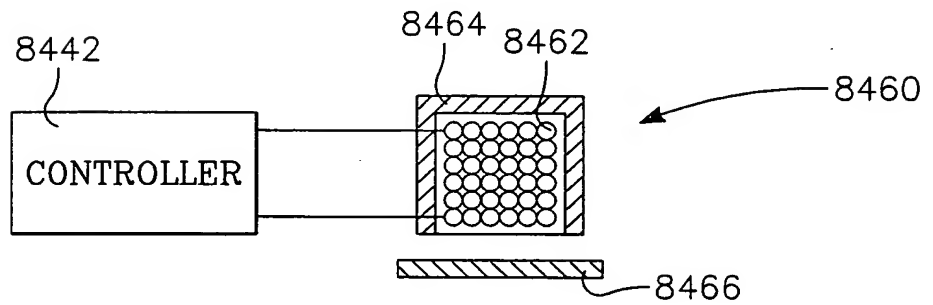


FIG. 90B

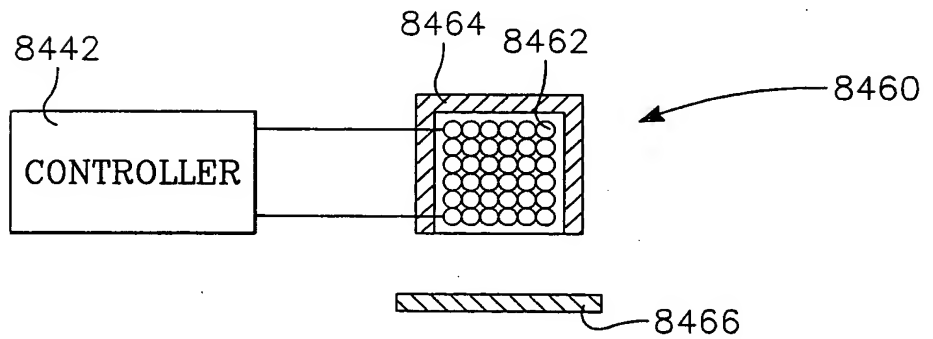


FIG. 90C



73/85

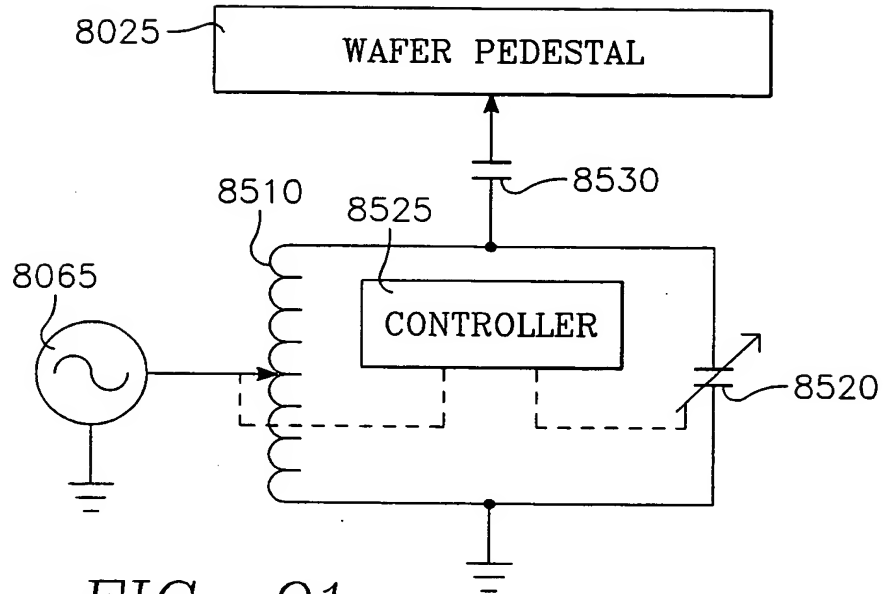


FIG. 91

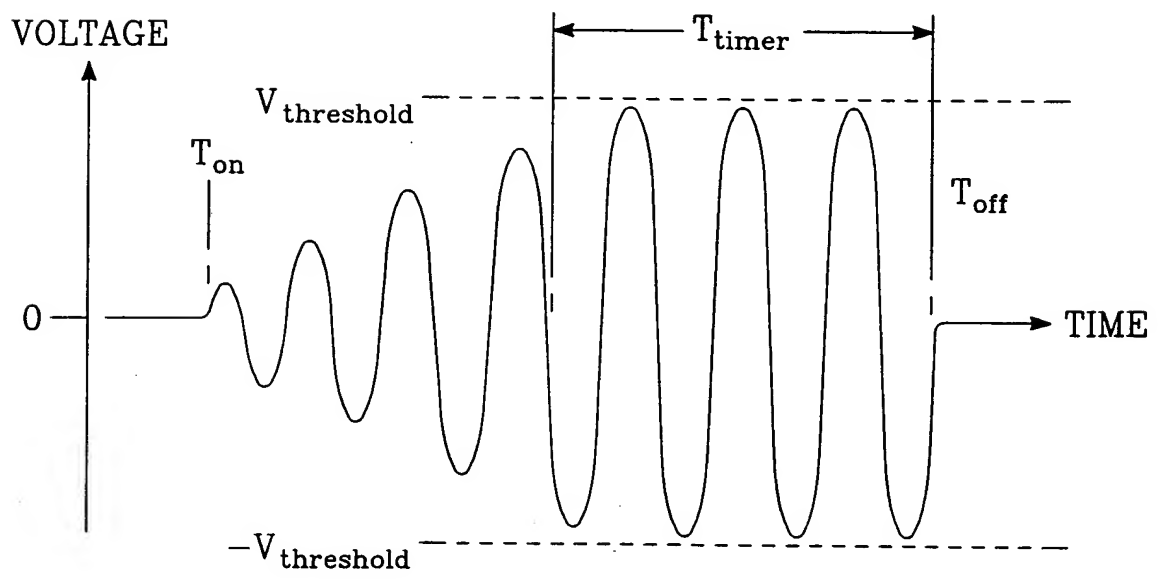


FIG. 92

74/85

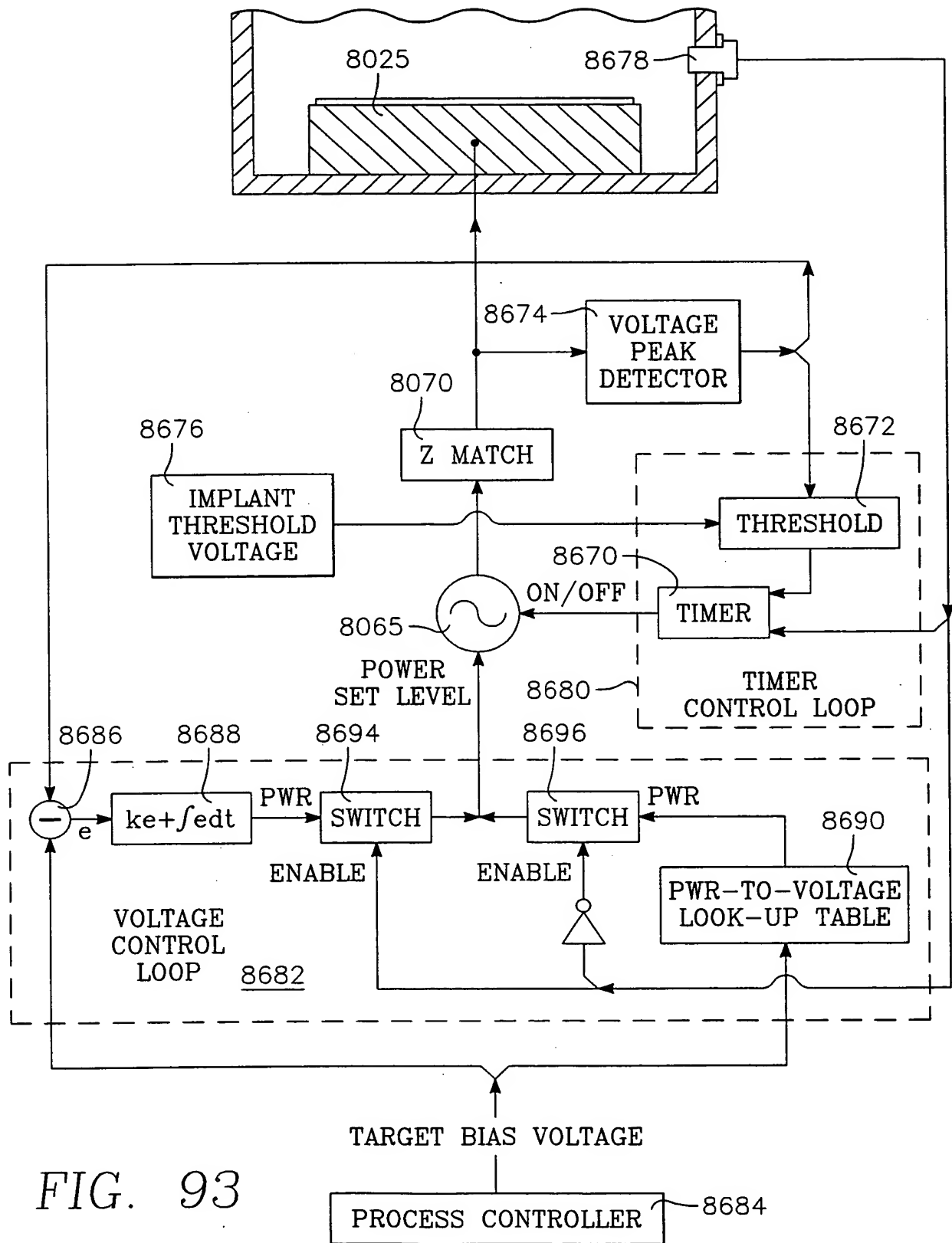


FIG. 93

75/85

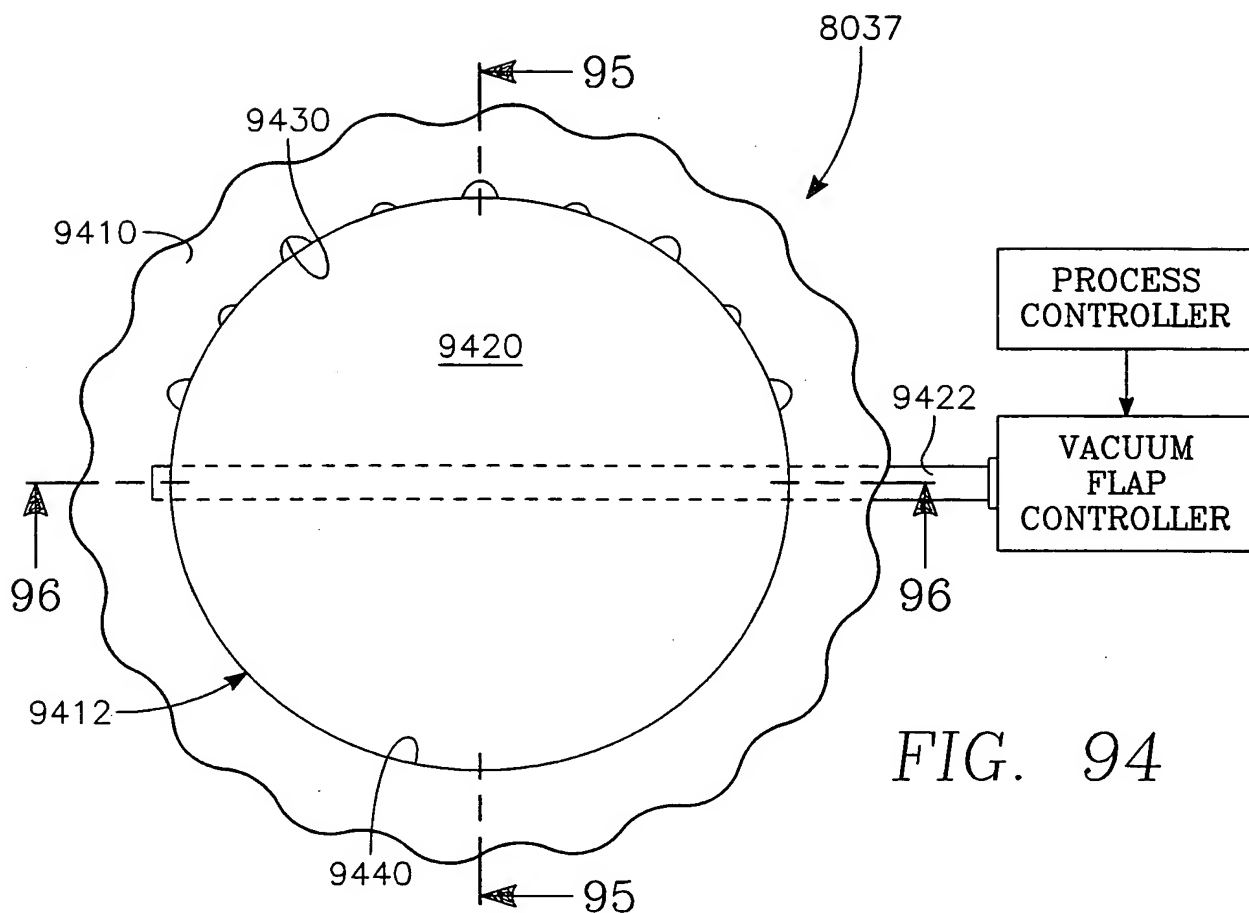


FIG. 94

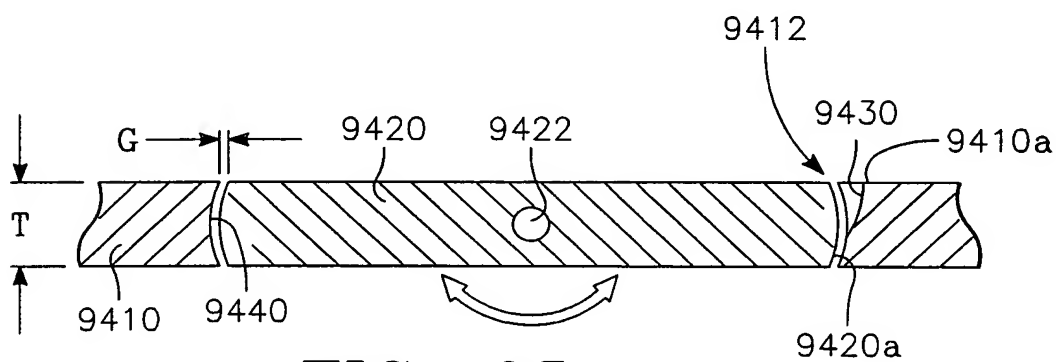


FIG. 95

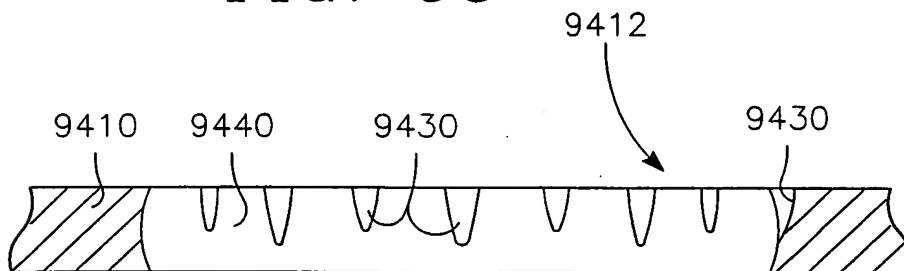


FIG. 96

76/85

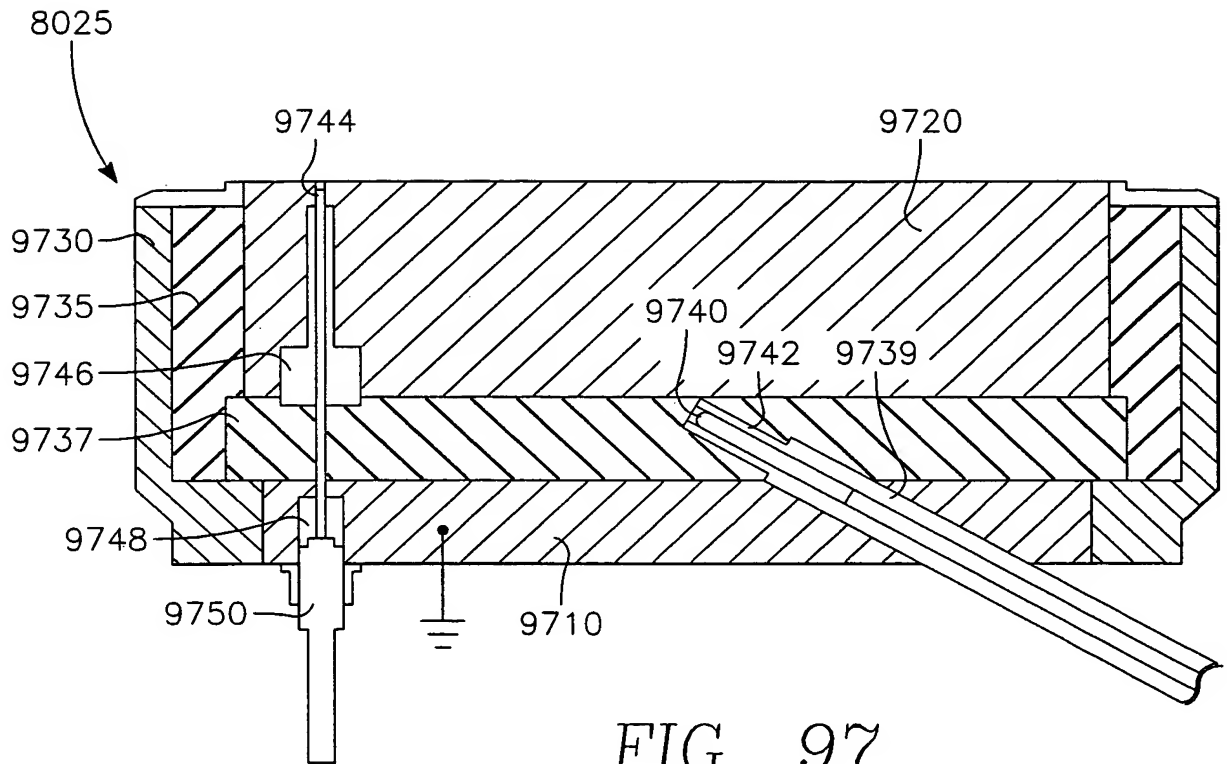


FIG. 97

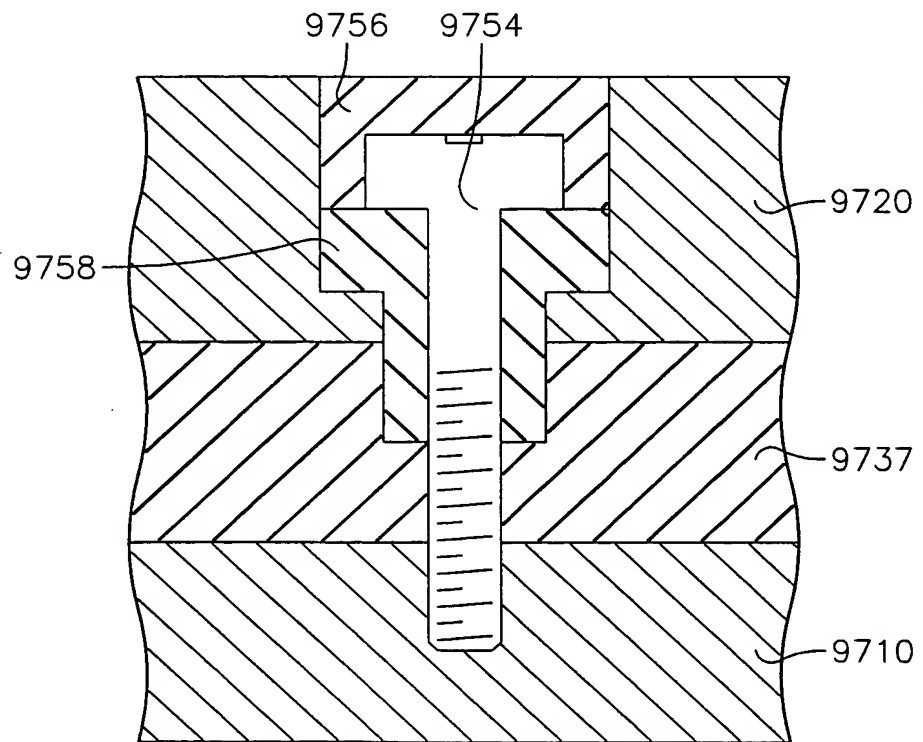


FIG. 98

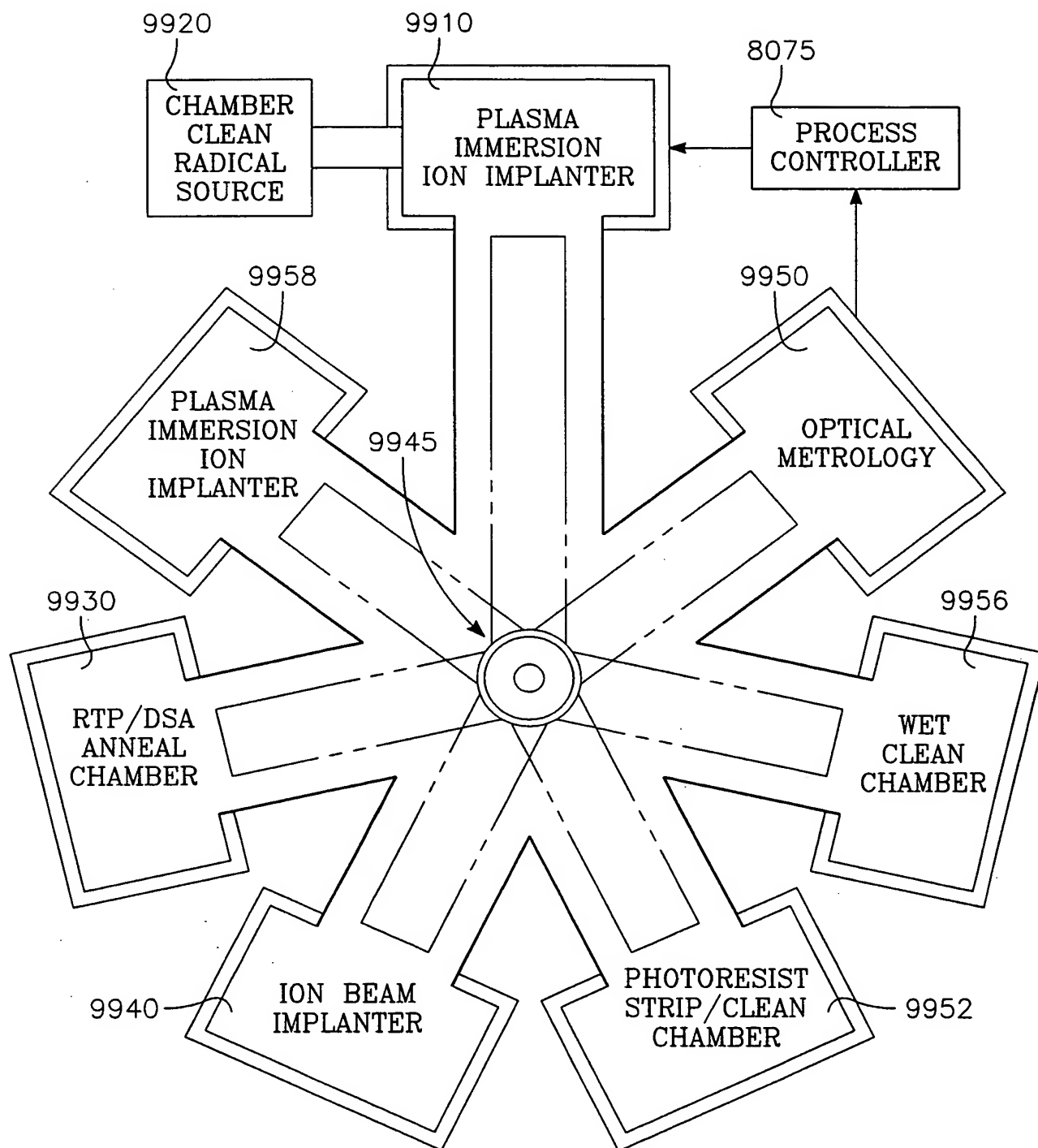
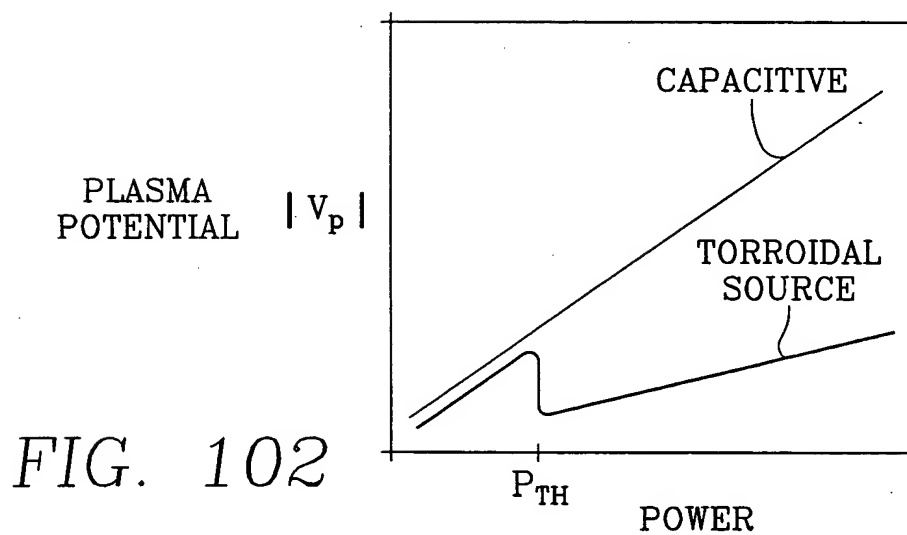
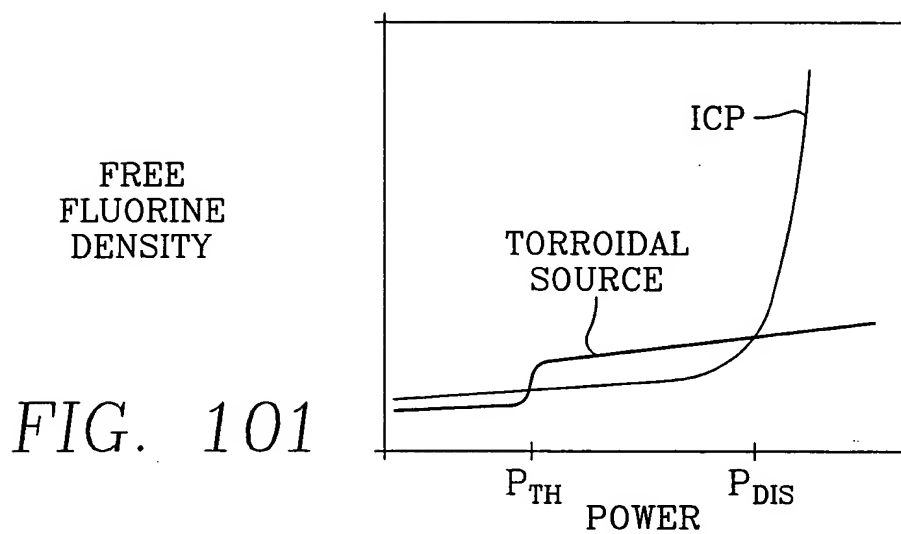
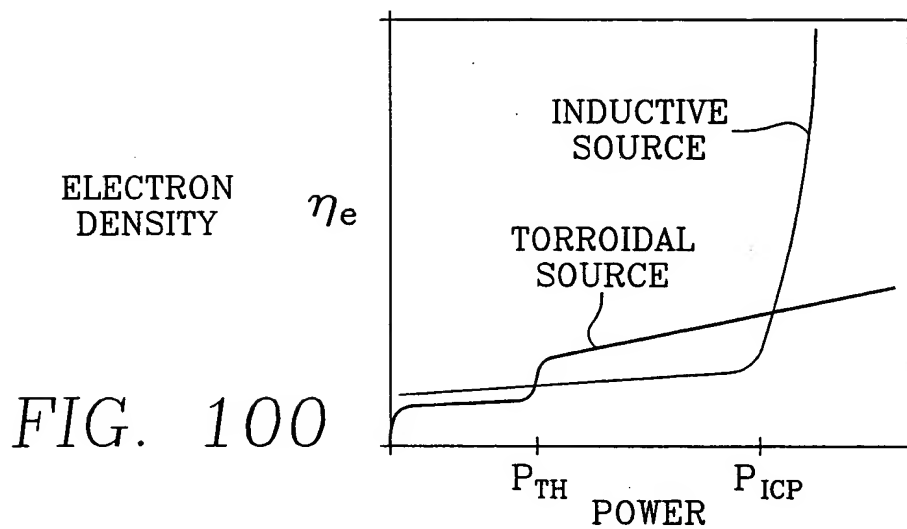


FIG. 99



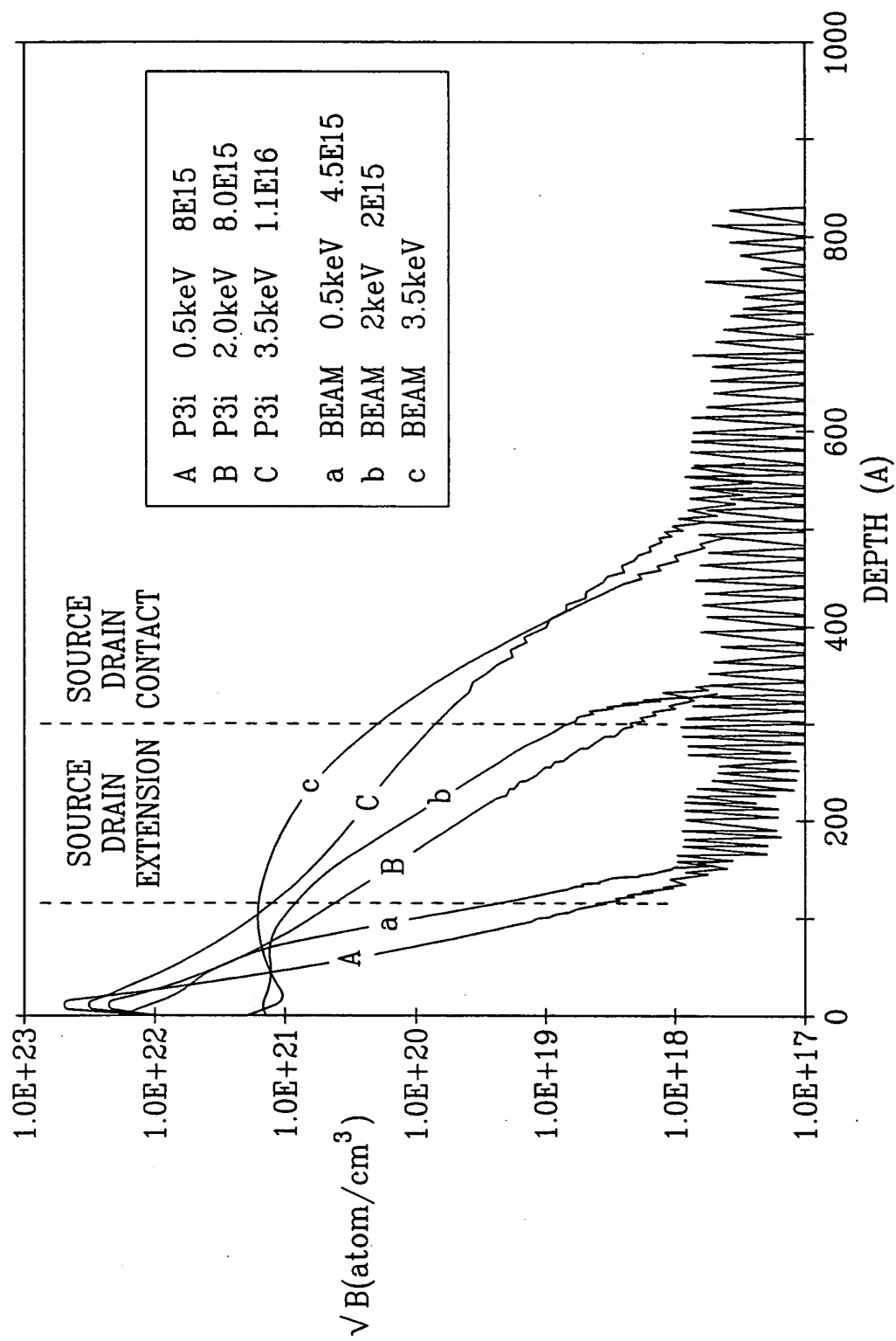
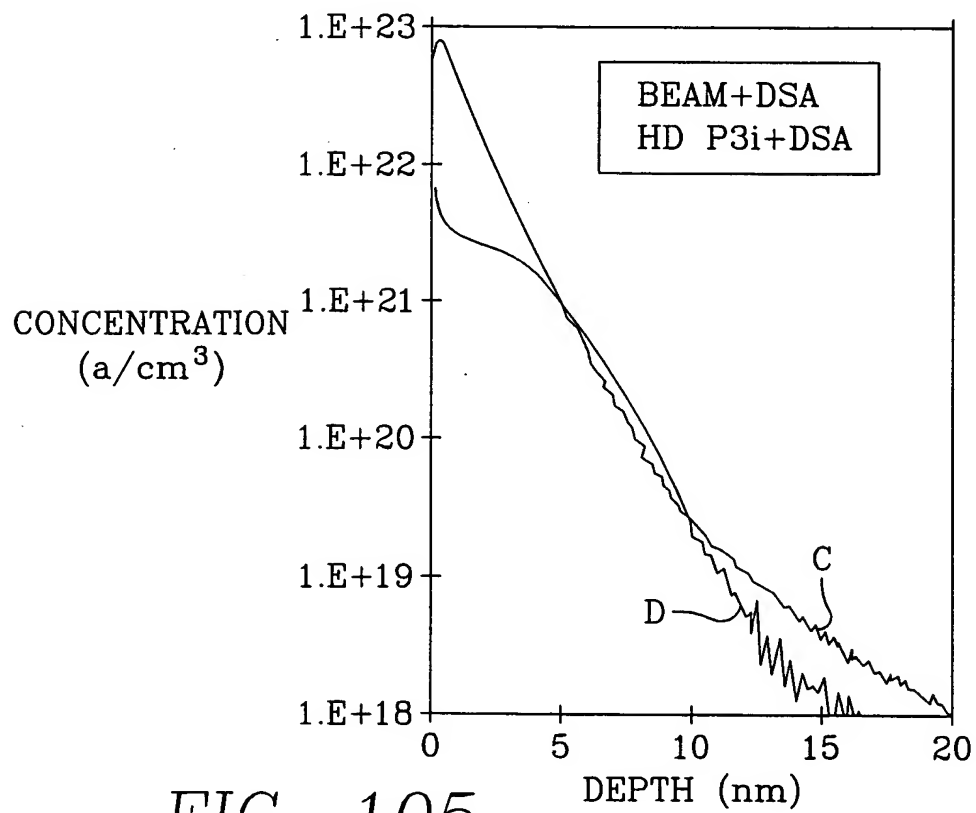
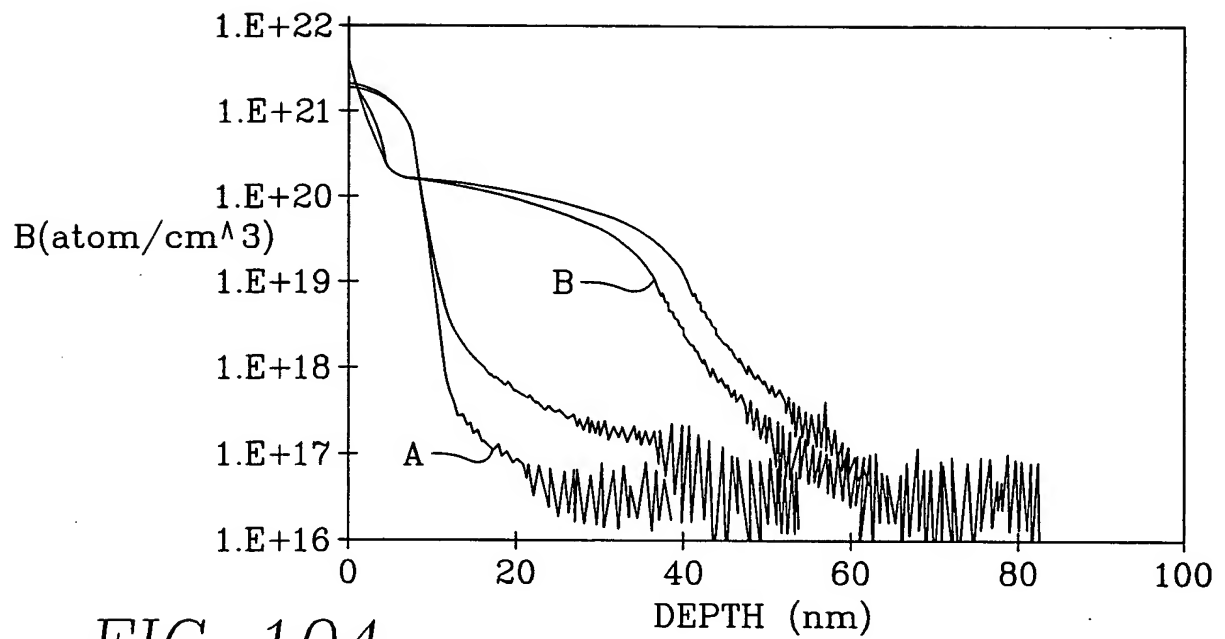


FIG. 103

80/85





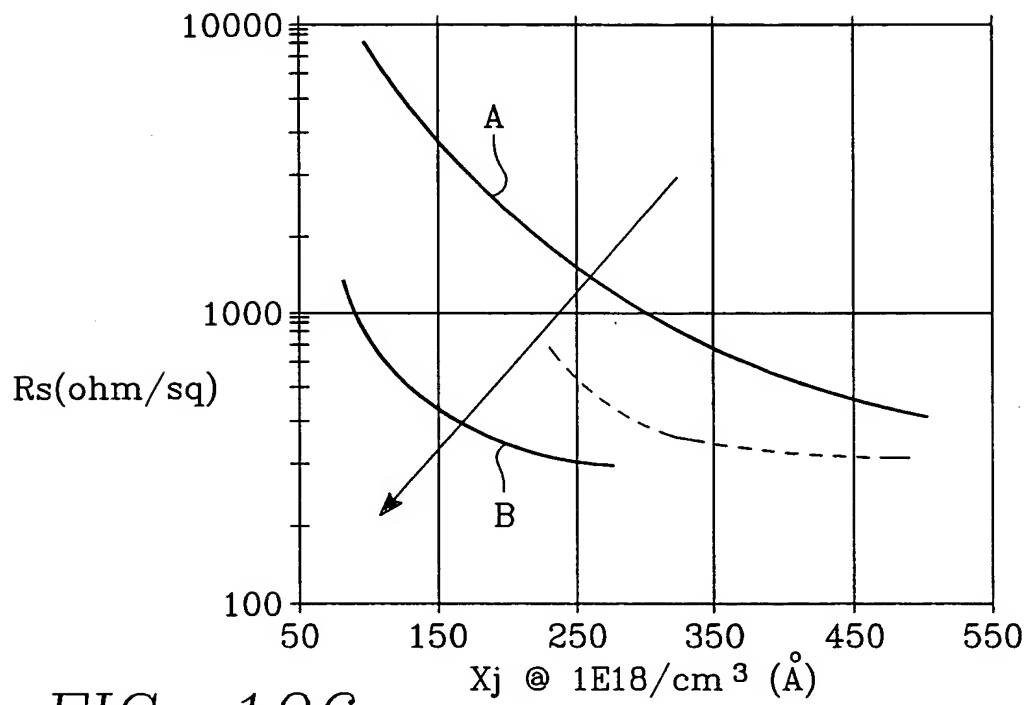


FIG. 106

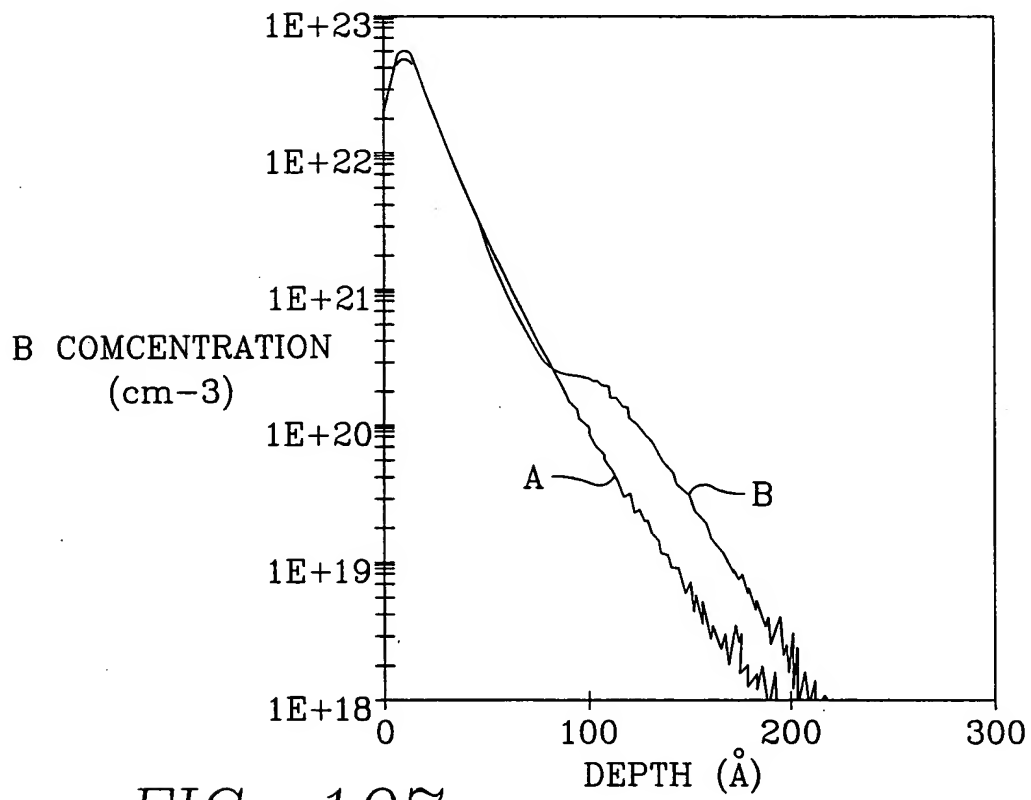


FIG. 107

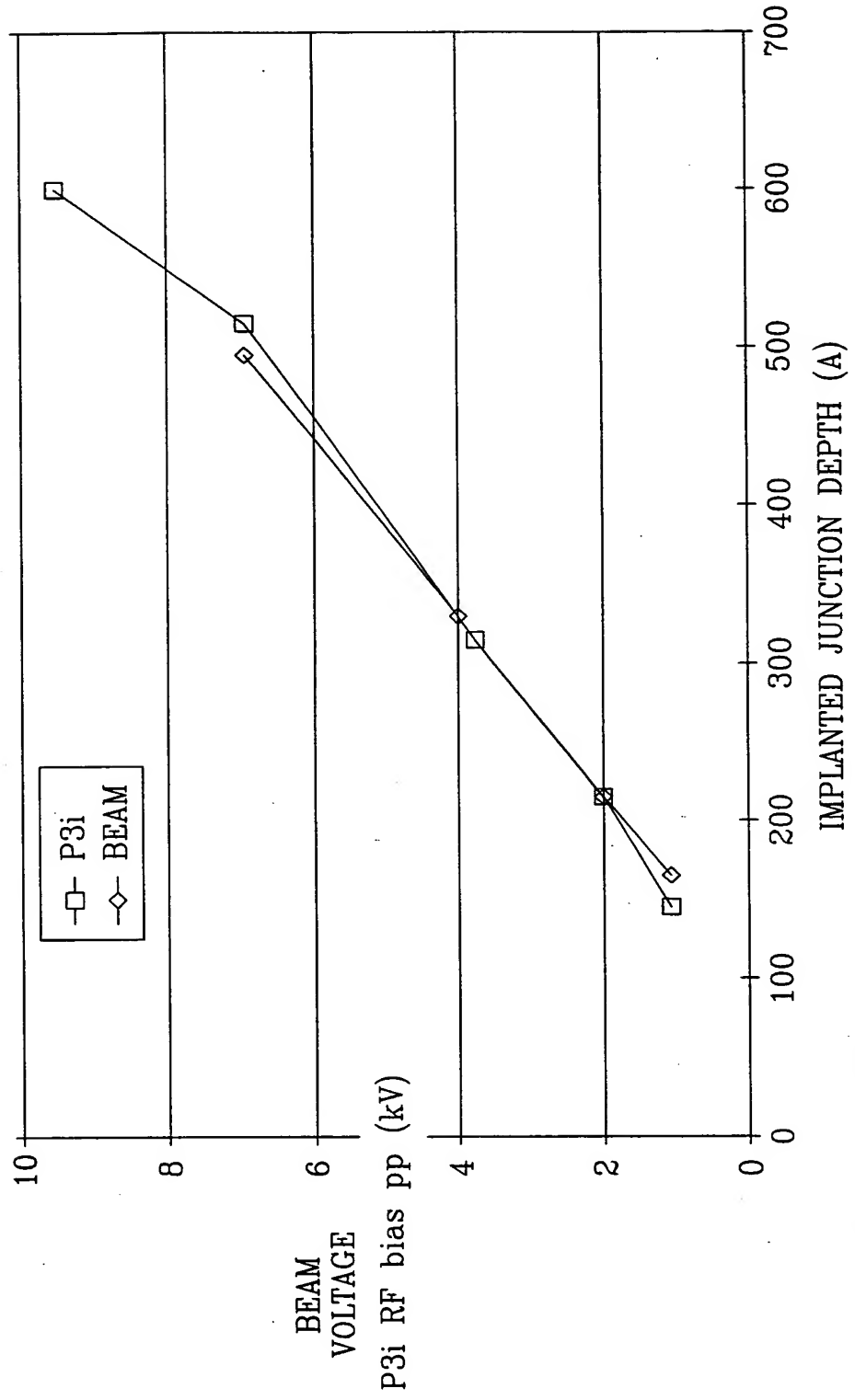


FIG. 108

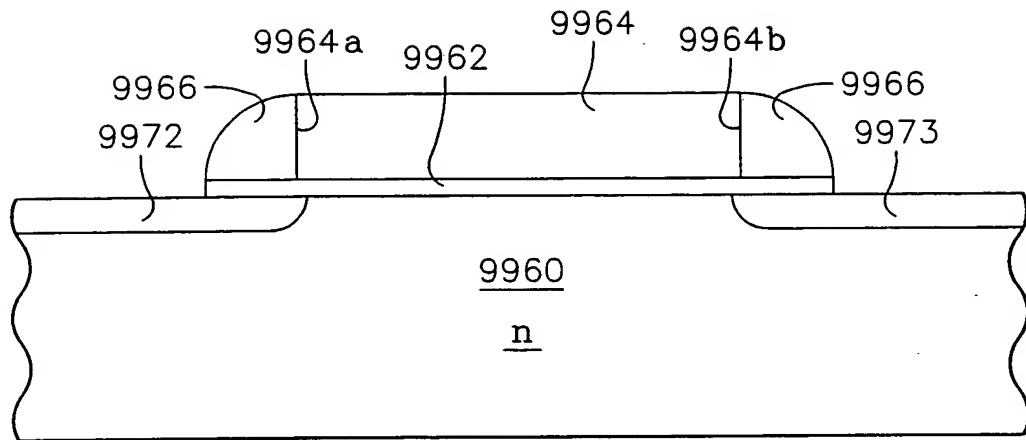


FIG. 109

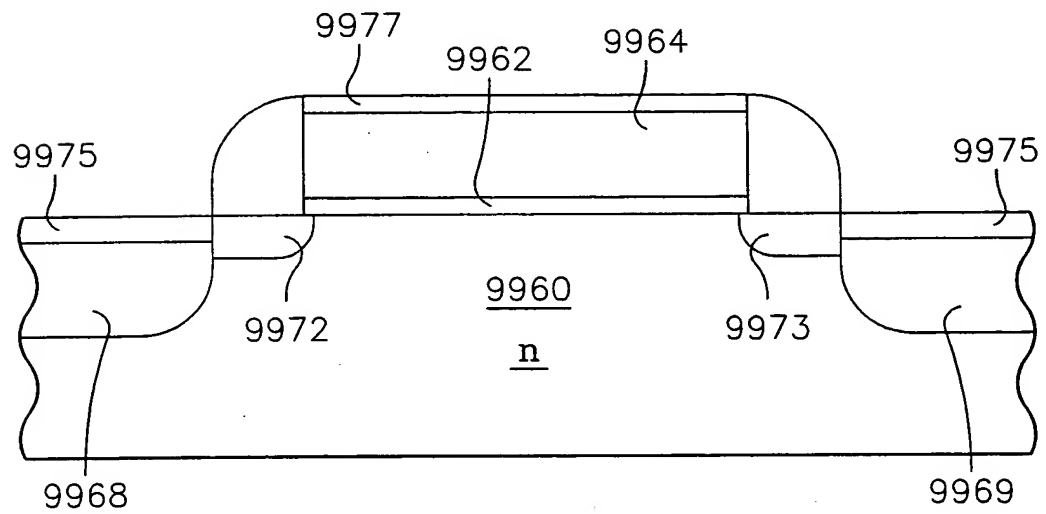


FIG. 110

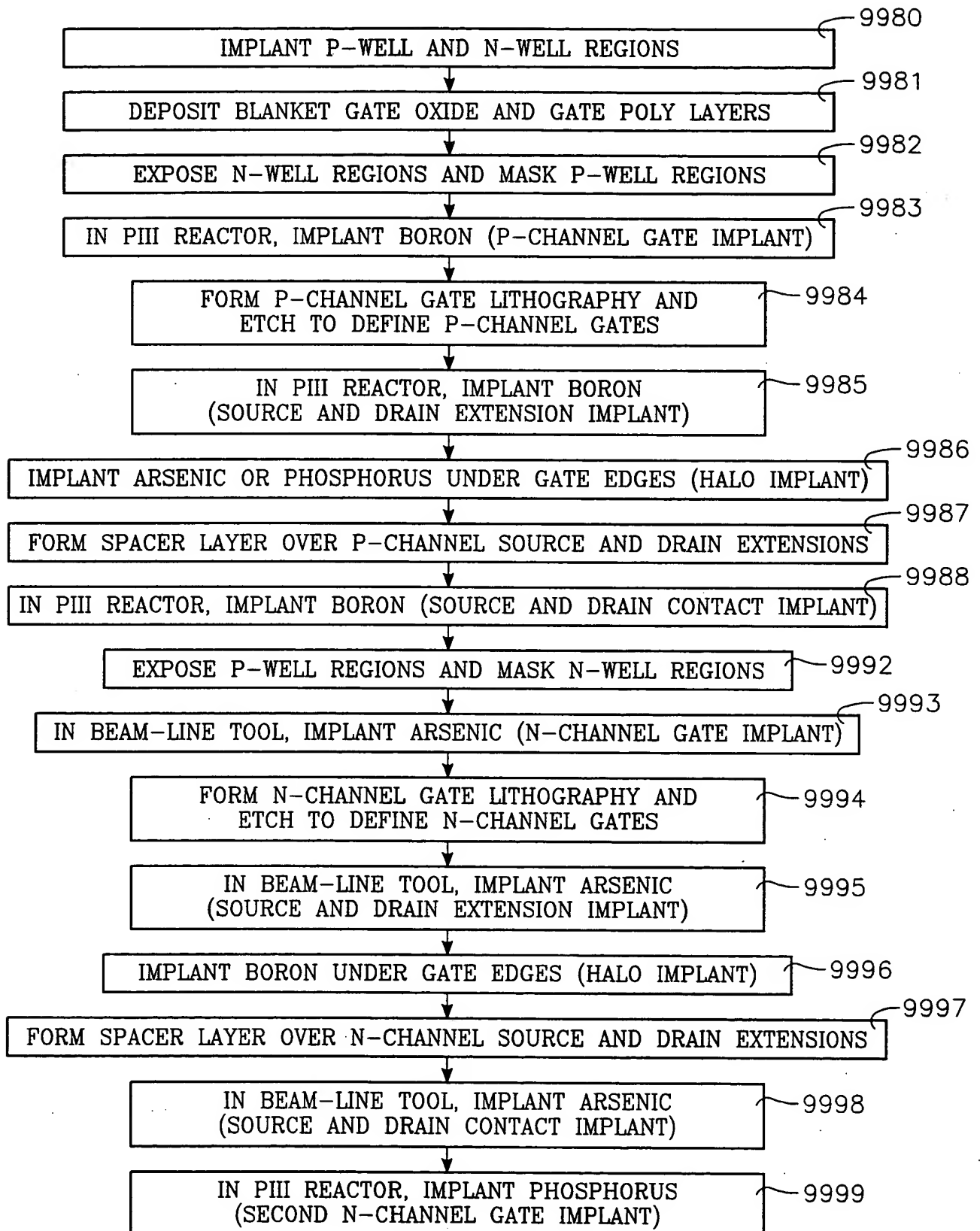


FIG. 111

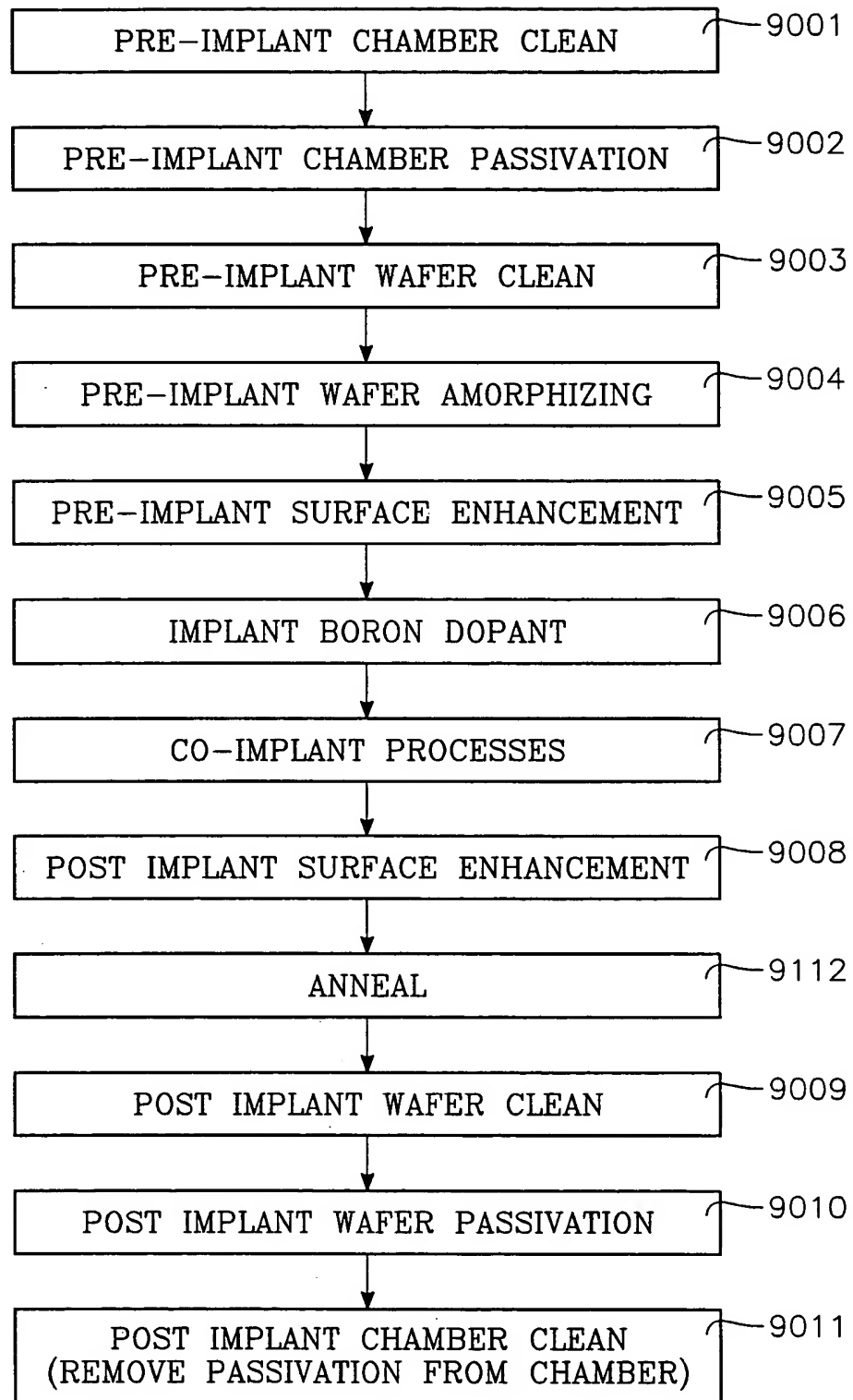


FIG. 112